



Вестник

Уральского
государственного
университета
путей сообщения

Научный журнал

Herald
of the Ural State University
of Railway Transport

Scientific journal



Научный журнал
Вестник Уральского государственного
университета путей сообщения
(Вестник УрГУПС)
№ 1 (53), 2022 год

Главный редактор
Василий Михайлович Сай
Научный редактор
Василий Федорович Лапшин

Литературный и выпускающий редактор
Людмила Станиславовна Барышникова

Техническое редактирование и верстка
Светлана Николаевна Наймушина

Учредитель и издатель:
Федеральное государственное
бюджетное образовательное учрежде-
ние высшего образования «Уральский
государственный университет путей
сообщения» (ФГБОУ ВО УрГУПС)

Адрес учредителя, издателя и редакции:
620034, Екатеринбург,
ул. Колмогорова, 66

Телефон редакции: (343) 221-25-60.
Веб-сайт: www.usurt.ru/vestnik;
e-mail: vestnik@usurt.ru.

Вестник УрГУПС включен ВАКом
в перечень периодических, научных
и научно-технических изданий,
выпускаемых в Российской Федерации,
в которых рекомендуется публикация
основных результатов диссертаций.

DOI:10.20291/2079-0392

Свидетельство о регистрации
средства массовой информации
Роскомнадзора ПИ № ФС77–38188
от 30 ноября 2009 г.

Подписной индекс журнала
в общероссийском
каталоге «Пресса России» – 70070

Отпечатано в издательстве
Уральского государственного
университета путей сообщения,
620034, Екатеринбург,
ул. Колмогорова, 66.

Подписано в печать 28.03.2022
Дата выхода в свет 28.03.2022.
Цена 388,37 руб.

Тираж 300 экз. 1-й з-д: 1–60.
Формат 70×100/16.
Заказ 8

Уральский государственный
университет путей сообщения
(ФГБОУ ВО УрГУПС), 2022 ©

Scientific journal «Herald of the
Ural State University
of Railway Transport»
(Herald of the USURT)
№ 1 (53), 2022

Editor-in-chief,
Vasily M. Say
Science editor
Vasily F. Lapshin

Script and copy editor
Lyudmila S. Baryshnikova

Technical editing and make-up
Svetlana N. Naimushina

Founder and publisher:
Federal state-funded educational
institution of the higher education
«Ural State University of Railway Transport»
(FGBOU VO URGUPS)

Address of the founder, publisher and edition:
66 Kolmogorov Street,
620034, Ekaterinburg

Telephone: +7 (343) 221-25-60.
Web-site: www.usurt.ru/vestnik;
e-mail: vestnik@usurt.ru.

DOI:10.20291/2079-0392

Certificate of registration of mass media
by the Federal Service for Supervision
in the sphere of communications,
information technology and mass communications
(Roskomnadzor) PI № FS77–38188
of November 30, 2009.

Subscription reference number
of the issue in the All Russia Catalogue
«Pressa Rossii» – 70070

Printed in the Publishing house
of the Ural State University of
Railway Transport
66 Kolmogorov Street,
620034, Ekaterinburg.

Passed for printing 28.03.2022
Data of issue 28.03.2022.
The price 388,37 rub.

Circulation 300. The 1st pr.: 1–60.
Format 70×100/16.
Order 8

The Ural State University
of Railway Transport
(FGBOU VO URGUPS), 2022 ©

МЕЖДУНАРОДНЫЙ РЕДАКЦИОННЫЙ СОВЕТ

Кейт Бурнхам, профессор, Университет г. Ковентри, факультет машиностроения и вычислительной техники, Великобритания

Петер Копачек, заслуженный профессор, Венский технологический университет, Институт механики и мехатроники, Вена, Австрия

Владимир Цыганов, д-р техн. наук, профессор, Институт проблем управления Российской академии наук, Москва, Россия

Сергей Герман-Галкин, д-р техн. наук, профессор, Морская академия, Институт судовой автоматики и электротехники, Щецин, Польша

Клаус Беккер, профессор, Университет прикладных наук г. Кельна, Институт автомобильной техники, лаборатория NVH, Германия

Василий Сай, д-р техн. наук, профессор, Уральский государственный университет путей сообщения, Екатеринбург, Россия

РЕДКОЛЛЕГИЯ

Аккерман Геннадий Львович, д-р техн. наук, профессор, УрГУПС, Екатеринбург

Ашпиз Евгений Самуилович, д-р техн. наук, профессор, РУТ, Москва

Булаев Владимир Григорьевич, д-р техн. наук, профессор, УрГУПС, Екатеринбург

Воскресенская Тамара Петровна, д-р техн. наук, профессор, СибГИУ, Новокузнецк

Корнилов Сергей Николаевич, д-р техн. наук, профессор, МГТУ, Магнитогорск

Кузнецов Константин Борисович, д-р техн. наук, профессор, УрГУПС, Екатеринбург

Курганов Валерий Максимович, д-р техн. наук, ТГУ, г. Тверь

Лапшин Василий Федорович, д-р техн. наук, профессор, УрГУПС, Екатеринбург

Сапожников Валерий Владимирович, д-р техн. наук, профессор, ПГУПС, Санкт-Петербург

Сизый Сергей Викторович, д-р техн. наук, профессор, УрФУ, Екатеринбург

Тимофеева Галина Адольфовна, д-р физ.-мат. наук, профессор, УрГУПС, Екатеринбург

Щурин Константин Владимирович, д-р техн. наук, профессор, ОГУ, Оренбург

INTERNATIONAL EDITORIAL BOARD

Keith Burnham, professor, Coventry University, Faculty of Engineering and Computing, Great Britain

Peter Kopachek, Professor Emeritus, TU Wien, Institute for Mechanics and Mechatronics, Vienna, Austria

Vladimir Tsyganov, DSc, professor, Russian Academy of Sciences, Institute of Control Sciences, Moscow, Russia

Sergey German-Galkin, DSc, professor Maritime Academy, Institute of naval automation and electric engineering, Szczecin, Poland

Klaus Becker, professor, Cologne University of Applied Sciences, Institute of Automotive Engineering, NVH Laboratory, Germany

Vasily Say, DSc, professor, The Ural State University of Railway Transport, Ekaterinburg, Russia

EDITORIAL BOARD

Akkerman Gennadiy Lvovich, DSc, Professor, Ural State University of Railway Transport, Yekaterinburg

Ashpiz Evgeniy Samuilovich, DSc, Professor, Russian University of Transport, Moscow

Bulaev Vladimir Grigorievich, DSc, Professor, Ural State University of Railway Transport, Yekaterinburg

Voskresenskaya Tamara Petrovna, DSc, professor, Siberian State Industrial University, Novokuznetsk

Kornilov Sergey Nikolaevich, DSc, professor, Magnitogorsk State Technical University, Magnitogorsk

Kuznetsov Konstantin Borisovich, DSc, professor, The Ural State University of Railway Transport, Ekaterinburg

Kurganov Valeriy Maximovich, DSc, Professor, Tver State University, Tver city

Lapshin Vasily Fedorovich, DSc, Professor, Ural State University of Railway Transport, Yekaterinburg

Sapozhnikov Valery Vladimirovich, DSc, professor, Petersburg State University of Railway Transport, Saint-Petersburg

Sizyi Sergey Viktorovich, D. Sc. in engineering, professor, Ural Federal University, Ekaterinburg

Timofeeva Galina Adolfovna, DSc, professor, The Ural State University of Railway Transport, Ekaterinburg

Shchurin Konstantin Vladimirovich, DSc, professor, Orenburg State University, Orenburg

Содержание

Математические модели технологических процессов

- 4 Д. В. Ефанов, А. В. Пашуков. Экспериментальные исследования кодов с суммированием взвешенных разрядов с произвольными весовыми коэффициентами в кольце вычетов по заданному модулю

- 17 П. С. Григорьев. О связи частот собственных колебаний и критических нагрузок при оценке жесткости несущих элементов вагонных конструкций

- 24 Г. Л. Аккерман, С. Г. Аккерман. Криволинейные участки пути и поезда с наклоном кузова вагонов

Механика машин и роботов

- 31 А. П. Буйносов, А. Т. Шарапов. Адаптация классификаций видов изнашивания применительно к механической части тягового привода локомотивов

- 40 А. С. Анисимов, В. А. Минаков, В. О. Носков. Оценка влияния работы тепловоза на холостом ходу на износ деталей дизеля

Управление в технических системах

- 46 А. С. Ильиных, Э. С. Бондарев. Разработка подхода к созданию автоматизированной системы управления процессом рельсошлифования

- 57 С. А. Маринин. Сравнение энергетической эффективности грузовых электровозов переменного тока с коллекторным и асинхронным тяговым приводом

- 65 И. Л. Парахненко. Оценка влияния веса состава и режима ведения на силы взаимодействия в зоне контакта «колесо-рельс»

- 72 Р. Я. Сулейманов. Совершенствование системы авторегулирования тормозных режимов электропоезда с импульсным преобразователем

Организация и логистика

- 81 Н. Ю. Евреенова, К. А. Калинин, А. Д. Ершов. Разработка прогнозной модели неравномерного входящего потока транспортно-логистического центра

- 92 Е. Ю. Кузнецова, Н. А. Амосов. Применение контрактов жизненного цикла в транспортной отрасли: проблемы и перспективы

- 102 Н. А. Друцко. Обучение второму иностранному языку в транспортном вузе

Contents

Mathematic models of technological processes

- 4 D. V. Efanov, A. V. Pashukov. Experimental studies of codes with summation of weighted digits with arbitrary weight coefficients in the ring of deductions for a given modulus

- 17 P. S. Grigor'ev. On the relationship of natural oscillation frequencies and critical loads in assessing the rigidity of load-bearing elements of carriage structures

- 24 G. L. Akkerman, S. G. Akkerman. Curved sections of track and trains with a car body tilt

Mechanics of machines and robots

- 31 A. P. Bujnosov, A. T. Sharapov. Adaptation of wear type classifications in relation to the mechanical part of the traction drive of locomotives

- 40 A. S. Anisimov, V. A. Minakov, V. O. Noskov. Assessment of the effect of the diesel locomotive idling on the wear of diesel parts

Control in engineering systems

- 46 A. S. Il'inykh, E. S. Bondareva. Development of an approach to creation of an automated control system for the rail grinding process

- 57 S. A. Marinin. Comparison of the energy efficiency of ac electric freight locomotives with collector and asynchronous traction drive

- 65 I. L. Parakhnenko. Assessment of the influence of train weight and driving mode on the interaction forces in the «wheel-rail» contact zone

- 72 R. Ya. Sulejmanov. Improvement of the system of auto-regulation of braking modes of an electric train with a pulse converter

Organization and logistics

- 81 N. Y. Evreenova, K. A. Kalinin, A. D. Ershov. Development of a predictive model of an uneven incoming flow of a transport and logistics center

- 92 E. Y. Kuznetsova, N. A. Amosov. Application of life cycle contracts in the transport industry: problems and prospects

- 102 N. A. Drutsko. Teaching a second foreign language at a transport university

Математические модели технологических процессов

УДК 004.052.42 + 681.518.5

Д. В. Ефанов, А. В. Пашуков

Экспериментальные исследования кодов с суммированием взвешенных разрядов с произвольными весовыми коэффициентами в кольце вычетов по заданному модулю

UDC 004.052.42 + 681.518.5

D. V. Efanov, A. V. Pashukov

Experimental studies of codes with summation of weighted digits with arbitrary weight coefficients in the ring of deductions for a given modulus

Аннотация

Приводятся некоторые результаты исследования взвешенных кодов с суммированием с различными значениями весовых коэффициентов в кольце вычетов по произвольному модулю. Подобные коды детально в литературе не изучены. Приведены правила построения взвешенных кодов с суммированием. Объясняются особенности выбора значений модуля и весовых коэффициентов для построения кода

с обнаружением любых одичных ошибок в кодовых словах. В статье упор сделан на экспериментальные исследования применения кодов с суммированием для обнаружения ошибок на выходах контрольных комбинационных схем. В ходе эксперимента с контрольными комбинационными схемами установлены и описаны закономерности, присущие данному классу кодов. Закономерности связаны с конкретными соотношениями между

весовыми коэффициентами, дающими одинаковые по обнаруживающим характеристикам схемы встроенного контроля. Показано, что, несмотря на большое многообразие способов взвешивания разрядов, часть из получаемых взвешенных кодов с суммированием обладает одинаковыми характеристиками обнаружения ошибок на выходах комбинационных схем. Результаты исследования целесообразно учитывать при построении

Статья рекомендована к публикации А. А. Антоновым, канд. техн. наук, доцентом, заведующим кафедрой «Автоматика, телемеханика и связь на железнодорожном транспорте» Российского университета транспорта. E-mail: ant-a-antonov@yandex.ru.

Дмитрий Викторович Ефанов, д-р техн. наук, профессор; кафедра «Автоматика, телемеханика и связь на железнодорожном транспорте» Российского университета транспорта (РУТ (МИИТ)); Москва, Россия. E-mail: TrES-4b@yandex.ru. ORCID 0000-0002-4563-6411.

Артём Валерьевич Пашуков, аспирант, ст. преподаватель; кафедра «Автоматика, телемеханика и связь на железнодорожном транспорте» Российского университета транспорта (РУТ (МИИТ)); Москва, Россия. E-mail: art_pash@mail.ru. ORCID 0000-0002-4486-5896.

The article is recommended for publishing by A. A. Antonov, Candidate of Technical Sciences, Associate Chief of «Automation Remote Control and Communication on Railway Transport» Department of the Russian University of Transport. E-mail: ant-a-antonov@yandex.ru.

Dmitry Viktorovich Efanov, Doctor of Technical Sciences, Professor; «Automation, Remote Control and Communication on Railway Transport» Department of the Russian University of Transport (RUT (MIIT)); Moscow, Russia. E-mail: TrES-4b@yandex.ru. ORCID 0000-0002-4563-6411.

Artyom Valerevich Pashukov, Postgraduate Student, Senior Lecturer; «Automation, Remote Control and Communication on Railway Transport» Department of the Russian University of Transport (RUT (MIIT)); Moscow, Russia. E-mail: art_pash@mail.ru. ORCID 0000-0002-4486-5896.

цифровых устройств и систем с обнаружением неисправностей, при совершенствовании средств автоматизированного проектирования и синтеза современных и разрабатываемых микроэлектронных систем управления.

Ключевые слова: коды с суммированием, схема встроенного контроля, помехоустойчивое кодирование, комбинационное устройство, обнаружение ошибок на выходах.

DOI: 10.20291/2079-0392-2022-1-4-16

Abstract

Some results of the study of weighted codes with summation of different values of weight coefficients in the ring of deductions by an arbitrary modulus are

presented. Such codes have not been studied in detail in the research literature. The rules for constructing weighted codes with summation are given. The peculiarities of the choice of module values and weighting coefficients for building a code with the detection of any single errors in code words are explained. The article focuses on experimental studies of the use of summation codes to detect errors at the outputs of control combinational circuits. During the experiment with control combinational schemes, the patterns inherent in this class of codes are established and described. The patterns are associated with specific ratios between the weighting coefficients, which give the same detection characteristics

of the integrated control scheme. It is shown that, despite a great variety of ways of weighing the digits, some of the resulting weighted codes with summation have the same characteristics of error detection at the outputs of combinational circuits. The results of the study should be taken into account when building digital devices and systems with fault detection, when improving the means of automated design and synthesis of modern and developed microelectronic control systems.

Keywords: codes with summation, integrated control circuit, noise-resistant coding, combination device, error detection at the outputs.

DOI: 10.20291/2079-0392-2022-1-4-16

Методы помехоустойчивого и помехозащищенного кодирования используются для обеспечения своевременного обнаружения ошибок в вычислениях устройств, реализованных на микроэлектронной и микропроцессорной основе [1–6]. Широко используются они при разработке и синтезе аппаратно-программных средств технического диагностирования [7]. Учитывая тенденции развития техники систем управления ответственными технологическими процессами, в том числе на железнодорожном транспорте, и внедрение современных устройств на программируемой элементной базе крайне важна проработка методов их технической диагностики и мониторинга. Это актуально и потому, что устройства, реализуемые на современной элементной базе, имеют низкие пороги срабатывания, высокую плотность интеграции элементов на единицу площади, восприимчивы к электромагнитным воздействиям и ионизирующему излучению и т. д. [8, 9].

Для обнаружения неисправностей в процессе функционирования устройств автоматики по результатам вычисления значений на рабочих выходах или в выводимых контрольных точках используются самопроверяемые схемы встроенного контроля (СВК) [10, 11]. При их синтезе используются и методы теории информации и кодирования [12]. Чаще всего применяют помехозащищенные коды с малой избыточностью, что обусловлено соответствующей низкой вносимой структурной избыточностью в устройства, например, равновесные коды, разнообразные коды с суммированием, коды Хэмминга и пр. [13, 14].

Существует перспективный для решений задач технической диагностики класс кодов с суммированием, строящийся путем приписывания разрядам весовых коэффициентов из натурального ряда чисел и последующего подсчета суммарного веса значимых разрядов информационного вектора в кольце вычетов по заданному модулю M . Некоторые такие коды изучались в [15–17].

Особенности синтеза схем встроенного контроля по взвешенным кодам с суммированием

Выбор кода для организации СВК зависит от многих показателей и производится на этапе проектирования самопроверяемой системы или устройства.

Широкое применение нашли разнообразные коды с суммированием [18–22]. Отдельного внимания заслуживает класс взвешенных модульных кодов с суммированием [16].

Приведем схему организации встроенного контроля произвольного устройства $F(x)$, на выходах которого реализуются булевы функции f_1, f_2, \dots, f_m . При использовании любых разделимых кодов основное устройство $F(x)$ дополняется схемой контроля в составе блока контрольной логики $G(x)$ и самопроверяемого тестера (TSC). Блок контрольной логики вычисляет значения контрольных функций g_1, g_2, \dots, g_k , а самопроверяемый тестер проверяет соответствие значений разрядов информационного и контрольного векторов (рис. 1). При возникновении какой-либо неисправности в блоках $F(x)$ или $G(x)$ происходит искажение выходного вектора, которое определяется тестером и проявляется в виде нарушения парафазности сигнала $\langle z_1 z_2 \rangle$ на контрольных выходах.

Известные в мировой научной литературе работы освещают способы построения взвешенных кодов с суммированием, результаты исследования

их характеристик, а также особенности различных приложений. Способ построения взвешенных кодов с суммированием, основанный на взвешивании разрядов весовыми коэффициентами из последовательности натуральных чисел с исключением степеней числа 2 приводится в [23]. Такие коды обнаруживают любые однонаправленные (монотонные) ошибки, а также все одно- и двукратные ошибки. В работе [24] приведен способ построения взвешенного кода с обнаружением пачек ошибок. Здесь взвешивание осуществляется числами из ряда возрастающих степеней числа 2 $\{2^0, 2^1, \dots, 2^{t-1}\}$ для обнаружения любых ошибок в пачке из t разрядов. Применению взвешенных кодов с суммированием в технической диагностике посвящено большое количество работ. Например, в [15] описаны взвешенные коды с произвольными значениями весовых коэффициентов, а в [16] – модульные взвешенные коды. Изучению свойств взвешенных кодов с произвольными весовыми коэффициентами посвящены работы [25–27]. Ряд вопросов рассмотрен в [17]. В настоящей статье освещаются некоторые результаты исследований кодов, при построении которых используются произвольные модули от величины $M = 2$ до $M = 2^{\lceil \log_2(m+1) \rceil}$ (модуль классического кода Бергера) [23]. До настоящей работы взвешенные коды с суммированием в кольце вычетов по произвольному модулю рассматривались только в статье [28].

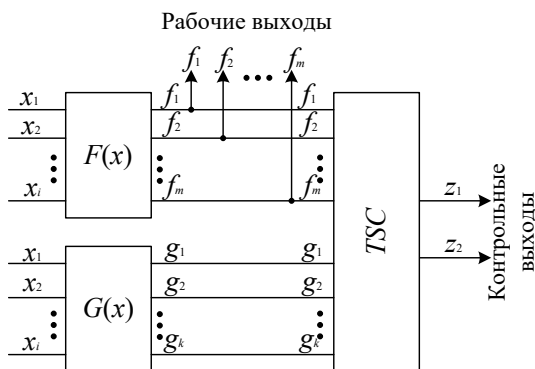


Рис. 1. Структура самопроверяемого устройства

Взвешенные коды с суммированием строятся следующим образом.

1. Устанавливается значение модуля $M \in \{2, 3, \dots, 2^{\lceil \log_2(m+1) \rceil}\}$, где m – число разрядов в информационном векторе.

2. Каждому разряду в информационном векторе присваивается весовой коэффициент из натурального ряда чисел.

3. Подсчитывается сумма весовых коэффициентов значащих разрядов

$$W = \sum_{i=1}^m f_i w_i, \text{ где } f_i - \text{значение } i\text{-го разря-}$$

да в информационном векторе, w_i – весовой коэффициент i -го разряда.

4. Определяется наименьший неотрицательный вычет числа W по модулю M : $W_M = W(\text{mod } M)$.

5. Число W_M представляется в двоичном коде и записывается в разряды контрольного вектора.

Рассматриваемые коды обозначим как $WSM(m, k)$ -коды, где m и k – число информационных разрядов.

Необходимо отметить, что число W_M подсчитывается в кольце вычетов по модулю M , откуда следует, что вес одного разряда может быть равен $w_i = 1, 2, \dots, M-1$, $i \in \{1, 2, \dots, m\}$. При $w_i = qM$ (q – произвольное натуральное число) разряд контролироваться не будет, поскольку $qM(\text{mod } M) = 0$. Для всех остальных значений $w_i = qM + s$, $s \in \{1, 2, \dots, M-1\}$, $i \in \{1, 2, \dots, m\}$, значения наименьших неотрицательных вычетов будут совпадать со значениями $w_i = 1, 2, \dots, M-1$: $(qM + s)(\text{mod } M) = s$, $s \in \{1, 2, \dots, M-1\}$, $i \in \{1, 2, \dots, m\}$. Таким образом, становится ясным, что число способов построения $WSM(m, k)$ -кодов ограничено.

Приведем пример получения значений контрольных разрядов для информационного вектора $\langle 1 \ 0 \ 0 \ 1 \rangle$. Установим значение модуля $M = 3$. Взвесим разряды следующим образом: $w_1 = 2$, $w_2 = 2$, $w_3 = 2$, $w_4 = 1$. Затем подсчитаем сумму весовых коэффициентов значащих разрядов (первый и четвертый разряды в информационном векторе): $W = 2 \cdot 1 + 2 \cdot 0 + 2 \cdot 0 + 1 \cdot 1 = 3$. Определим наименьший неотрицательный вычет получившегося значения:

$W_M = 3(\text{mod } 3) = 0$, после чего запишем полученное значение в двоичном коде. Это значение и будет записано в контрольный вектор. В данном случае контрольный вектор принимает вид $\langle 0 \ 0 \rangle$.

Используя описанный алгоритм, исследуем влияние взвешивания на характеристики кодов с суммированием в эксперименте с контрольными комбинационными схемами.

Влияние взвешивания на характеристики кодов с суммированием

Для определения влияния взвешивания на характеристики обнаружения ошибок кодами с суммированием проведены эксперименты с системой контрольных комбинационных схем LGSynth'89 [29]. Этот пакет контрольных схем широко используется при проверке эффективности разрабатываемых методов технической диагностики [21, 22].

Контрольные схемы LGSynth'89 представляют собой файлы в формате *.netblif, описывающие структуру определенной комбинационной схемы в виде net-листа. Каждая контрольная схема записана в базисе NOR (ИЛИ-НЕ). При постановке экспериментов ставилась задача моделирования одиночных константных неисправностей $0 \rightarrow 1$ и $1 \rightarrow 0$ на выходах всех логических элементов во внутренней структуре контрольных схем (модель stuck-at faults) и определение числа необнаруживаемых ошибок $WSM(m, k)$ -кодами. В зависимости от технологии изготовления устройства модель stuck-at faults покрывает от 80 до 95 % реальных дефектов [3].

Данные по количеству необнаруживаемых ошибок по их видам (монотонные, симметричные и асимметричные [21]) и кратностям для схемы z4m1 для весовых коэффициентов $w_i = 1, 2$ и $M = 3$ представлены в таблице 1.

При анализе данных из таблицы 1 можно заметить, что количество необнаруживаемых ошибок для различных весовых коэффициентов совпадает

Таблица 1

Необнаруживаемые ошибки в схеме z4ml при $M = 3$

№	Весовые коэффициенты w_1, w_2, w_3, w_4	Всего необнаруживаемых ошибок	Монотонные ошибки	Симметричные ошибки	Ассиметричные ошибки
1	1, 1, 1, 1	128	0	128	0
2	1, 1, 1, 2	80	0	48	32
3	1, 1, 1, 2	16	0	16	0
4	1, 1, 2, 2	64	0	64	0
5	1, 2, 1, 1	64	0	64	0
6	1, 2, 1, 2	16	0	16	0
7	1, 2, 2, 1	80	0	48	32
8	1, 2, 2, 2	128	0	128	0
9	2, 1, 1, 1	128	0	128	0
10	2, 1, 1, 2	80	0	48	32
11	2, 1, 2, 1	16	0	16	0
12	2, 1, 2, 2	64	0	64	0
13	2, 2, 1, 1	64	0	64	0
14	2, 2, 1, 2	16	0	16	0
15	2, 2, 2, 1	80	0	48	32
16	2, 2, 2, 2	128	0	128	0

(например, строки 1, 8, 9, 16). При более детальном рассмотрении совпадений обнаруживается зеркальная симметрия относительно центра таблицы (строки 8, 9).

При дальнейшем исследовании применения кодов с модулем $M = 4$ и весовыми коэффициентами $w_i = 1, 2, 3$ данная закономерность сохраняется. В отличие от результатов, представленных в таблице 1, симметрия образуется относительно отдельной строки из-за нечетного количества вариаций весовых коэффициентов ($N = n^m = 3^4 = 81$). Пример такой симметрии показан в таблице 2 относительно строки 41.

Также из таблицы 1 видно, что симметрия наблюдается не только относительно центральных строк, также частичная симметрия наблюдается относительно строк 4, 5 и 12, 13. Такой тип симметрии является частным случаем общей симметрии.

При получении указанных данных предположено, что для схем с другим

количеством входных переменных эта картина соблюдаться не будет, однако при исследовании схемы alu2 обнаружили идентичные условия (таблица 3).

Анализ таблицы 2 показывает, что зеркальная симметрия сохраняется вне зависимости от исследуемой схемы и параметров исходной схемы. В данном случае не наблюдается в отдельных группах строк частных случаев симметрии.

Стоит отметить, что таблицы истинности контрольных разрядов «зеркальных» строк не идентичны друг другу.

В таблицах приводятся только рассчитанные данные о числе необнаруживаемых $WSM(m, k)$ -кодами ошибок. При рассмотрении ошибок, возникающих на выходах схем, можно отметить, что на выходах z4ml при подаче на ее входы полного множества комбинаций и при внесении последовательно всех одиночных константных неисправностей формируется 4168 ошибок,

Таблица 2

Необнаруживаемые ошибки в схеме z4ml при $M = 4$

№	Весовые коэффициенты w_1, w_2, w_3, w_4	Всего необнаруживаемых ошибок	Монотонные ошибки	Симметричные ошибки	Ассиметричные ошибки
35	2, 1, 3, 2	0	0	0	0
36	2, 1, 3, 3	64	0	64	0
37	2, 2, 1, 1	64	0	64	0
38	2, 2, 1, 2	16	0	16	0
39	2, 2, 1, 3	32	0	0	32
40	2, 2, 2, 1	48	0	48	0
41	2, 2, 2, 2	128	0	128	0
42	2, 2, 2, 3	48	0	48	0
43	2, 2, 3, 1	32	0	0	32
44	2, 2, 3, 2	16	0	16	0
45	2, 2, 3, 3	64	0	64	0
46	2, 3, 1, 1	64	0	64	0
47	2, 3, 1, 2	0	0	0	0

Таблица 3

Необнаруживаемые ошибки в схеме alu2 при $M = 3$

№	Весовые коэффициенты $w_1, w_2, w_3, w_4, w_5, w_6$	Всего необнаруживаемых ошибок	Монотонные ошибки	Симметричные ошибки	Ассиметричные ошибки
1	1, 1, 1, 1, 1, 1	8996	1236	7722	143
2	1, 1, 1, 1, 1, 2	7088	2726	4179	38
3	1, 1, 1, 1, 2, 1	4386	3024	1040	183
4	1, 1, 1, 1, 2, 2	6626	1901	2483	322
5	1, 1, 1, 2, 1, 1	9998	2225	7663	2242
6	1, 1, 1, 2, 1, 2	8090	3715	4120	110
7	1, 1, 1, 2, 2, 1	5478	4152	1099	255
8	1, 1, 1, 2, 2, 2	7718	3029	2542	227
9	1, 1, 2, 1, 1, 1	8884	1110	7714	2147
10	1, 1, 2, 1, 1, 2	6976	2600	4171	60
11	1, 1, 2, 1, 2, 1	4464	3124	1048	205
12	1, 1, 2, 1, 2, 2	6704	2001	2491	292
13	1, 1, 2, 2, 1, 1	9818	2063	7663	2212
14	1, 1, 2, 2, 1, 2	7910	3553	4120	92
15	1, 1, 2, 2, 2, 1	5215	3853	1091	237
16	1, 1, 2, 2, 2, 2	7455	2730	2534	271
17	1, 2, 1, 1, 1, 1	6561	1793	2601	2191
18	1, 2, 1, 1, 1, 2	4506	3238	1048	2167
19	1, 2, 1, 1, 2, 1	6880	2475	4200	220
20	1, 2, 1, 1, 2, 2	9030	1307	7573	205
21	1, 2, 1, 2, 1, 1	7546	2812	2564	150
22	1, 2, 1, 2, 1, 2	5491	4257	1011	2170
23	1, 2, 1, 2, 2, 1	8045	3630	4248	223

Окончание табл. 3

№	Весовые коэффициенты $w_1, w_2, w_3, w_4, w_5, w_6$	Всего необнаруживаемых ошибок	Монотонные ошибки	Симметричные ошибки	Ассиметричные ошибки
24	1, 2, 1, 2, 2, 2	10195	2462	7621	167
25	1, 2, 2, 1, 1, 1	6501	1707	2609	112
26	1, 2, 2, 1, 1, 2	4446	3152	1056	2185
27	1, 2, 2, 1, 2, 1	6981	2612	4204	238
28	1, 2, 2, 1, 2, 2	9127	1444	7573	165
29	1, 2, 2, 2, 1, 1	7382	2630	2556	110
30	1, 2, 2, 2, 1, 2	5327	4075	1003	2196
31	1, 2, 2, 2, 2, 1	7735	3320	4256	249
32	1, 2, 2, 2, 2, 2	9885	2152	7629	159
33	2, 1, 1, 1, 1, 1	9885	2152	7629	159
34	2, 1, 1, 1, 1, 2	7735	3320	4256	249
35	2, 1, 1, 1, 2, 1	5327	4075	1003	2196
36	2, 1, 1, 1, 2, 2	7382	2630	2556	110
37	2, 1, 1, 2, 1, 1	9127	1444	7573	165
38	2, 1, 1, 2, 1, 2	6981	2612	4204	238
39	2, 1, 1, 2, 2, 1	4446	3152	1056	2185
40	2, 1, 1, 2, 2, 2	6501	1707	2609	112
41	2, 1, 2, 1, 1, 1	10195	2462	7621	167
42	2, 1, 2, 1, 1, 2	8045	3630	4248	223
43	2, 1, 2, 1, 2, 1	5491	4257	1011	2170
44	2, 1, 2, 1, 2, 2	7546	2812	2564	150
45	2, 1, 2, 2, 1, 1	9030	1307	7573	205
46	2, 1, 2, 2, 1, 2	6880	2475	4200	220
47	2, 1, 2, 2, 2, 1	4506	3238	1048	2167
48	2, 1, 2, 2, 2, 2	6561	1793	2601	2191
49	2, 2, 1, 1, 1, 1	7455	2730	2534	271
50	2, 2, 1, 1, 1, 2	5215	3853	1091	237
51	2, 2, 1, 1, 2, 1	7910	3553	4120	92
52	2, 2, 1, 1, 2, 2	9818	2063	7663	2212
53	2, 2, 1, 2, 1, 1	6704	2001	2491	292
54	2, 2, 1, 2, 1, 2	4464	3124	1048	205
55	2, 2, 1, 2, 2, 1	6976	2600	4171	60
56	2, 2, 1, 2, 2, 2	8884	1110	7714	2147
57	2, 2, 2, 1, 1, 1	7718	3029	2542	227
58	2, 2, 2, 1, 1, 2	5478	4152	1099	255
59	2, 2, 2, 1, 2, 1	8090	3715	4120	110
60	2, 2, 2, 1, 2, 2	9998	2225	7663	2242
61	2, 2, 2, 2, 1, 1	6626	1901	2483	322
62	2, 2, 2, 2, 1, 2	4386	3024	1040	183
63	2, 2, 2, 2, 2, 1	7088	2726	4179	38
64	2, 2, 2, 2, 2, 2	8996	1236	7722	143

на выходах $alu2$ – 62838 ошибок [21, 22]. На рис. 2–5 представлены графические показатели обнаружения ошибок на выходах приведенных схем: доли необнаруживаемых монотонных, симметричных, асимметричных и суммарно всех

видов ошибок на выходах схем от общего числа возникающих ошибок (показатели υ , σ , α и γ , %).

Применение $WSM(m,k)$ -кодов в ряде случаев позволяет обнаруживать на выходах тестовых устройств любые

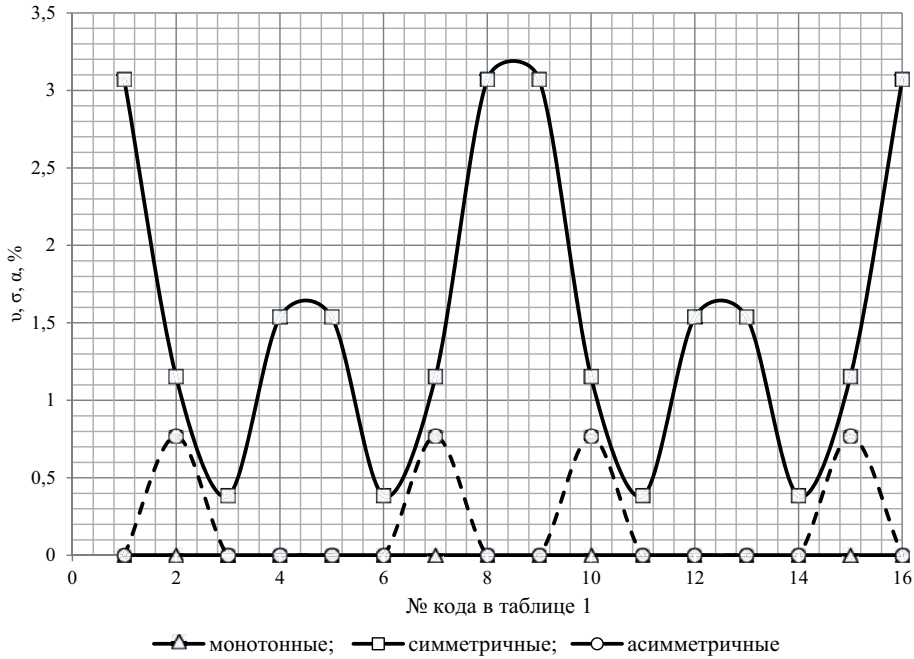


Рис. 2. Значения показателей υ , σ , α для $WSM(m,k)$ -кодов при $M = 3$ для схемы $z4ml$

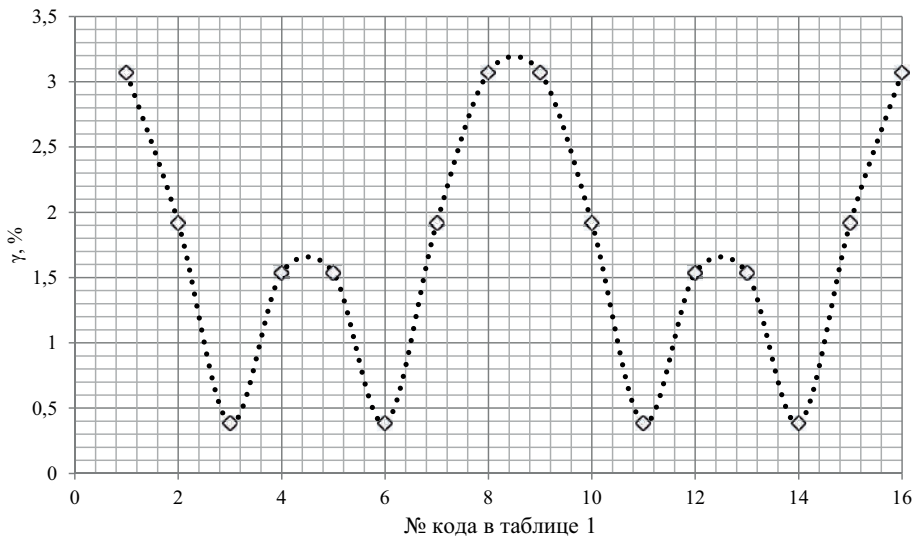


Рис. 3. Значения показателя γ для $WSM(m,k)$ -кодов при $M = 3$ для схемы $z4ml$

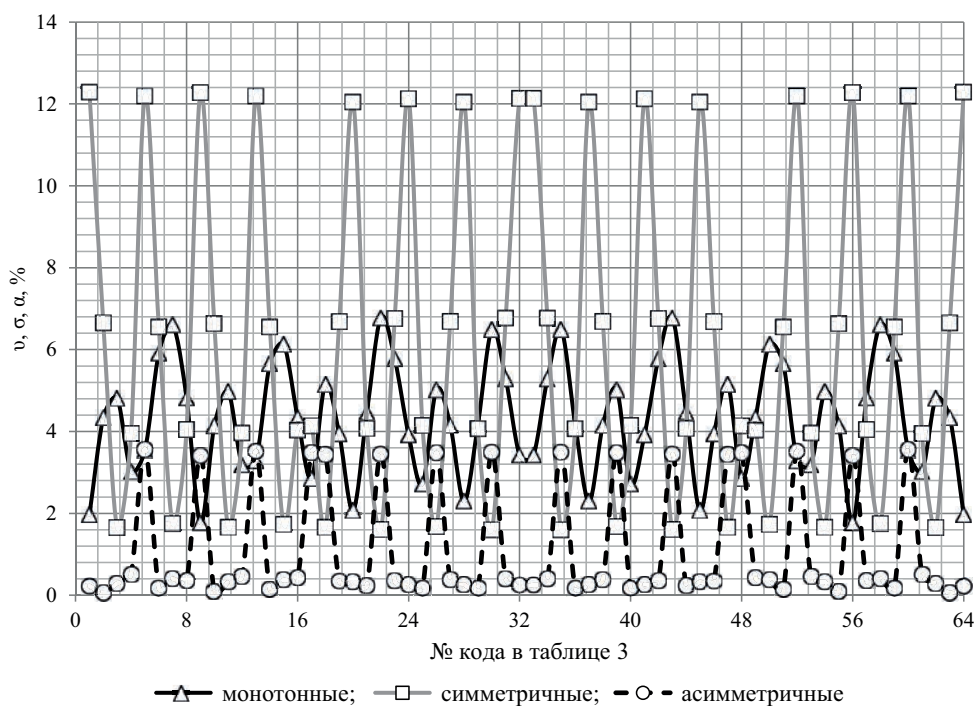


Рис. 4. Значения показателей v, σ, α для $WSM(m,k)$ -кодов при $M = 3$ для схемы alu2

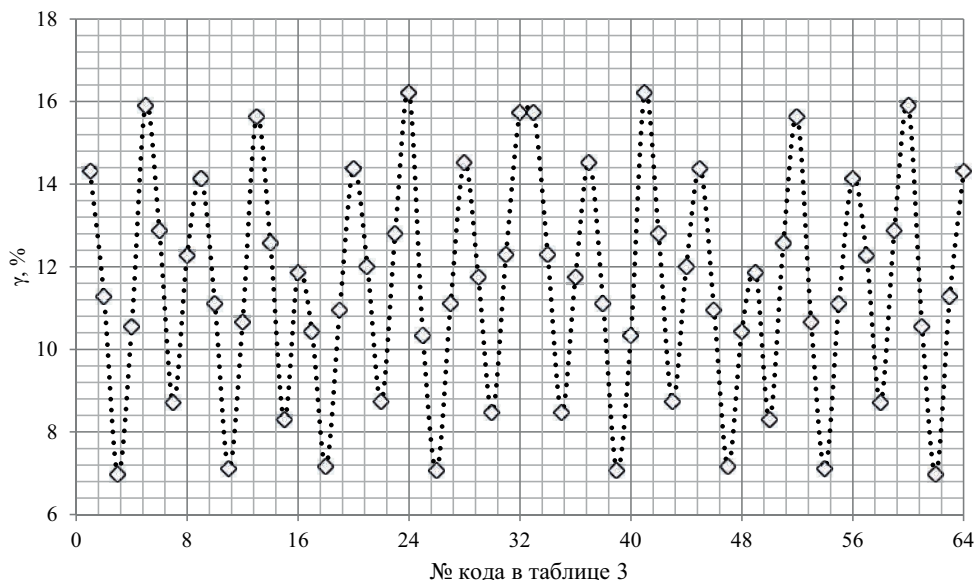


Рис. 5. Значения показателей γ для $WSM(m,k)$ -кодов при $M = 3$ для схемы alu2

ошибки, однако в большинстве необнаруживаемыми остаются до 20–25 % ошибок на выходах схем, что определяется конфигурацией элементов

и связей между ними, входами и выходами устройства. Например, для устройства z4ml это от 0 до 128 ошибок (от 0 до 3 % от общего числа ошибок), для

устройства $alu2$ – от 4386 до 8996 ошибок (от 7 до 14 % от общего числа ошибок). Для синтеза же полностью самопроверяемых структур требуется использовать специальные схемотехнические методы, описанные, например, в [30–32].

Заключение

Представленные в статье результаты исследования особенностей использования $WSM(m,k)$ -кодов для обнаружения ошибок на выходах цифровых устройств дополняют ранее полученные [17, 22, 25–28], расширяя их для использования произвольных значений модуля. В ходе эксперимента удалось установить зависимость

обнаруживающих характеристик взвешенных кодов с суммированием от значений весовых коэффициентов при обнаружении ошибок на выходах тестовых комбинационных схем. Можно утверждать, что для любой исходной комбинационной схемы и для любого набора весовых коэффициентов есть как минимум еще один набор, дающий полностью аналогичный по характеристикам обнаружения код. Исключение составляет случай, когда общее число вариантов взвешивания нечетно, тогда у одного из кодов пары не будет. Более того, среди всего множества способов взвешивания может быть выбран такой, который даст наименьшее общее количество необнаруживаемых на выходах устройств ошибок. ■

Литература

1. Щербаков Н. С. Самокорректирующиеся дискретные устройства. – М. : Машиностроение, 1975, 216 с.
2. Сапожников В. В., Сапожников Вл. В., Христов Х. А., Гавзов Д. В. Методы построения безопасных микроэлектронных систем железнодорожной автоматики / под ред. Вл. В. Сапожникова. – М. : Транспорт, 1995, 272 с. ISBN 5-277-01690-2.
3. Сапожников В. В., Сапожников Вл. В., Ефанов Д. В. Основы теории надежности и технической диагностики. – СПб : Изд-во «Лань», 2019, 588 с. ISBN 978-5-8114-3453-4.
4. Бестемьянов П. Ф. Методы обеспечения безопасности и надежности микропроцессорных устройств железнодорожной автоматики и телемеханики / Труды Международного симпозиума «Надежность и качество». – 2007. – Т. 2. – С. 273–274.
5. Бестемьянов П. Ф. Методы обеспечения безопасности аппаратных средств микропроцессорных систем управления движением поездов // Электротехника. – 2020. – № 9. – С. 2–8. ISSN 0013-5860.
6. Сапожников Вл. В. Синтез систем управления движением поездов на железнодорожных станциях с исключением опасных отказов. – М. : Наука, 2021, 229 с. ISBN 978-5-02-040877-7.
7. Ефанов Д. В. Функциональный контроль и мониторинг устройств железнодорожной автоматики и телемеханики. – СПб : ФГБОУ ВО ПГУПС, 2016, 171 с. ISBN 978-5-7641-0933-6.
8. Бестемьянов П. Ф. Методика статистического моделирования электромагнитных помех в каналах автоматики и телемеханики на железнодорожном транспорте // Электротехника. – 2015. – № 9. – С. 2–8. ISSN 0013-5860.
9. Стемповский А. Л., Тельпухов Д. В., Гуров С. И., Жукова Т. Д., Щелоков А. Н., Новиков А. Д. Синтез СФК на основе LDPC кода с использованием мажоритарного декодирования // Известия ЮФУ. – Сер. : Технические науки. – 2019. – № 4 (206). – С. 195–206. ISSN 1999-9429.
10. Согомонян Е. С., Слабаков Е. В. Самопроверяемые устройства и отказоустойчивые системы. М. : Радио и связь, 1989, 208 с. ISBN 5-256-00308-9.
11. Сапожников В. В., Сапожников В. В. Самопроверяемые дискретные устройства. СПб : Энергоатомиздат, 1992, 224 с. ISBN 5-283-04605-2.
12. Ryan W. E., Lin S. Channel Codes: Classical and Modern. – Cambridge University Press, 2009, 708 p. ISBN 978-0-521-84868-8.
13. Piestrak S. J. Design of Self-Testing Checkers for Unidirectional Error Detecting Codes. – Wrocław : Oficyna Wydawnicza Politechniki Wrocławskiej, 1995, 111 p. ISSN 0324-9786.

14. Fujiwara E. Code Design for Dependable Systems: Theory and Practical Applications. – John Wiley & Sons, 2006, 720 p. ISBN 978-0-471-75618-7.
15. Das D., Touba N. A. Weight-Based Codes and Their Application to Concurrent Error Detection of Multilevel Circuits // Proceedings of the 17th IEEE VLSI Test Symposium, USA, CA, Dana Point, April 25–29, 1999. Pp. 370–376.
16. Das D., Touba N. A., Seuring M., Gossel M. Low Cost Concurrent Error Detection Based on Modulo Weight-Based Codes // Proceedings of IEEE 6th International On-Line Testing Workshop (IOLTW), Spain, Palma de Mallorca, July 3–5, 2000. Pp. 171–176.
17. Ефанов Д. В. Теория и методы функционального диагностирования логических устройств железнодорожной автоматики и телемеханики на основе использования помехоустойчивых кодов с суммированием : дис. ... д-ра техн. наук: 05.13.06 : защищена 16.11.17 : утв. 11.04.18 / Ефанов Дмитрий Викторович. – СПб, 2017.
18. Nicolaidis M., Zorian Y. On-Line Testing for VLSI – A Compendium of Approaches // Journal of Electronic Testing: Theory and Application. – 1998. – Vol. 12. – Issue 1-2. – Pp. 7–20. ISSN 0923-8174.
19. Telpuhov D. V., Zhukova T. D., Demeneva A. I., Gurov S. I. Automatic Synthesis of Fault-Tolerant CED Circuits Based on R-Code // Проблемы разработки перспективных микро- и наноэлектронных систем (МЭС). – 2019. – № 3. – С. 54–59. ISSN 2078-7707.
20. Жукова Т. Д. Разработка системы автоматизированного проектирования СФК на основе методов избыточного кодирования // Проблемы разработки перспективных микро- и наноэлектронных систем (МЭС). – 2020. – № 4. – С. 119–125. ISSN 2078-7707.
21. Сапожников В. В., Сапожников Вл. В., Ефанов Д. В. Коды с суммированием для систем технического диагностирования. – М. : Наука, 2020. – Т. 1. – 383 с. ISBN 978-5-02-040768-2.
22. Сапожников В. В., Сапожников Вл. В., Ефанов Д. В. Коды с суммированием для систем технического диагностирования. – М. : Наука, 2021. – Т. 2. – 455 с. ISBN 978-5-02-040834-0.
23. Berger J. M. A Note on Error Detection Codes for Asymmetric Channels // Information and Control. – 1961. – Vol. 4. – Issue 1. – Pp. 68–73. ISSN 0019-9958.
24. Berger J. M. A Note on Burst Detection Sum Codes // Information and Control. – 1961. – Vol. 4. – Issue 2-3. – Pp. 297–299. ISSN 0019-9958.
25. Сапожников В. В., Сапожников Вл. В., Ефанов Д. В. Взвешенные коды с суммированием для организации контроля логических устройств // Электронное моделирование. – 2014. – Т. 36. – № 1. – С. 59–80. ISSN 0204-3572.
26. Efanov D. V., Sapozhnikov V. V., Sapozhnikov Vl. V. Using Codes with Summation of Weighted Bits to Organize Checking of Combinational Logical Devices // Automatic Control and Computer Sciences. – 2019. – Vol. 53. – Issue 1. – Pp. 1–11. ISSN 0146-4116.
27. Efanov D., Sapozhnikov V., Sapozhnikov Vl., Osadchy G., Teng T. Sum Codes of Weighted Data Bits for Objectives of Automation Logical Devices Technical Diagnostics // Proceedings of 17th IEEE East-West Design & Test Symposium (EWDTS'2019), Batumi, Georgia, September 13–16, 2019. Pp. 181–190. ISBN 978-1-7281-1002-8.
28. Efanov D. V., Pashukov A. V. The Weight-Based Sum Codes in the Residue Ring by Arbitrary Modulus for Synthesis of Self-Checking Digital Computing Systems // Proceedings of 19th IEEE East-West Design & Test Symposium (EWDTS'2021), Batumi, Georgia, September 10–13, 2021. Pp. 170–179. ISBN 978-1-6654-4502-3.
29. Collection of Digital Design Benchmarks URL: <https://ddd.fit.cvut.cz/www/prj/Benchmarks/>, (дата обращения: 19.12.2021).
30. Sogomonyan E. S., Gössel M. Design of Self-Testing and On-Line Fault Detection Combinational Circuits with Weakly Independent Outputs // Journal of Electronic Testing: Theory and Applications. – 1993. – Vol. 4. – Issue 4. – Pp. 267–281. ISSN 0923-8174.
31. Morosow A, Saposhnikov V.V., Saposhnikov Vl.V., Goessel M. Self-Checking Combinational Circuits with Unidirectionally Independent Outputs // VLSI Design. – 1998. – Vol. 5. – Issue 4. – Pp. 333–345. ISSN 1065-514X.
32. Göessel M., Ocheretny V., Sogomonyan E., Marienfeld D. New Methods of Concurrent Checking: Edition 1. – Dordrecht: Springer Science + Business Media B. V., 2008, 184 p. ISBN 978-1-4020-8419-5.

References

1. Shherbakov N. S. Self-correcting discrete devices. – M. : Mechanical Engineering, [Samokorrekiruyushiesya diskretnye ustrojstva. – M. : Mashinostroenie] 1975, 216 p.
2. Sapozhnikov V. V., Sapozhnikov Vl. In., Khristov H. A., Havesov D. V. Methods of constructing safe microelectronic systems of railway automation, ed. by Vl. In. Sapozhnikova. [Metody postroeniya bezopasnykh mikroelektronnykh sistem zheleznodorozhnoj avtomatiki / pod red. Vl. V. Sapozhnikova.] – M. : Transport, 1995, 272 p. ISBN 5-277-01690-2.
3. Sapozhnikov V. V., Sapozhnikov Vl. In., Efanov D. V. Fundamentals of the theory of reliability and technical diagnostics. [Osnovy teorii nadezhnosti i tekhnicheskoy diagnostiki.] – St. Petersburg : Publishing House «Lan», 2019, 588 p. ISBN 978-5-8114-3453-4.
4. Bestemyanov P. F. Methods of ensuring safety and reliability of microprocessor devices of railway automation and telemechanics / Proceedings of the International Symposium «Reliability and quality». [Metody obespecheniya bezopasnosti i nadezhnosti mikroprotsessornykh ustroystv zheleznodorozhnoj avtomatiki i telemekhaniki / Trudy Mezhdunarodnogo simpoziuma «Nadezhnost' i kachestvo».] – 2007. – Vol. 2. – Pp. 273–274.
5. Bestemyanov P. F. Methods of ensuring the safety of hardware of microprocessor-based train control systems // Electrical Engineering. [Metody obespecheniya bezopasnosti apparatnykh sredstv mikroprotsessornykh sistem upravleniya dvizheniem poezdov // EHlektrotekhnika.] – 2020. – № 9. – Pp. 2–8. ISSN 0013-5860.
6. Sapozhnikov V. V. Synthesis of train traffic control systems at railway stations with the exclusion of dangerous failures. [Sintez sistem upravleniya dvizheniem poezdov na zheleznodorozhnykh stantsiyakh s isklucheniem opasnykh otkazov.] – Moscow : Nauka, 2021, 229 p. ISBN 978-5-02-040877-7.
7. Efanov D. V. Functional control and monitoring of railway automation and telemechanics devices. – St. Petersburg : FGBOU VO PGUPS, 2016, 171 p. ISBN 978-5-7641-0933-6.
8. Bestemyanov P. F. Methodology of statistical modeling of electromagnetic interference in automation and telemechanics channels on railway transport // Electrical engineering. [Metodika statisticheskogo modelirovaniya ehlektromagnitnykh pomekh v kanalakh avtomatiki i telemekhaniki na zheleznodorozhnom transporte // Ehlektrotekhnika.] – 2015. – № 9. – Pp. 2–8. ISSN 0013-5860.
9. Stempkovsky A. L., Telpukhov D. V., Gurov S. I., Zhukova T. D., Shhelokov A. N., Novikov A. D. Synthesis of SFK based on LDPC code using majority decoding // Izvestiya of SFU. – Ser. : Technical Sciences. [Sintez SFK na osnove LDPC koda s ispol'zovaniem mazhoritarnogo dekodirovaniya // Izvestiya YUFU. – Ser. : Tekhnicheskie nauki.] – 2019. – № 4 (206). – Pp. 195–206. ISSN 1999-9429.
10. Soghomonyan E. S., Slabakov E. V. Self-testable devices and fault-tolerant systems. Moscow : Radio and Communications, [Samoproveryaemye ustrojstva i otkazoustojchivye sistemy. M. : Radio i svyaz'] 1989, 208 p. ISBN 5-256-00308-9.
11. Sapozhnikov V. V., Sapozhnikov V. V. Self-testable discrete devices. St. Petersburg : Energoatomizdat, [Samoproveryaemye diskretnye ustrojstva. Spb : Ehnergoatomizdat] 1992, 224 p. ISBN 5-283-04605-2.
12. Ryan W. E., Lin S. Channel Codes: Classical and Modern. – Cambridge University Press, 2009, 708 p. ISBN 978-0-521-84868-8.
13. Piestrak S. J. Design of Self-Testing Checkers for Unidirectional Error Detecting Codes. – Wroclaw : Oficyna Wydawnicza Politechniki Wroclawskiej, 1995, 111 p. ISSN 0324-9786.
14. Fujiwara E. Code Design for Dependable Systems: Theory and Practical Applications. – John Wiley & Sons, 2006, 720 p. ISBN 978-0-471-75618-7.
15. Das D., Touba N. A. Weight-Based Codes and Their Application to Concurrent Error Detection of Multilevel Circuits // Proceedings of the 17th IEEE VLSI Test Symposium, USA, CA, Dana Point, April 25–29, 1999. Pp. 370–376.
16. Das D., Touba N. A., Seuring M., Gossel M. Low Cost Concurrent Error Detection Based on Modulo Weight-Based Codes // Proceedings of IEEE 6th International On-Line Testing Workshop (IOLTW), Spain, Palma de Mallorca, July 3–5, 2000. Pp. 171–176.
17. Efanov D. V. Theory and methods of functional diagnostics of logic devices of railway automation and telemechanics based on the use of noise-resistant codes with summation: dis. doct. Technical sciences: 05.13.06 : defended 16.11.17 : approved on 11.04.18 / Efanov Dmitry Viktorovich. [Teoriya i metody funktsional'nogo diagnostirovaniya logicheskikh ustroystv zheleznodorozhnoj avtomatiki i telemekhaniki na osnove ispol'zovaniya pomekhoustojchivykh

- kodev s summirovaniem: dis. dokt. tekhn. nauk: 05.13.06 : zashhishhena 16.11.17 : utv. 11.04.18 / Efanov Dmitriy Viktorovich] – St. Petersburg, 2017.
18. Nicolaidis M., Zorian Y. On-Line Testing for VLSI – A Compendium of Approaches // Journal of Electronic Testing: Theory and Application. – 1998. – Vol. 12. – Issue 1-2. – Pp. 7–20. ISSN 0923-8174.
 19. Telpuhov D. V., Zhukova T. D., Demeneva A. I., Gurov S. I. Automatic Synthesis of Fault-Tolerant CED Circuits Based on R-Code // Problems of development of promising micro- and nanoelectronic systems (MES). – 2019. – № 3. – . 54–59. ISSN 2078-7707.
 20. Zhukova T. D. Development of a computer-aided design system for ICS based on redundant coding methods // Problems of development of promising micro- and nanoelectronic systems (MES). [Razrabotka sistemy avtomatizirovannogo proektirovaniya SFK na osnove metodov izbytochnogo kodirovaniya // Problemy razrabotki perspektivnykh mikro- i nanoelektronnykh sistem (MEhS).] – 2020. – № 4. – P. 119–125. ISSN 2078-7707.
 21. Sapozhnikov V. V., Sapozhnikov VL. In., Efanov D. V. Codes with summation for systems of technical diagnostics. [Kody s summirovaniem dlya sistem tekhnicheskogo diagnostirovaniya.] – M. : Nauka, 2020. – Vol. 1. – 383 p. ISBN 978-5-02-040768-2.
 22. Sapozhnikov V. V., Sapozhnikov VL. In., Efanov D. V. Codes with summation for systems of technical diagnostics. [Kody s summirovaniem dlya sistem tekhnicheskogo diagnostirovaniya.] – M. : Nauka, 2021. – V. 2. – 455 p. ISBN 978-5-02-040834-0.
 23. Berger J. M. A Note on Error Detection Codes for Asymmetric Channels // Information and Control. – 1961. – Vol. 4. – Issue 1. – Pp. 68–73. ISSN 0019-9958.
 24. Berger J. M. A Note on Burst Detection Sum Codes // Information and Control. – 1961. – Vol. 4. – Issue 2-3. – Pp. 297–299. ISSN 0019-9958.
 25. Sapozhnikov V. V., Sapozhnikov V. V., Efanov D. V. Weighted codes with summation for organization of control of logical devices // Electronic modeling. [Vzveshennyye kody s summirovaniem dlya organizatsii kontrolya logicheskikh ustroystv // Ehlektronnoe modelirovanie.] – 2014. – Vol. 36. – № 1. – Pp. 59–80. ISSN 0204-3572.
 26. Efanov D. V., Sapozhnikov V. V., Sapozhnikov VL. V. Using Codes with Summation of Weighted Bits to Organize Checking of Combinational Logical Devices // Automatic Control and Computer Sciences. – 2019. – Vol. 53. – Issue 1. – Pp. 1–11. ISSN 0146-4116.
 27. Efanov D., Sapozhnikov V., Sapozhnikov VL., Osadchy G., Teng T. Sum Codes of Weighted Data Bits for Objectives of Automation Logical Devices Technical Diagnostics // Proceedings of 17th IEEE East-West Design & Test Symposium (EWDTS'2019), Batumi, Georgia, September 13–16, 2019. Pp. 181–190. ISBN 978-1-7281-1002-8.
 28. Efanov D. V., Pashukov A. V. The Weight-Based Sum Codes in the Residue Ring by Arbitrary Modulus for Synthesis of Self-Checking Digital Computing Systems // Proceedings of 19th IEEE East-West Design & Test Symposium (EWDTS'2021), Batumi, Georgia, September 10–13, 2021. Pp. 170–179. ISBN 978-1-6654-4502-3.
 29. Collection of Digital Design Benchmarks URL: <https://ddd.fit.cvut.cz/www/prj/Benchmarks/>, (reference date: 19.12.2021).
 30. Sogomonyan E. S., Gössel M. Design of Self-Testing and On-Line Fault Detection Combinational Circuits with Weakly Independent Outputs // Journal of Electronic Testing: Theory and Applications. – 1993. – Vol. 4. – Issue 4. – Pp. 267–281. ISSN 0923-8174.
 31. Morosow A, Saposhnikov V. V., Saposhnikov VL. V., Goessel M. Self-Checking Combinational Circuits with Unidirectionally Independent Outputs // VLSI Design. – 1998. – Vol. 5. – Issue 4. – Pp. 333–345. ISSN 1065-514X.
 32. Göessel M., Ocheretny V., Sogomonyan E., Marienfeld D. New Methods of Concurrent Checking: Edition 1. – Dordrecht: Springer Science + Business Media B. V., 2008, 184 p. ISBN 978-1-4020-8419-5.

Статья сдана в редакцию 20 декабря 2021 года

УДК 629.4

*П. С. Григорьев***О связи частот собственных колебаний и критических нагрузок при оценке жесткости несущих элементов вагонных конструкций**

UDC 629.4

*P. S. Grigor'ev***On the relationship of natural oscillation frequencies and critical loads in assessing the rigidity of load-bearing elements of carriage structures****Аннотация**

В нормативно-технической документации достаточно четко определены требования к оценке несущей способности узлов подвижного состава, например, к проверке разрабатываемой конструкции на потерю устойчивости под воздействием сжимающих нагрузок. Это предполагает выполнять проверку расчетными методами. В статье рассматривается возможность определения критического уровня внешнего избыточного давления на оболочку котла цистерн на основе экспериментальных данных о минимальной частоте и форме собственных колебаний. Для решения поставленной задачи применяется дифференциальное уравнение пологих цилиндрических оболочек. Используемое уравнение было предложено Доннеллом и хорошо зарекомендовало себя

при расчете цилиндрических оболочек, в частности, котлов вагонов цистерн. Особенность предлагаемого решения заключается в определенной аналогии математического описания процессов потери устойчивости и собственных колебаний. В результате преобразования рассматриваемых дифференциальных уравнений получено выражение, связывающее между собой критический уровень внешнего избыточного давления и частот собственных колебаний объектов. Приведены численные значения исследуемых параметров, достоверность которых подтверждена схожестью с данными, приведенными в ранее опубликованных источниках. Даны рекомендации по применению предложенного подхода при инженерной проверке устойчивости элементов вагонных конструкций. Показана необходимость учета

форм колебаний и потери устойчивости при определении уровня критического давления по полученному выражению.

Ключевые слова: подвижной состав, вагон-цистерна, котел цистерны, потеря устойчивости, частота собственных колебаний, пологая цилиндрическая оболочка.

DOI: 10.20291/2079-0392-2022-1-17-23

Abstract

The regulatory and technical documentation clearly defines the requirements for assessing the bearing capacity of rolling stock units, for example, to check the design being developed for loss of stability under the influence of compressive loads. This involves performing verification by calculation methods. The article considers the possibility of determining the critical level of external overpressure

Статья рекомендована к публикации В. Ф. Лапшиным, д-ром техн. наук, профессором Уральского государственного университета путей сообщения. E-mail: VLapshin@usurt.ru.

Павел Сергеевич Григорьев, канд. техн. наук, доцент; кафедра «Электропоезда и локомотивы» Российского университета транспорта (МИИТ); Москва, Россия. Email: grigorev.p@gmail.com. ORCID 0000-0002-5841-341X.

The article is recommended for publishing by V. F. Lapshin, Doctor of Technical Sciences, Professor of the Ural State University of Railway Transport. E-mail: VLapshin@usurt.ru.

Pavel Sergeyevich Grigor'ev, Candidate of Technical Sciences, Associate Professor; «Electric Trains and Locomotives» Department of the Russian University of Transport (MIIT); Moscow, Russia. Email: grigorev.p@gmail.com. ORCID 0000-0002-5841-341X.

on the shell of the tank cauldron on the basis of experimental data on the minimum frequency and shape of natural oscillations. In order to solve this problem, the differential equation of flat cylindrical shells is used. The equation used was proposed by Donnell and has proven itself well in calculation of cylindrical shells, in particular cauldrons of tank cars. The peculiarity of the proposed solution lies in a certain analogy of the mathematical description of the processes of loss of

stability and natural oscillations. As a result of transformations of the differential equations under consideration, an expression is obtained that connects the critical level of external overpressure and the natural oscillation frequencies of the objects under consideration. Numerical values of the studied parameters are given, the reliability of which is confirmed by similarity with the data given in previously published sources. Recommendations are given on application of the proposed

approach in engineering verification of carriage structure elements stability. The necessity of taking into account the forms of oscillations and loss of stability when determining the level of critical pressure by the obtained expression is shown.

Keywords: rolling stock, tank car, tank cauldron, loss of stability, natural oscillation frequency, flat cylindrical shell.

DOI: 10.20291/2079-0392-2022-17-23

В оценке жесткости несущих элементов вагонных узлов используются частоты их собственных колебаний и критические нагрузки сжимающего характера, приходящиеся на эти элементы [1]. Оба этих показателя полезно знать для прогноза работоспособности конструкции вагонных узлов рамного, плоского листового или оболочечного оформления.

В последнее время котлы цистерн служат несущими узлами, воспринимающими все виды нагрузок, действующих на вагон в эксплуатации. Опоры котлов безрамных цистерн передают главные статические и динамические нагрузки на всю цилиндрическую часть грузовой емкости. Основная нагрузка на оболочку носит локальный характер. Это опорная реакция от массы груза и собственной массы котла, а также продольные силы, приходящиеся на автосцепки. Распределение этих нагрузок по поверхности участков контакта с цилиндрической оболочкой зависит от конструктивного оформления опорных устройств. Из практики эксплуатации известно, что в грузовой емкости возможно образование разрыва газовой среды и, как следствие, давление в полости котла оказывается ниже атмосферного [1]. При определенном перепаде внешнего и внутреннего давления оболочка котла разрушается

мощным (катастрофическим) хлопком, то есть теряет устойчивость. Есть критическое значение уровня падения давления внутри котла, которое характеризует его жесткость по устойчивости к образованию вакуума [2]. В фундаментальных трудах [3–6] достаточно подробно рассмотрены вопросы потери устойчивости оболочечных цилиндрических конструкций.

Такие показатели жесткости, как частоты собственных колебаний и их формы, можно без вреда для натурной конструкции котла определить и расчетным путем, и экспериментально [7]. Уровень же критического давления и формы потери устойчивости без разрушения испытываемого объекта определить экспериментально нельзя. Критическое значение давления обычно устанавливается расчетом [8]. Экспериментальную оценку критического давления потери устойчивости натурного котла можно провести только на специальном полигоне, удаленном от жилых и производственных сооружений, предусмотрев защиту людского персонала и другого живого мира от удара взрывной волны и звукового воздействия. Проведение таких испытаний очень затратно в отличие от оценок частот собственных колебаний.

Если принять во внимание математическое описание рассматриваемых

физических процессов, то можно отметить их определенную аналогию. Эта аналогия становится еще более ощутимой после алгебраизации дифференциальных уравнений в частных производных колебаний оболочки грузовой емкости котла и уравнений ее устойчивости [9–11].

Приемы алгебраизации для этих задач разные, но при расчетах часто используют единый подход – метод Бубнова – Галлеркина [12, 13]. Аппроксимацию входящих в уравнение перемещений осуществляют в виде двойных тригонометрических рядов, отвечающих граничным условиям выбранной расчетной схемы. Для цилиндрической части котла эта схема представляет цилиндрическую оболочку, опирающуюся на диафрагмы, абсолютно жесткие в своей плоскости и абсолютно податливые из этой плоскости [11].

Цель исследования заключается в установлении связи между частотами собственных колебаний и критическими нагрузками, определяющими устойчивость несущих элементов вагонов.

Для описания напряженно-деформированного состояния оболочки используем уравнение Доннелла [14–16]. Оно эквивалентно системе из трех уравнений равновесия бесконечно малого элемента цилиндрической оболочки, записанных в перемещениях: $u(\alpha, \beta)$ – вдоль образующей цилиндрической поверхности, $v(\alpha, \beta)$ – по касательной к направляющей к окружности, $w(\alpha, \beta)$ – по радиусу R . При этом $a = x/R$ – относительная продольная координата (отношение линейной продольной координаты x вдоль образующей к радиусу), β – угловая координата.

Выписывать хорошо известную систему уравнений [17] нет необходимости. Только отметим, что функции $u(\alpha, \beta)$, $v(\alpha, \beta)$, $w(\alpha, \beta)$ непрерывны по физическому смыслу и дифференцируемы необходимое число раз. То, что уравнения линейные, дало возможность Доннеллу работать с операторами дифференцирования как с числами, исключить по схеме метода Гаусса два неизвестных

перемещения $u(\alpha, \beta)$, $v(\alpha, \beta)$ и получить в результате одно разрешающее уравнение относительно $w(\alpha, \beta)$, но более высокого порядка.

Приведем это уравнение в принятых относительных координатах:

$$\frac{D}{R^4} \nabla^8 w + \frac{Eh}{R^2} \frac{\partial^4 w}{\partial \alpha^4} = \nabla^4 Z, \quad (1)$$

где $D = \frac{Eh^3}{12(1-\mu^2)}$ – цилиндрическая

жесткость; E – модуль упругости; h – толщина оболочки; μ – коэффициент Пуассона; Z – радиально направленная распределенная по поверхности нагрузка;

$$\begin{cases} \nabla^2 = \frac{\partial^2}{\partial \alpha^2} + \frac{\partial^2}{\partial \beta^2}; \\ \nabla^4 = \left(\frac{\partial^2}{\partial \alpha^2} + \frac{\partial^2}{\partial \beta^2} \right)^2 \\ \nabla^8 = \left(\frac{\partial^2}{\partial \alpha^2} + \frac{\partial^2}{\partial \beta^2} \right)^4 \end{cases} \text{ – операторы дифференцирования.}$$

Уравнение (1) – неоднородное, в правую его часть входит внешняя радиально направленная нагрузка. Левая часть отражает упругие свойства объекта, его реакцию на воздействие этой нагрузки.

Если нагрузка меняется во времени (t) $Z = Z(\alpha, \beta, t)$, то и перемещения будут зависеть от времени, а в реакции появится сила инерции – слагаемое, име-

ющее вид $\rho h \nabla^4 \frac{\partial^2 w}{\partial t^2}$, где ρ – плотность

материала оболочки.

При ударном воздействии инерционная составляющая усилия сохранится. С учетом сказанного при динамическом расчете уравнение (1) преобразуется в однородное уравнение вида

$$\frac{D}{R^4} \nabla^8 w + \frac{Eh}{R^2} \frac{\partial^4 w}{\partial \alpha^4} - \rho h \nabla^4 \frac{\partial^2 w}{\partial t^2} = 0. \quad (2)$$

При изучении задач устойчивости оболочки предполагают, что радиальная нагрузка Z заменяется выражением

$$Z = N_1 \frac{1}{R^2} \frac{\partial^2 w}{\partial \alpha^2} + N_2 \frac{1}{R^2} \frac{\partial^2 w}{\partial \beta^2},$$

где $N_1 = -PR/2$ – мембранные усилия, направленные вдоль образующей цилиндрической поверхности; $N_2 = -PR$ – мембранное усилие, ориентированное по касательной к направляющей окружности сечения; P – внешнее давление.

Нагрузка Z представляется как сумма проекций мембранных усилий в искривлённой при деформации поверхности на радиальное направление. Уравнение устойчивости с учетом представления нагрузки Z будет таким:

$$\frac{D}{R^4} \nabla^8 w + \frac{Eh}{R^2} \frac{\partial^4 w}{\partial \alpha^4} = \frac{P}{R} \nabla^4 \left(\frac{1}{2} \frac{\partial^2 w}{\partial \alpha^2} + \frac{\partial^2 w}{\partial \beta^2} \right). \quad (3)$$

Возвращаясь к вопросу об аппроксимации, приведем ее вид [1]:

$$w(\alpha, \beta) = \sum_{m=1}^{\infty} \sum_{n=2}^{\infty} w_{mn} \sin(\lambda \alpha) \cos(n \beta). \quad (4)$$

Эта аппроксимация соответствует случаю оценки устойчивости.

Для задач колебаний аппроксимация будет выглядеть так [1]:

$$w(\alpha, \beta, t) = \sum_{m=1}^{\infty} \sum_{n=2}^{\infty} w_{mn} \sin(\lambda \alpha) \cos(n \beta) \sin(\omega t), \quad (5)$$

где w_{mn} – коэффициент ряда с номерами m и n ; $\lambda = m\pi R/L$; L – длина цилиндрической части котла; $\omega = 2\pi f$ – круговая частота колебаний (при ударном воздействии – собственных колебаний; при установившихся колебаниях – частота внешней возмущающей нагрузки); f – техническая частота колебаний.

Перемещения $w(\alpha, \beta, t)$, представленные этими рядами, отвечают вышеназванным требованиям к аппроксимации перемещений для выбранной расчетной схемы.

Ряды по углу β суммируются с $n = 2$, так как исключаются, во-первых, случаи осесимметричных колебаний и осе-

симметричной потери устойчивости (при $n = 0$), а, во-вторых, колебаний кузова как балки с жестким контуром поперечного сечения ($n = 1$). Это особые случаи колебаний и формы потери устойчивости. Подстановка рядов (4) и (5) в дифференциальные уравнения (2) и (3) и, соответственно, алгебраизация с учетом ортогональности тригонометрических функций, приводит к двум системам однородных алгебраических уравнений относительно коэффициентов w_{mn} . Эти системы бесконечны и имеют диагональные матрицы. Следовательно, по каждому сочетанию номеров гармоник уравнения из-за ортогональности тригонометрических функций независимы и вид их таков:

$$\left[\frac{D}{R^4} (\lambda^2 + n^2)^4 + \frac{Eh}{R^2} \lambda^4 - \rho h (\lambda^2 + n^2)^2 \omega^2 \right] w_{mn} = 0, \quad (6)$$

$$\left[\frac{D}{R^4} (\lambda^2 + n^2)^4 + \frac{Eh}{R^2} \lambda^4 - \frac{P}{R} (\lambda^2 + n^2)^2 \left(\frac{\lambda^2}{2} + n^2 \right) \right] w_{mn} = 0. \quad (7)$$

Уравнение (6) описывает собственные колебания оболочки, а уравнение (7) – потерю устойчивости. Знак «минус» перед последним слагаемым во втором уравнении выражает направление действия наружного давления P . Уравнения выполняются, если их коэффициенты равны нулю. Тогда из уравнения (6) получим

$$\omega^2 = \frac{\frac{D}{R^4} (\lambda^2 + n^2)^4 + \frac{Eh}{R^2} \lambda^4}{\rho h (\lambda^2 + n^2)^2}. \quad (8)$$

Из уравнения (7) получим критическое значение $P_{кр}$:

$$P_{кр} = \frac{\frac{D}{R^4} (\lambda^2 + n^2)^4 + \frac{Eh}{R^2} \lambda^4}{\frac{1}{R} (\lambda^2 + n^2)^2 \left(\frac{\lambda^2}{2} + n^2 \right)}. \quad (9)$$

Таким образом, получены формулы (8) и (9) расчетных значений квадрата частоты собственных колебаний и критического давления. В инженерной практике необходимо найти наименьшие их значения при различных формах изменения перемещения, т.е. от m и n . С формальной точки зрения, используя аналогию выражений (6) и (7), мы можем приравнять коэффициенты при этих уравнениях и получить зависимость критического давления от частоты собственных колебаний и, наоборот, частоты от критического давления.

Например:

$$P_{кр}^* = \frac{\rho h R \omega^2}{\frac{\lambda^2}{2} + n^2}. \quad (10)$$

Приведем результаты расчета по формулам (8), (9), (10). Для этого используем следующие исходные данные материала оболочки, соответствующие стали 09Г2С: $E = 210$ ГПа, $\mu = 0,3$, $\rho = 7800$ кг/м³ (таблица).

Результаты расчета при различных параметрах цилиндрической оболочки

L , м	R , мм	h , мм	n	f , Гц	$P_{кр}$, кПа	$P_{кр}^*$, кПа
17	1500	9	2	11,1	127,9	107,1
			3	10,2	47,9	47,9
			4	16,3	68,7	26,9
		10	2	11,3	146,6	141,1
			3	11,1	63,0	63,0
			4	18,0	93,8	35,5
		11	2	11,5	166,7	182,05
			3	12,0	81,3	81,342
			4	19,8	124,4	45,8
9	1400	9	2	33,6	1063	324,8
			3	18,6	146,7	146,7
			4	20,6	101,7	83,0
		10	2	33,7	1186	388,3
			3	19,3	175,5	175,5
			4	22,5	134,8	99,3
		11	2	33,8	1312	460,9
			3	20,0	208,2	208,2
			4	24,4	174,7	117,8

* Условные цифры, не имеющие практической полезности.

В таблице серым цветом отмечены минимальные значения собственных частот и критического избыточного давления, рассчитанные по формулам (8) и (9) соответственно.

Имея информацию о минимальной частоте и форме колебаний на этой частоте, по результатам эксперимента с помощью формулы (10) можно определить «квазиэкспериментальное» значение минимальной критической нагрузки. Анализ результатов, представленных в таблице и рассчитанных по формулам (8) и (9), показывает, что формы колебаний при минимальной частоте не всегда совпадают с формой потери устойчивости при минимальной критической нагрузке. Тогда выражение (10) становится ошибочным. Оно правомерно при равенстве форм m и n . Полагаем, если заказчик продукции заинтересован в приближенной экспериментальной проверке устойчивости объекта, то ему следует на стадиях разработки проекта просить конструкторов обратить на это внимание. Надо подобрать размерные характеристики (в данном случае, оболочки котла цистерны) так, чтобы было соответствие форм колебаний и устойчивости минимальных частот и критических нагрузок. Для котлов цистерн – это, например, варьирование толщиной оболочки.

Таким образом, используя обозначенную в выражениях (6) и (7) аналогию, располагая информацией о формах и частотах колебаний по результатам экспериментах на натурных конструкциях, можно определить уровень критического давления по формуле (10). Однако эту формулу можно использовать в том случае, если форма колебаний для минимума частоты собственных колебаний и критического давления будет совпадать. Это можно проверить по формулам (8) и (9). ■

Литература

1. Котуранов В. Н. Определение внутренних усилий в цилиндрической части оболочки котла цистерны. Большегрузные восьмиосные вагоны. – М. : Транспорт, 1968. – 288 с. ISBN 978-5-7473-0478-9.
2. Тимошенко С. П. Сопротивление материалов. Т. 2. Более сложные вопросы теории и задачи. – М. : Наука, 1965. – 480 с.
3. Погорелов А. В. Геометрическая теория устойчивости оболочек. – М. : Наука, 1966. – 296 с.
4. Товстик П. Е. Устойчивость тонких оболочек: Асимптотические методы : научное издание. – М. : Наука. Физматлит, 1995. – 320 с. ISBN 5-02-014522-X.
5. Аброш А., Бабель Г. В. [и др.] Тонкостенные оболочечные конструкции: Теория, эксперимент и проектирование. Монография. – М. : Машиностроение, 1980. – 607 с.
6. Новожилов В. В. Теория тонких оболочек : научное издание. – Л. : Судпромгиз, 1962. – 2-е изд., испр. и доп. – 431 с.
7. Осипов Т. А. Исследование динамических характеристик котлов большегрузных цистерн и напряженного состояния их подкрепленных конструкций : дис. ... канд. техн. наук. – М., 1967. – 237 с.
8. ГОСТ 33211-2014. Вагоны грузовые. Требования к прочности и динамическим качествам. – М. : Стандартинформ, 2016. – 57 с.
9. ЧАН Фу Тхуан, Григорьев П. С, Суворова К. Е. Расчетные зависимости и оценки частот и форм колебаний оболочки котлов цистерн // Мир транспорта. 2018. № 5 (78). С. 84–90. ISSN 1992-3252.
10. Григорьев П. С., Суворова К. Е. Оценка частот собственных колебаний и динамических напряжений в оболочке котла цистерны // Известия Петербургского университета путей сообщения. 2017. № 4. С. 637–643. 1815-588X.
11. Григорьев П. С., Беспалько С. В., Коржин С. Н., Ибодуллоев Ш. Р. Оценка устойчивости цилиндрической оболочки котла цистерны с учетом заполнения ее жидким грузом // Транспорт Урала. 2021. № 4 (71). С. 40–45.
12. Lopatin A. V., Morozov E. V., Approximate buckling analysis of the CCFF orthotropic plates subjected to in-plane loading, International Journal of Mechanical Sciences. 2015. № 85. P. 38–44. ISSN 1815-9400.
13. Michael EbieOnyia, Galerkin-VlasovVariational Method for the Elastic Buckling Analysis of SSCF and SSSS Rectangular Plates / Michael EbieOnyia, Eghosa. O. Rowland-Lato, Charles Chinwuba Ike // International Journal of Engineering Research and Technology. 2020. Vol. 13. № 6. P. 1137–1146. ISSN 0974-3154.
14. Доннелл Л. Г. Балки, пластины и оболочки. – М. : Наука, 1982. – 568 с.
15. Биргер И. А., Пановко Я. Г. Прочность. Устойчивость. Колебания : справочник. В 3 т. Т. 3. – М. : Машиностроение, 1968. – 567 с.
16. Grigoriev P. S., Ibodulloev Sh. R., Poyonov V. B. : An approach for estimating critical temperatures of buckling of shallow cylindrical shell. // Technical science and innovation. 2019. Vol. 2. P 270–274.
17. Власов В. З. Избранные труды. Общая теория оболочек. – М : Изд-во Академии наук СССР, 1962. – 528 с.

References

1. Koturanov V. N. Determination of internal forces in the cylindrical part of the shell of the tank cauldron. Heavy-duty eight-axle carriages. [Opredelenie vnutrennikh usilij v tsilindricheskoj chasti obolochki kotla tsisterny. Bol'shegruznye vos'miosnye vagoni.] – M. : Transport, 1968. – 288 p. ISBN 978-5-7473-0478-9.
2. Timoshenko S. P. Resistance of materials. Vol. 2. More complex questions of theory and problems. [Soprotivlenie materialov. Tom vtoroj. Bolee slozhnye voprosy teorii i zadachi.] – M. : Nauka, 1965. – 480 p.
3. Pogorelov A. V. Geometric theory of shell stability. [Geometricheskaya teoriya ustojchivosti obolochek.] – M. : Nauka, 1966. – 296 p.
4. Tovstik P.E. Stability of thin shells: Asymptotic methods : scientific edition. [Ustojchivost' tonkikh obolochek: Asimptoticheskie metody : nauchnoe izdanie.] – M. : Nauka. Fizmatlit, 1995. – 320 p. ISBN 5-02-014522-X.

5. Abrash A., Babel G. V. [et al.] Thin-walled shell structures: Theory, experiment and design. Monograph. – M. : Mechanical Engineering, [Tonkostennye obolochecnye konstruksii: Teoriya, ehksperiment i proektirovanie. Monografiya. – M. : Mashinostroenie] 1980 – 607 p.
6. Novozhilov V. V. Theory of thin shells : scientific edition. – L. : Sudpromgiz, [Teoriya tonkikh obolochek : nauchnoe izdanie. – L. : Sudpromgiz] 1962. – 2nd ed., revised and enlarged. – 431 p.
7. Osipov T. A. Investigation of the dynamic characteristics of heavy-duty tank cauldrons and the stress state of their reinforced structures : dis. ... Candidate of Technical Sciences. [Issledovanie dinamicheskikh kharakteristik kotlov bol'shegruznykh tsistern i napryazhennogo sostoyaniya ikh podkreplennykh konstruksij : dis. ... kand. tekhn. nauk]. – M., 1967. – 237 p.
8. GOST 33211-2014. Freight cars. Requirements for strength and dynamic qualities. [GOST 33211-2014. Vagony gruzovye. Trebovaniya k prochnosti i dinamicheskim kachestvam.] – M. : Standardinform, 2016. – 57 p.
9. CHAN Fu Thuan, Grigoriev P. S., Suvorova K. E. Calculated dependences and estimates of frequencies and forms of vibrations of the shell of tank cauldrons // The World of Transport. [Raschetnye zavisimosti i otsenki chastot i form kolebanij obolochki kotlov tsistern // Mir Transporta.] 2018. No. 5 (78). pp. 84–90. ISSN 1992-3252.
10. Grigor'ev P. S., Suvorova K. E. Estimation of natural oscillation frequencies and dynamic stresses in the shell of a tank cauldron // News of St. Petersburg University of Railway Transport. 2017. № 4. Pp. 637–643. 1815-588X.
11. Grigor'ev P. S., Bepalko S. V., Korzhin S. N., Abdullaev Sh. R. Assessment of stability of the cylindrical shell of a tank cauldron with consideration of its liquid cargo // Transport of the Urals. [Otsenka chastot sobstvennykh kolebanij i dinamicheskikh napryazhenij v obolochke kotla tsisterny // Izvestiya Peterburgskogo universiteta putej soobshheniya.] 2021. № 4 (71). Pp. 40–45.
12. Lopatin A. V., Morozov E. V., Approximate buckling analysis of the CCFF orthotropic plates subjected to in-plane loading, International Journal of Mechanical Sciences. 2015. № 85. P. 38–44. ISSN 1815-9400.
13. Michael EbieOnyia, Galerkin-Vlasov Variational Method for the Elastic Buckling Analysis of SSCF and SSSS Rectangular Plates / Michael EbieOnyia, Eghosa. O. Rowland-Lato, Charles Chinwuba Ike // International Journal of Engineering Research and Technology. 2020. Vol. 13. № 6. P. 1137–1146. ISSN 0974-3154.
14. Donnell L. G. Beams, plates and shells. [Balki, plastiny i obolochki.] – M. : Nauka, 1982. – 568 p.
15. Birger I. A., Panovko Ya. G. Durability. Stability. Fluctuations : a reference book. [Prochnost'. Ustoichivost'. Kolebaniya : spravochnik.] In 3 v. V. 3. – M. : Mechanical Engineering, 1968. – 567 p.
16. Grigoriev P. S., Ibodulloyev Sh. R., Poyonov V. B. : An approach for estimating critical temperatures of buckling of shallow cylindrical shell. // Technical science and innovation. 2019. Vol. 2. P. 270–274.
17. Vlasov V. Z. Selected works. General theory of shells. – Moscow : Publishing House of the USSR Academy of Sciences, [Izbrannye trudy. Obshhaya teoriya obolochek. – M. : Izdatel'stvo Akademii nauk SSSR] 1962. – 528 p.

Статья сдана в редакцию 31 января 2022 года

УДК 625.11

Г. Л. Аккерман, С. Г. Аккерман

Криволинейные участки пути и поезда с наклоном кузова вагонов

UDC 625.11

G. L. Akkerman, S. G. Akkerman

Curved sections of track and trains with a car body tilt

Аннотация

На железной дороге одним из узких мест повышения скорости движения поездов являются криволинейные участки пути. При прохождении экипажем таких участков возникает центробежная сила, которая пропорциональна квадрату скорости и обратно пропорциональна радиусу круговой кривой. Эта сила частично нейтрализуется возвышением наружного рельса в кривой. Возникает так называемое непогашенное ускорение, величина которого ограничена техническими условиями. На высокоскоростных железнодорожных магистралях при превышении допустимого непогашенного ускорения, действующего на пассажира, для нейтрализации этого ускорения эксплуатируются поезда с наклоном кузова вагона. Наклон кузова может быть пассивным за счет центробежных сил и активным с помощью специальных механизмов наклона. В любом случае скорость наклона должна быть увязана с процессом прохода поездом криволинейного участка.

Показано, что использование биклотовидного проектирования кривых сглаживает инертность кинетики наклона кузова вагона. Биклотовидное проектирование – это проектирование криволинейного участка двумя переходными кривыми встык без правильной круговой кривой. Такая проекторка уменьшает силы взаимодействия между колесом и рельсом, увеличивает плавность движения поезда, что позволяет легче адаптировать процесс наклона кузова с проходом поездом криволинейного участка.

Предлагается учитывать такое понятие, как импульс силы. Это позволит при больших скоростях использовать непогашенное ускорение более допустимого по техническим условиям, равного $0,4 \text{ м/с}^2$.

Ключевые слова: кривая, переходная кривая, биклотоида, наклон кузова, непогашенное ускорение, импульс силы, время хода.

DOI: 10.20291/2079-0392-2022-1-24-30

Abstract

On the railway, one of the bottlenecks in increasing the speed of trains are curved sections of track. When passing such sections by the crew, a centrifugal force arises, which is proportional to the square of the speed and inversely proportional to the radius of the circular curve. This force is partially neutralized by elevation of the outer rail in the curve. There is a so-called outstanding acceleration, the magnitude of which is limited by technical conditions. On high-speed railways, when the permissible outstanding acceleration acting on the passenger is exceeded, trains with a car body tilt are operated to neutralize this acceleration. The tilt of the body can be passive due to centrifugal forces and active with the help of special tilt mechanisms. In any case, the tilt speed should be linked to the process of passing the curved section by train.

It is shown that the use of the biclotoid curve design smooths the inertia of the kinetics of the car body tilt. Biclotoid design is the design of a curved section with two transition curves butt-to-butt, without a regular circular curve. Such a design reduces the forces of interaction between the wheel and the rail, increases the smoothness of the train movement, which makes it easier to adapt the process of tilting of the body to the passage of a curved section by train.

It is proposed to take into account the concept of “force impulse”. This will allow, at high speeds, to use a more technically permissible outstanding acceleration equal to 0.4 m/s^2 .

Keywords: curve, transition curve, biclotoid, body tilt, outstanding acceleration, force pulse, travel time.

DOI: 10.20291/2079-0392-2022-1-24-30

Аккерман Геннадий Львович, д-р техн. наук, профессор; кафедра «Путь и железнодорожное строительство» Уральского государственного университета путей сообщения; Екатеринбург, Россия. E-mail: GAKkerman@usurt.ru. ORCID 0000-0003-1330-1825.

Аккерман Сергей Геннадьевич, канд. техн. наук; кафедра «Путь и железнодорожное строительство» Уральского государственного университета путей сообщения; Екатеринбург, Россия. E-mail: SAKkerman@usurt.ru. ORCID 0000-0001-9237-3637.

Akkerman Gennady Lvovich, Doctor of Technical Sciences, Professor; «Track and Railway Construction» Department of the Ural State University of Railway Transport; Yekaterinburg, Russia. E-mail: GAKkerman@usurt.ru. ORCID 0000-0003-1330-1825.

Akkerman Sergey Gennad'evich, Candidate of Technical Sciences; «Track and Railway Construction» Department of the Ural State University of Railway Transport; Yekaterinburg, Russia. E-mail: SAKkerman@usurt.ru. ORCID 0000-0001-9237-3637.

Повышение скорости и сокращение времени передвижения между объектами – один из положительных критериев в конкурентной борьбе между различными видами транспорта. Строительство высокоскоростных магистралей способствует подъему и развитию экономики районов, через которые она проходит.

Повышение скоростей поездов на существующих железных дорогах ограничено в том числе из-за резкого увеличения поперечного ускорения в кривых, действующего на экипаж, которое пропорционально квадрату скорости и нормируется действующими ТУ [1]. Превышение так называемого допустимого непогашенного ускорения может вызвать дискомфорт у пассажиров и привести к сходу подвижного состава с рельсов. Величина поперечного ускорения снижается возвышением наружного рельса в кривой. Если такого возвышения недостаточно, то для увеличенных скоростей движения используют вагоны с наклоном кузова (ВНК). Использование такого подвижного состава позволяет минимизировать капитальные затраты, компенсировать поперечное ускорение и увеличить скорость движения, не снижая уровень комфорта пассажиров [2].

Различают активную (максимальный угол наклона 13 град), пассивную (угол наклона кузова до 6 град) и смешанную системы наклона кузова. Пассивная система более проста и поэтому дешевле остальных: наклон кузова внутри кривой осуществляется под действием центробежной силы.

Недостатки системы пассивного наклона: задержка в наклоне кузова из-за инерции кузова, риск опрокидывания вагона из-за высоко расположенного центра тяжести, необходимость контроля за колебаниями кузова при выходе из кривой, сравнительно небольшой угол наклона (max до 5–6 град).

Активная система наклона выполняется различного типа механизмами, смонтированными на тележках вагонов, и управляющей ими компьютерной

системой с необходимыми датчиками. Скорость наклона кузова – 4 град/с.

Максимально допустимое возвышение наружного рельса в кривой на железных дорогах России составляет 150 мм, а непогашенное ускорение на высокоскоростных магистральных – $0,4 \text{ м/с}^2$ [1].

На величине допустимого непогашенного ускорения из-за его значительного влияния на проектирование и содержание пути следует остановиться особо. Эта величина может быть увеличена до $0,6\text{--}0,7 \text{ м/с}^2$ [3]. Дело все в том, что результат воздействия непогашенного ускорения на пассажира зависит не только от значения этой величины, но и от времени ее действия – импульса силы. Импульс силы равен силе, умноженной на время ее действия, а так как масса постоянна, то импульс силы будет эквивалентен произведению ускорения на время его действия. Поэтому, чем выше скорость поезда, тем за меньшее время он проходит одинаковый по длине криволинейный участок пути, т.е. тем большую величину непогашенного ускорения можно допустить. Предел устойчивости организма к влиянию ускорения зависит от скорости его изменения [4–7], а диапазон этой устойчивости – от индивидуальных особенностей организма в пределах от 3 до $8G$, где G – ускорение земного притяжения, равное $9,8 \text{ м/с}^2$, т.е. «разрешенное» непогашенное ускорение – $0,4\text{--}0,7 \text{ м/с}^2$ намного меньше допустимого по пределу устойчивости организма человека.

Система наклона кузова вагона должна срабатывать при движении поезда в начале переходной кривой; на выходной кривой процесс должен повторяться в обратном порядке. Однако из-за инерции кузова вагона осуществление «идеального» процесса наклона невыполнимо – наклон кузова происходит с некоторым опозданием. Поэтому при движении таких вагонов по криволинейному участку пути на ВСМ возникает проблема соотношения скорости наклона кузова и скорости изменения радиуса кривой и возвышения

наружного рельса. Эта гармонизация проще осуществляется при увеличенной длине переходной кривой, что возможно с использованием биклотоидно-го проектирования [8–10].

Биклотоидная кривая – это две переходные кривые, запроектированные встык без вставки «чистой» круговой кривой. Исследованиями доказана

целесообразность использования биклотоидных криволинейных участков вместо круговых кривых с переходными на концах, при этом наибольшие значения боковых сил в случае биклотоидной кривой меньше в 1,5–2 раза. При равных углах поворота длина биклотоиды равняется двум длинам круговой кривой [8].

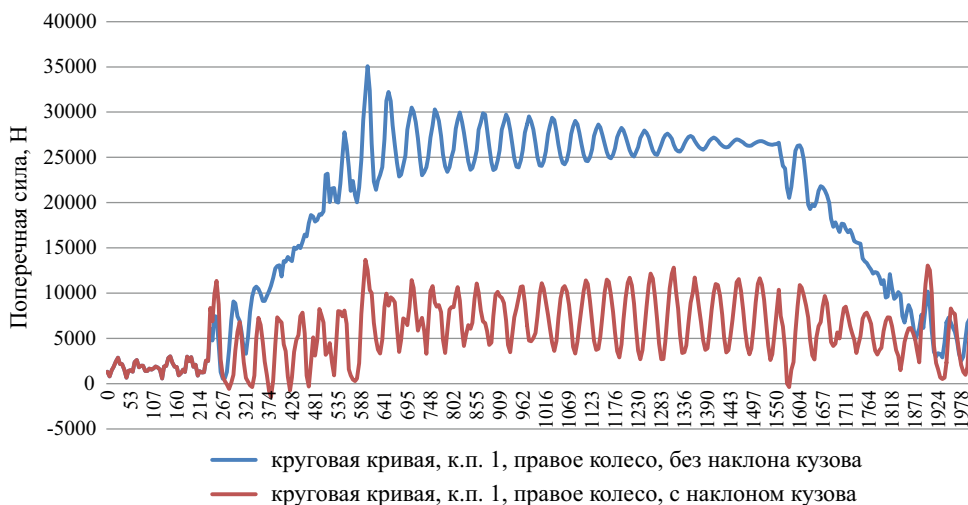


Рис. 1. График изменения поперечной силы при скорости движения 350 км/ч и радиусе кривой 4000 м (к.п. – колесная пара)

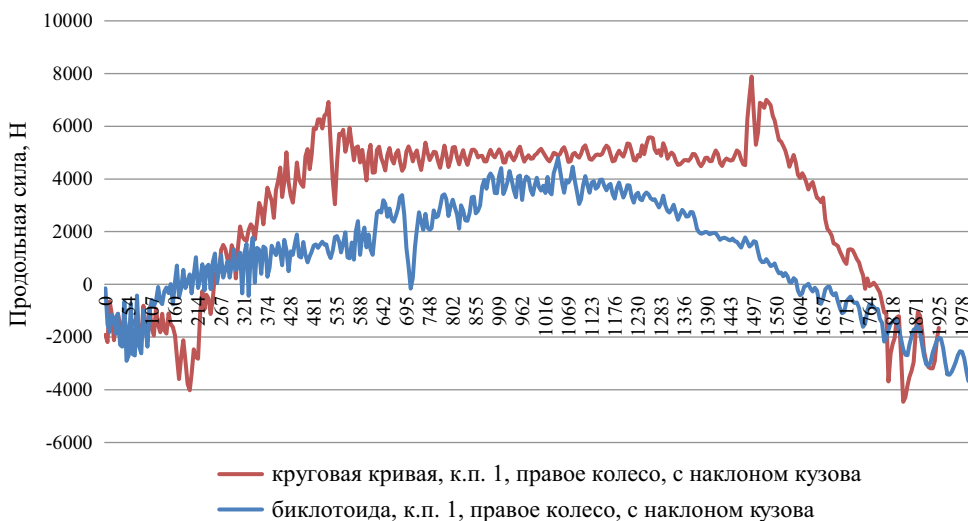


Рис. 2. График изменения продольной силы при скорости движения 350 км/ч и радиусе кривой 4000 м

Анализ движения поезда с наклоном и без наклона кузова вагона проводился с помощью компьютерного комплекса «Универсальный механизм» (УМ).

Расчеты выполнены для радиусов кривых 2000 и 4000 м, при «обычном» и биклотовидном проектировании криволинейных участков пути, для скоростей

140–350 км/ч и поездов с наклоном и без наклона кузова вагонов. Как результат получены вертикальные, продольные и поперечные силы взаимодействия между колесом и рельсом. Графики изменения поперечных и продольных сил при скорости движения 350 км/ч приведены на рис. 1–4.

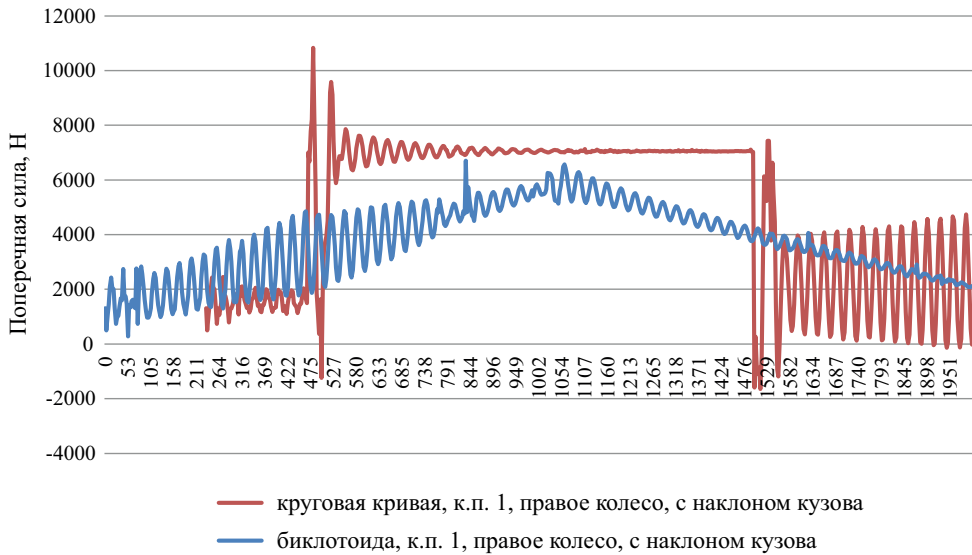


Рис. 3. График изменения поперечной силы при скорости движения 200 км/ч и радиусе кривой 4000 м

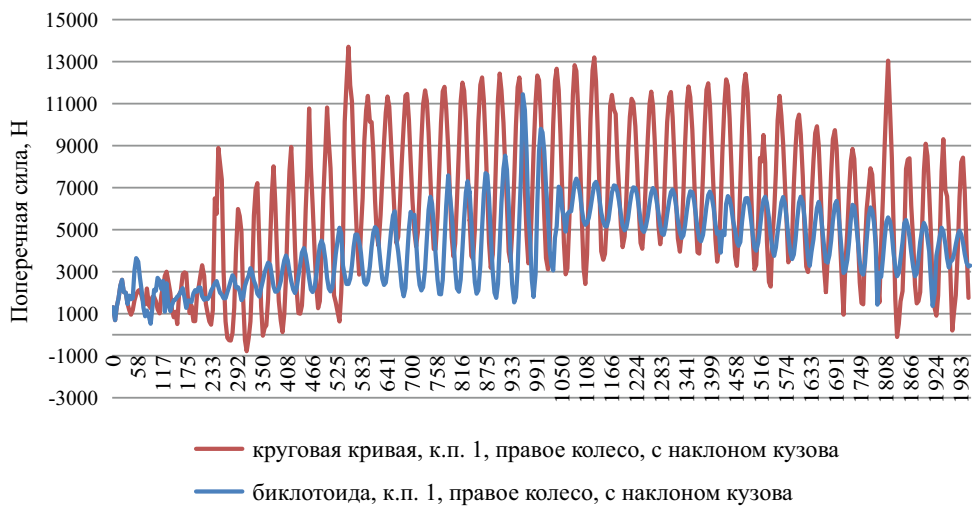


Рис. 4. График изменения поперечной силы при скорости движения 300 км/ч и радиусе кривой 4000 м

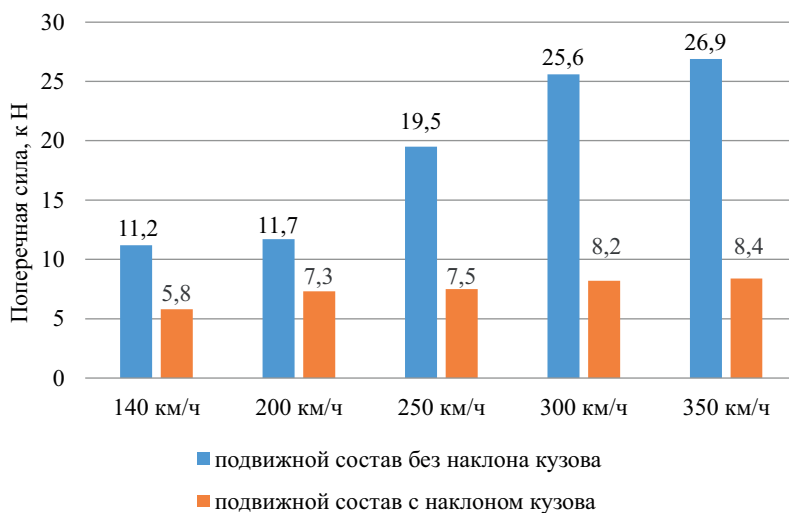


Рис. 5. Сравнительные результаты поперечных сил

Пример сравнительных результатов поперечных сил показан на рис. 5.

За время прохода переходной кривой состава у вагонов с наклоном кузова последний должен успеть отклониться от вертикальной оси на необходимый угол. Угол наклона кузова:

$$\operatorname{tg}(a) = h/(1520 + b),$$

где b – ширина головки рельса, у рельса Р65 ширина головки поверху равняется 76 мм; h – необходимое возвышение рельса в кривой, превышающее нормативное, равное 150 мм.

Наклон вагона от максимального нормативного возвышения наружно-го рельса:

$$\operatorname{tg}(d) = 150/(1520 + b).$$

Тогда угол отклонения кузова от вертикальной оси, превышающей угол d , определится как разность углов a и d .

В таблице показано время прохождения поездом переходной кривой и время, необходимое для наклона кузова вагона. Максимальный угол наклона кузова принят 6,5 град, максимальная скорость наклона кузова – 4 град/с.

Из таблицы видно, что вагон успеет наклонить кузов до прохода переходной кривой. Однако выполняется это из-за инерции и с некоторым опозданием. Для компенсации этого желательно иметь более длинную переходную кривую, что осуществимо при биклotoидном проектировании. Однако, учитывая точность распознавания вагоном начала и конца переходной кривой и недостаточный опыт эксплуатации таких вагонов в России (поезд «Аллегро» Санкт-Петербург – Хельсинки из семейства итальянских поездов Pendolino компании Alstom), это требует своего дальнейшего исследования.

При эксплуатации вагонов с наклоном кузова часть центробежного ускорения воспринимается пассажирами как

Сравнение времени наклона кузова и прохода поездом переходной кривой

Скорость, км/ч	Фиктивное возвышение, мм	Угол отклонения, град	Время наклона, с	Время прохождения кривой, с
350	320	6,1	1,5	1,85

направленное перпендикулярно полу, что повышает комфорт этих вагонов. Использование системы наклона кузова позволяет увеличить скорость поезда в кривой до 25 % и снизить время в пути до 20 %. При этом следует учитывать, что наклон кузова облегчает езду пассажиров, но воздействие центробежной силы на путь не уменьшает. Из рис. 1–5 видно, что максимальная поперечная сила, действующая на путь, в этом случае увеличивается почти в три раза. Это может сказаться на содержании пути при интенсивном движении поездов с наклоном кузова вагонов. Однако влияние таких поездов на стабильность пути требует своего дальнейшего исследования.

Заключение

Установлено, что организация движения поездов с наклоном кузова не оказывает значительного влияния на максимальную величину продольной силы и несущественно уменьшает (до 10 %) вертикальные силы, резко уменьшает воздействие центробежных сил (до трех раз) на пассажиров, однако не снижает поперечные силы между колесом и рельсом, что может нарушить стабильность железнодорожного пути, применение биклотовидного проектирования вместо круговой кривой с двумя переходными обеспечивает

более плавное возрастание поперечных сил, максимальная величина которых находится в центре биклотовиды (в стыке двух переходных кривых), не превышая значения этих сил на круговой кривой. Это позволяет гармонизировать время наклона кузова и время прохода поездом криволинейного участка. При совместном применении биклотовидного проектирования криволинейных участков пути и поездов с наклоном кузова вагонов возрастает комфортность поездки пассажиров в таких поездах, биклотовидное проектирование криволинейных участков пути снижает колебания вагонов с наклоном кузова.

Настоящее исследование выполнено для кривых радиуса 2000 и 4000 м; интересно провести подобные исследования для кривых меньших радиусов, так как при одном и том же угле поворота длина этих кривых будет меньше, время прохода поездом также сокращается, значит, уменьшается импульс сил при взаимодействии колеса и рельса (т.е. можно увеличить допустимое непогашенное ускорение). То же самое можно сказать про кривые с меньшим углом поворота. Так как с уменьшением радиуса кривой при одной и той же скорости поезда центробежная сила возрастает, то эксплуатация вагонов с наклоном кузова здесь может быть более эффективна. ■

Литература

1. Специальные технические условия № 12. Обеспечение безопасности движения поездов на участке Москва – Казань высокоскоростной железнодорожной магистрали Москва – Казань – Екатеринбург. Технические нормы и требования к проектированию и строительству. СПб, 2016. 27 с.
2. Митраков А. С. Обоснование параметров системы принудительного наклона кузова вагонов : дис. ... канд. техн. наук : 05.22.07. – Екатеринбург, 2020. 166 с.
3. К вопросу о допустимости совмещения кривых в вертикальной плоскости с переходными кривыми в плане при проектировании ВСМ / Г. Л. Аккерман, С. Г. Аккерман, А. В. Замуховский, В. А. Копыленко // Транспорт Российской Федерации. 2018. № 1. С. 22–25.
4. Авиационная медицина / А. Н. Бабийчук [и др.]. М., 1980. 96 с.
5. Сергеев А. А. Физиологические механизмы действия ускорений. Л., 1967. 392 с.
6. Стасевич Р. А., Исаков П. К. Скорости, ускорения, перегрузки. М., 1956. 84 с.
7. Большая Медицинская Энциклопедия / под ред. Б. В. Петровского. – М., 1977. – 3-е изд. – 632 с.
8. Аккерман Г. Л., Аккерман С. Г., Кравченко О. А. Биклотовидное проектирование криволинейных участков железной дороги // Путь и путевое хозяйство. 2010. № 10. С. 28–30.

9. Аккерман Г. Л., Аккерман С. Г., Каргапольцев В. Д. Цифровизация при проектировании криволинейных участков // Путь и путевое хозяйство 2020. № 3. С. 37–40.
10. Аккерман Г. Л., Аккерман С. Г., Каргапольцев Д. В. Инновации в геометрии трассы // Сб. трудов Хабаровского университета инженеров путей сообщения. 2019. № 4.

References

1. Special technical conditions № 12. Ensuring the safety of train traffic on the Moscow–Kazan section of the Moscow – Kazan – Yekaterinburg high-speed railway. Technical standards and requirements for design and construction. [Spetsial'nye tekhnicheskie usloviya № 12. Obespechenie bezopasnosti dvizheniya poezdov na uchastke Moskva – Kazan' vysokoskorostnoj zheleznodorozhnoj magistrali Moskva – Kazan' – Ekaterinburg. Tekhnicheskie normy i trebovaniya k proektirovaniyu i stroitel'stvu.] St. Petersburg, 2016. 27 p.
2. Mitrakov A. S. Justification of the parameters of the system of forced tilting of the wagon body: [Obosnovanie parametrov sistemy prinuditel'nogo naklona kuzova vagonov : disc. ... kand. tekhn. nauk] dis. ... Candidate of Technical Sciences : 05.22.07. – Yekaterinburg, 2020. 166 p.
3. On the issue of permissibility of combining curves in the vertical plane with transition curves in the plan when designing the HSR [K voprosu o dopustimosti sovmeshheniya krivyykh v vertikal'noj ploskosti s perekhodnymi krivymi v plane pri proektirovanii VSM] / G. L. Akkerman, S. G. Akkerman, A. V. Zamukhovskiy, V. A. Kopylenko // Transport of the Russian Federation. 2018. № 1. Pp. 22–25.
4. Aviation medicine [Aviatsionnaya meditsina] / A. N. Babichuk [et.al.]. M., 1980. 96 p.
5. Sergeyev A. A. Physiological mechanisms of acceleration action. [Fiziologicheskie mekhanizmy dejstviya uskorenij] L., 1967. 392 p.
6. Stasevich R. A., Isakov P. K. Speeds, accelerations, overloads. [Skorosti, uskoreniya, peregruzki.] M., 1956. 84 p.
7. The Great Medical Encyclopedia [Bol'shaya Meditsinskaya Ehntsiklopediya] / edited by B. V. Petrovsky. – M., 1977. – 3rd ed. – 632 p.
8. Akkerman G. L., Akkerman S. G., Kravchenko O. A. Biclotoid design of curved sections of the railway // Path and track economy. [Biklotoidnoe proektirovanie krivolinejnykh uchastkov zheleznoj dorogi // Put' i putevoe khozyajstvo.] 2010. № 10. Pp. 28–30.
9. Akkerman G. L., Akkerman S. G., Kargapoltsev V. D. Digitalization in the design of curved sections // Track and track facilities. [Tsifrovizatsiya pri proektirovanii krivolinejnykh uchastkov // Put' i putevoe khozyajstvo] 2020. № 3. Pp. 37–40.
10. Akkerman G. L., Akkerman S. G., Kargapoltsev D. V. Innovations in route geometry // Proceedings of the Khabarovsk University of Railway Engineers. [Innovatsii v geometrii trassy // Sb. trudov Khabarovskogo universiteta inzhenerov putej soobshheniya] 2019. № 4.

Статья сдана в редакцию 15 января 2022 года

Механика машин и роботов

УДК 629.423.3; 621.891

А. П. Буйносов, А. Т. Шарпов

Адаптация классификаций видов изнашивания применительно к механической части тягового привода локомотивов

UDC 629.423.3; 621.891

A. P. Bujnosov, A. T. Sharapov

Adaptation of wear type classifications in relation to the mechanical part of the traction drive of locomotives

Аннотация

При исследовании изнашивания необходимо знать классификацию его видов и подвидов, но это осложняется тем, что нет единых признаков, по которым оно классифицируется. Особо подвержены изнашиванию составляющие механической части тягового подвижного состава.

Авторы предлагают новую специализированную классификацию видов изнашивания, действующего именно на механическую часть тягового привода локомотивов. Представлены всевозможные классификации видов изнашивания. На основе существующих классифи-

каций авторами разработана специализированная адапционная схема видов изнашивания, воздействующих на механическую часть тягового привода локомотивов. В классификации уточнены и переработаны молекулярно-механический вид и другие подвиды изнашивания.

Классификация видов изнашивания основывается на физико-механических и химических явлениях в зоне контакта. В статье обосновывается отсутствие существующих подвидов изнашивания в разработанной классификации в связи с минимально возможной вероятностью проявления на элементах

механической части тягового привода локомотивов. Приведены примеры негативного воздействия. Предложена модель подвидов механического изнашивания, описывающая его интенсивность как закономерность быстроты изменения износа за время работы детали. Указано, что механическое изнашивание является преобладающим видом. Описаны основные количественные характеристики процесса изнашивания.

Ключевые слова: трение, изнашивание, классификация, тяговый привод, локомотив.

DOI: 10.20291/2079-0392-2022-1-31-39

Статья рекомендована к публикации В. С. Наговицыным, д-ром техн. наук, гл. научным сотрудником лаборатории «Комплексные системы безопасности» УО АО «ВНИИЖТ». E-mail: nagovitsyn@saut.ru.

Александр Петрович Буйносов, д-р техн. наук, профессор; кафедра «Электрическая тяга» Уральского государственного университета путей сообщения; Екатеринбург, Россия. E-mail: byunosov@mail.ru. ORCID 0000-0002-7622-3118.

Александр Тахирович Шарпов, ассистент; кафедра «Электрическая тяга» Уральского государственного университета путей сообщения; Екатеринбург, Россия. E-mail: sharapov.aliexandr97@mail.ru. ORCID 0000-0002-0967-9713.

The article is recommended for publishing by V. S. Nagovitsyn, Doctor of Technical Sciences, Chief Researcher of the laboratory «Integrated Security Systems» of JSC «VNIIZHT». E-mail: nagovitsyn@saut.ru.

Alexander Petrovich Bujnosov, Doctor of Technical Sciences, Professor; «Electric Traction» Department of the Ural State University of Railway Transport; Yekaterinburg, Russia. E-mail: byunosov@mail.ru. ORCID 0000-0002-7622-3118.

Alexander Takhirovich Sharapov, Assistant; «Electric Traction» Department of the Ural State University of Railway Transport; Yekaterinburg, Russia. E-mail: sharapov.aliexandr97@mail.ru. ORCID 0000-0002-0967-9713.

Abstract

When studying wear, it is necessary to know the classification of its types and subtypes, but this is complicated by the fact that there are no uniform signs by which wear is classified. The components of the mechanical part of the traction rolling stock are particularly susceptible to wear.

The authors propose a new specialized classification of wear types which act specifically on the mechanical part of the traction drive of locomotives. Various classifications of wear types are presented. Based on the

existing classifications, the authors have developed a specialized adaptive scheme of wear types affecting the mechanical part of the traction drive of locomotives. In this classification, the molecular-mechanical type and other subtypes of wear are clarified and revised.

The classification of wear types is based on physical, mechanical and chemical phenomena in the contact zone. The article substantiates the lack of existing subtypes of wear in the developed classification due to the minimum possible probability of manifestation on the

elements of the mechanical part of the traction drive of locomotives. Examples of negative impact are given. A model of subtypes of mechanical wear is proposed, describing its intensity as a regularity of the change rate in wear during the operation of the part. It is indicated that mechanical wear is the predominant type. The main quantitative characteristics of the wear process are described.

Keywords: friction, wear, classification, traction drive, locomotives.

DOI: 10.20291/2079-0392-2022-1-31-39

Любое трение влечет за собой изнашивание контактирующих поверхностей. Ситуация взаимодействия пар трения сильно ухудшается в условиях повышенных нагрузок. Проблеме изнашивания при контакте механических элементов посвящены труды многих ученых, например, [1–6].

Изнашивание трактуется как процесс поверхностного разрушения изделия при трении, изменяющий его форму, массу и размеры. Изнашиванию подвержены все части тягового подвижного состава (ТПС), особо активное изнашивание наблюдается у механической составляющей, элементы которой

представляют собой пары трения [7]. Актуальность исследования обусловлена повышением числа отказов элементов механической части тягового привода, согласно [8]. Структурная схема тягового привода представлена на рис. 1 [9].

До сих пор нет единых признаков, по которым классифицируется изнашивание. Значит, нужна классификация видов изнашивания, воздействующих именно на механическую часть тягового привода локомотивов.

Основной документ, регламентирующий взаимодействие пар трения, – это ГОСТ 27674–88 [10]. Виды изнашивания представлены на рис. 2.



Рис. 1. Структурная схема тягового привода

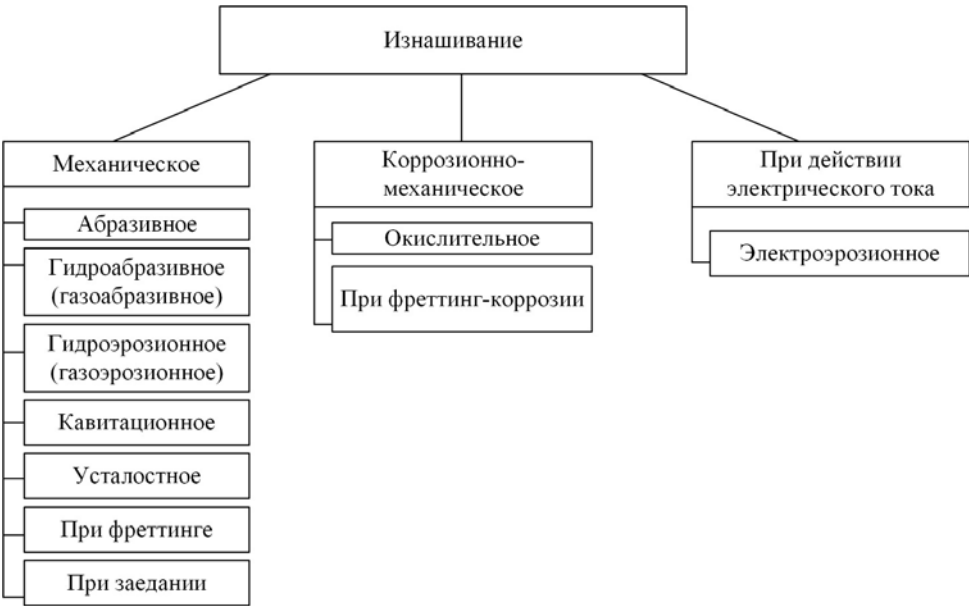


Рис. 2. Виды изнашивания [10]

Ясно, что классификация требует уточнений, если классифицировать процессы изнашивания, происходящие на составляющих элементах механической части тягового привода.

Одним из самых первых классификацию видов изнашивания предложил Ю. А. Бринелль (1921 г.). В ее основу был положен кинематический признак

и наличие прослойки между контактирующими поверхностями.

В 1939 г. А. К. Зайцев объединил виды изнашивания в четыре основных класса [1].

Классификация видов изнашивания, основанная на физико-механических и химических явлениях в контакте, предложена в [2] (рис. 3).



Рис. 3. Виды изнашивания [3]

Основные виды изнашивания на основе физико-химических и механических процессов сгруппированы в [3]. В данной классификации абразивное изнашивание впервые выделено в самостоятельный вид и считалось неизбежным. Б. И. Костецкий полагает, что в различных условиях трения один из видов изнашивания зачастую преобладает над другими, которые, в свою очередь, являются второстепенными.

Он разделил виды разрушения при трении на допустимые (изнашивание есть, но не критичное) и недопустимые (обусловленные повреждаемостью деталей машин из-за изнашивания).

Классификация видов изнашивания, основанная на служебных признаках, предложена в [4]; в зависимости от способа воздействия различают следующие разновидности абразивного изнашивания: при воздействии структурных составляющих одной поверхности на другую, при взаимодействии одной детали с твердыми частицами, шаржирующими поверхность другой, при воздействии абразивных частиц на поверхность деталей, не связанных с сопряженными поверхностями.

Классификация видов разрушения поверхностей предложена в [5], где процесс изнашивания разложен на отдельные элементарные процессы (рис. 4).

Позднее была разработана полная теория трения и изнашивания [11], где

отмечены пять основных видов нарушения фрикционных связей.

Абразивное изнашивание может протекать в виде микрорезания или пластического отеснения. Оно представляет собой переходный процесс между изнашиванием при трении и процессом микродеформирования детали: «Вряд ли можно назвать трением удары зубьев экскаватора о твердый щебень и камни, содержащиеся в грунтах, а возникающие при этом глубокие задиры и царапины – износом при трении» [11].

Классифицировать изнашивание с учетом физико-механических и химических явлений, протекающих в зоне контакта, и топографии поверхности трения после изнашивания предложено в [6] (рис. 5).

Каждая из схем, описывающая виды изнашивания, имеет как сходства, так и различия. Большинство классификаций основываются на механических, физических и химических процессах, протекающих в зоне трения, и примерно одинаково различают виды изнашивания, за исключением отличительных особенностей, вызванных степенью изученности проблемы.

Последние исследования, посвященные классифицированию видов изнашивания, лишь подтверждают [12] и в некоторых случаях уточняют [13] классификации прошлых лет.

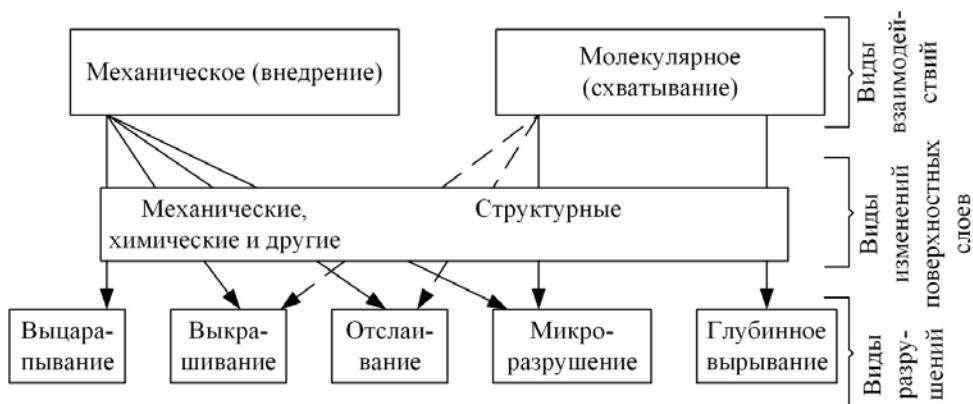


Рис. 4. Схема классификации видов изнашивания по [5]



Рис. 5. Виды изнашивания [6]

Классификация видов изнашивания и эксплуатационных повреждений механизмов и машин дана в [13]. Здесь отдельным видом выделены «эксплуатационные повреждения», подвиды которого лишь более детально повторяют предыдущие виды изнашивания.

Нами предлагается адаптационная схема видов изнашиваний, воздействующих на механическую часть тягового привода локомотивов, которую целесообразно разбить на несколько групп (рис. 6). Были учтены особенности, относящиеся к эксплуатации механической части тягового привода локомотивов, поэтому многие подвиды не включены в предложенную классификацию.

К механической группе изнашивания относятся следующие подвиды:

- абразивное (изнашивание поверхности материала, которое происходит в результате режущего или царапающего действия твердых тел или частиц (взаимодействие бандажа колесной пары с тормозной колодкой высокой твердости)),

- гидроабразивное (изнашивание в результате действия твердых абразивных частиц, увлекаемых потоком жидкости (изнашивание зубчатых колес вследствие попадания пыли (твердого абразива) в жидкий смазочный материал)),

- усталостное (питтинг) изнашивание в результате повторного деформирования микрообъемов поверхностного слоя материала, приводящее к утрате механических свойств и разрушению детали (усталостное выкрашивание рабочих поверхностей зубьев) [14],

- изнашивание из-за пластического деформирования (смятия) обусловливается перемещением поверхностных слоев детали в направлении скольжения под действием значительных нагрузок, ведущих к изменению размеров и форм без потери массы детали (пластическое деформирование бандажей вследствие боксования).

К этой группе не отнесены такие подвиды механического изнашивания, как эрозионное (газо- и гидроэрозионное, кавитационное), газоабразивное,

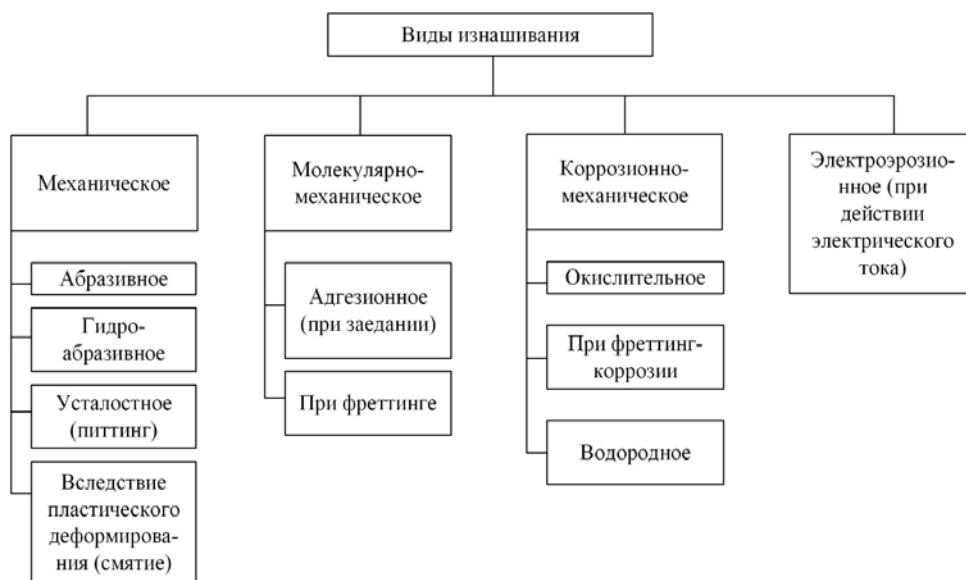


Рис. 6. Адапционная схема видов изнашивания, воздействующих на механическую часть тягового привода локомотивов

изнашивание, связанное с хрупким разрушением из-за минимально вероятности проявления на механической части тягового привода локомотивов.

Молекулярно-механическое изнашивание представлено следующими подвидами:

- адгезионное (при заедании) – изнашивание, происходящее при схватывании металлов в процессе трения, в результате которого возникают прочные металлические связи в зонах контакта поверхностей (при граничной смазке в зубчатых передачах с совместным действием высоких давлений и скоростей),

- при фреттинге (изнашивание контактирующих тел при колебательном относительном микросмещении (взаимодействие шариков в подшипнике)).

Изнашивание в условиях избирательного переноса носит положительный характер, поэтому оно не включено в группу (в данной классификации представлены виды, оказывающие только негативное влияние).

Группу коррозионно-механического изнашивания представляют подвиды:

- окислительное изнашивание (процесс постепенного разрушения окисных пленок, возникающий на поверхностях контакта при взаимодействии с коррозионной средой (в паре трения «вкладыш моторно-осевого подшипника – ось колесной пары»)),

- при фреттинг-коррозии (изнашивание контактирующих тел при малых колебательных перемещениях в условиях воздействия коррозионной среды (в краевых зонах подступичных частей колесных пар)),

- водородное изнашивание – процесс разрушения металла при трении вследствие насыщения водородом его поверхностного слоя (шелушение гребня колесной пары вследствие воздействия водородосодержащих материалов (вода, снег, смазка)).

Отдельную группу в разработанной адапционной схеме видов изнашивания, воздействующих на механическую часть тягового привода локомотивов, представляет электроэрозионное изнашивание (при действии электрического тока), возникающее вследствие воздействия на поверхность детали разрядов

при прохождении электрического тока (искрение щеточно-коллекторного узла тягового электродвигателя) [15].

Перечисленные виды изнашивания, как правило, встречаются редко. Зачастую они комбинируют между собой, но преобладает вид изнашивания, который и определяет долговечность детали, когда остальные виды разрушений являются лишь сопутствующими, незначительно влияющими на работоспособность в целом.

Основные количественные характеристики, характеризующие процесс изнашивания, – интенсивность и скорость.

Интенсивность изнашивания определяется отношением величины износа к пути скольжения:

$$I = \frac{H}{vT}, \quad (1)$$

где H – износ, мм (мкм); v – скорость скольжения мм/ч; T – время, ч.

Скорость изнашивания определяется отношением величины износа к интервалу времени, за который он нарабатан:

$$v_{\text{и}} = \frac{H}{T}. \quad (2)$$

После анализа основных причин отказов механической части тягового привода локомотивов [8] сделан вывод, что преобладает механическое изнашивание (рис. 6). Его подвиды можно представить в виде модели (рис. 7).

Наклонная I характерна для трибосистем, работающих в условиях сухого абразивного трения. Кривая II относится к условиям трения скольжения в присутствии смазочного материала. Кривая III определена условиями, где первостепенную роль занимает пластическая деформация микронеровностей поверхностей трения. Кривая IV характеризует изнашивание при трении качения, когда преобладает механизм контактной усталости материала.

Кривая II является общей моделью изнашивания (впервые предложена В. Лоренцом) и представлена в координатах, где H – износ и T – время работы детали). Участок 1 представляет собой область обкатки (период приработки $T_{\text{пр}}$) и характеризуется высокой скоростью износа. Участок 2 представлен в виде области периода нормальной эксплуатации ($T_{\text{экс}}$) и характеризуется постоянной скоростью износа, а участок 3, на котором скорость

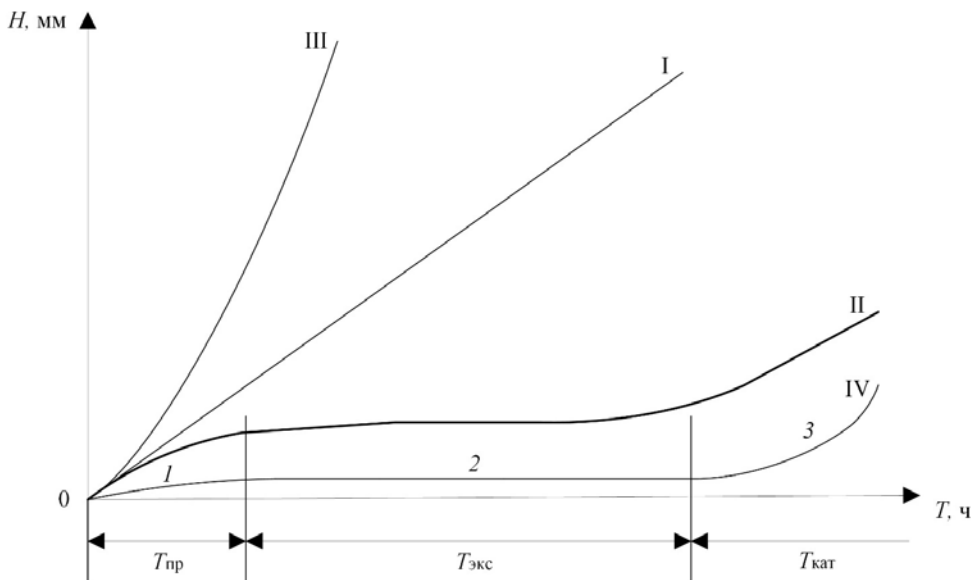


Рис. 7. Модель подвидов механического изнашивания

изнашивания наивысшая, характеризует период катастрофического износа ($T_{\text{кат}}$).

Изнашивание вследствие пластического деформирования (смятия) является быстропотекающим, оно наряду с абразивным изнашиванием отличается повышенной деформируемостью поверхности трения.

Разработанная классификация видов изнашивания адаптирована к механической части тягового привода локомотивов. Особенности относительно классификации видов изнашивания в соответствии с ГОСТ 27674–88 (дата актуализации: 06.04.2015) заключаются в следующем:

– уточнен вид изнашивания – молекулярно-механический,

– уточнены подвиды изнашивания (вследствие пластического деформирования (смятие), водородное),

– переработаны подвиды механического вида изнашивания применительно к механической части тягового привода локомотивов,

– приведены примеры проявления изнашивания применительно к объекту исследования.

Выявлено, что механическое изнашивание оказывает наибольшее влияние на элементы механической части тягового привода локомотивов. ■

Литература

1. Зайцев А. К. Основы учения о трении, износе и смазке машин. М.-Л. : Машгиз, 1947. 256 с.
2. Burwell J. T., Strang C. D. Metallic Wear, Proc. Roy. Soc. Ser. A., 1952, Vol. 212, pp. 470–477.
3. Костецкий Б. И. Трение, смазка и износ в машинах. Киев : Техника, 1970. 396 с.
4. Хрушев М. М., Бабичев М. А. Исследование изнашивания металлов. М. : Изд-во АН СССР, 1960. 315 с.
5. Шевцова Е. М., Крагельский И. В. Классификация видов разрушения поверхности деталей машин в условиях сухого и граничного трения // Трение и износ в машинах. М. : Изд-во АН СССР, 1953. Вып. 8. С. 18–38.
6. Гаркунов Д. Н. Триботехника. М. : Машиностроение, 1985. 424 с.
7. Буйносов А. П., Шарапов А. Т. Влияние износа элементов тяговой передачи на долговечность привода грузовых электровозов // Транспорт Урала. 2021. № 1 (68). С. 61–63. ISSN 1815-9400.
8. Буйносов А. П., Юдт Е. С., Шарапов А. Т. Анализ основных причин отказов тяговых передач электровозов // Научно-технический вестник Поволжья. 2020. № 3. С. 14–17. ISSN 2079-5920.
9. Бирюков И. В., Беляев А. И., Рыбников Е. К. Тяговые передачи электроподвижного состава железных дорог. М. : Транспорт, 1986. 256 с.
10. ГОСТ 27674–88 (дата актуализации текста: 06.04.2015). Трение, изнашивание и смазка. Термины и определения. М. : Изд-во стандартов, 1992. 21 с.
11. Волков Ю. В., Волкова З. А., Кайгородцев Л. М. Долговечность машин, работающих в абразивной среде. М. : Машиностроение, 1964. 116 с.
12. Большакова М. Ю. Исследование влияния состава и структуры упрочненного поверхностного слоя на долговечность тяжело нагруженных зубчатых колес : специальность 05.16.09 «Материаловедение (по отраслям)» : диссертация на соискание ученой степени кандидата технических наук / Большакова Марина Юрьевна; Российский гос. профессионально-педагогический ун-т. Екатеринбург, 2011. 152 с.
13. Гаркунов Д. Н., Мельников Э. Л., Гаврилюк В. С. Триботехника. М. : КНОРУС, 2015. 408 с. ISBN 978-5-406-02686-1.
14. Буйносов А. П., Шарапов А. Т., Чебаков С. А. Проверка качества зацепления тяговой зубчатой передачи электровоза 2ЭС6 // Вестник УрГУПС. 2020. № 4 (48). С. 13–20. ISSN 2079-0392.
15. Сулейманов Р. Я., Дурандин М. Г. Методы снижения дугообразования на коллекторе тяговых электродвигателей // Вестник УрГУПС. 2018. № 2 (38). С. 35–41. ISSN 2079-0392.

References

1. Zajtsev A. K. Fundamentals of the doctrine of friction, wear and lubrication of machines. [Osnovy ucheniya o trenii, iznose i smazke mashin] M.-L. : Mashgiz, 1947. 256 p.
2. Burwell J. T., String C. D. Metallic Wear, Proc. Roy. Soc. Ser. A., 1952, Vol. 212, pp. 470–477.
3. Kostetsky B. I. Friction, lubrication and wear in machines. [Trenie, smazka i iznos v mashinakh] Kiev : Technika, 1970. 396 p.
4. Khrushhev M. M., Babichev M. A. Study of metal wear. [Issledovanie iznashivaniya metallov] M. : Publishing House of the USSR Academy of Sciences, 1960. 315 p.
5. Shevtsova E. M., Kragelsky I. V. Classification of types of destruction of the surface of machine parts in conditions of dry and boundary friction // Friction and wear in machines. [Klassifikatsiya vidov razrusheniya poverkhnosti detalej mashin v usloviyakh sukhogo i granichnogo treniya // Trenie i iznos v mashinakh.] Moscow : Publishing House of the USSR Academy of Sciences, 1953. Issue 8. Pp. 18–38.
6. Garkunov D. N. Tribotechnika. [Tribotekhnika] M. : Mechanical engineering, 1985. 424 p.
7. Bujnosov A. P., Sharapov A. T. The influence of wear of traction transmission elements on the durability of the drive of electric freight locomotives // Transport of the Urals. [Vliyanie iznosa ehlementov tyagovoj peredachi na dolgovechnost' privoda gruzovykh ehlektrovozov // Transport Urala.] 2021. № 1 (68). Pp. 61–63. ISSN 1815-9400.
8. Bujnosov A. P., Dt E. S., Sharapov A. T. Analysis of the main causes of failures of traction gears of electric locomotives // Scientific and Technical Bulletin of the Volga region. [Analiz osnovnykh prichin otkazov tyagovykh peredach ehlektrovozov // Nauchno-tehnicheskij vestnik Povolzh'ya.] 2020. № 3. Pp. 14–17. ISSN 2079-5920.
9. Biryukov I. V., Belyaev A. I., Rybnikov E. K. Traction transmissions of electric rolling stock of railways. [Tyagovye peredachi ehlektropodvizhnogo sostava zheleznykh dorog.] M. : Transport, 1986. 256 p.
10. GOST 27674-88 (date of text update: 06.04.2015). Friction, wear and lubrication. Terms and definitions. [GOST 27674–88 (data aktualizatsii teksta: 06.04.2015). Trenie, iznashivanie i smazka. Terminy i opredeleniya.] Moscow : Publishing House of Standards, 1992. 21 p.
11. Volkov Yu., Volkova Z. A., L. M. Kajgorodtsev. Durability of machines operating in abrasive environment. [Dolgovechnost' mashin, rabotayushhikh v abrazivnoj srede.] M. : Mashinostroenie, 1964. 116 p.
12. Bolshakov M. Y. A study of influence of the composition and structure of the hardened surface layer on durability of heavy-duty gears : specialty 05.16.09 «Materials (by industry)» [Issledovanie vliyaniya sostava i struktury uprochnennogo poverkhnostnogo sloya na dolgovechnost' tyazhelonagruzhennykh zubchatykh koles : spetsial'nost' 05.16.09 «Materialovedenie (po otraslyam)»]: dissertation for a scientific degree of candidate of technical sciences / Bolshakova Marina Y.; Russian State Vocational Pedagogical University. – Yekaterinburg, 2011. 152 p.
13. Garkunov D. N., Melnikov, E. L., Gavriluk, V. S., Tribology. [Tribotekhnika] M. : KNORUS, 2015. 408 p. ISBN 978-5-406-02686-1.
14. Bujnosov A. P., Sharapov A. T., Dace S. A. Checking the quality of 2ES6 electric locomotive traction gear engagement. [Proverka kachestva zatsepleniya tyagovoj zubchatoj peredachi ehlektrovoza 2EHS6 // Vestnik UrGUPS.] // Herald of USURT. 2020. № 4 (48). Pp. 13–20. ISSN 2079-0392.
15. Sulejmanov R. J., G. M. Durandin. Methods to reduce arcing at the collector traction motors // Herald of USURT. [Metody snizheniya dugoobrazovaniya na kollektore tyagovykh ehlektrodvigatelej // Vestnik UrGUPS.] 2018. № 2 (38). Pp. 35–41. ISSN 2079-0392.

Статья сдана в редакцию 10 января 2022 года

УДК 629.4.016

А. С. Анисимов, В. А. Минаков, В. О. Носков

Оценка влияния работы тепловоза на холостом ходу на износ деталей дизеля

UDC 629.4.016

A. S. Anisimov, V. A. Minakov, V. O. Noskov

Assessment of the effect of the diesel locomotive idling on the wear of diesel parts

Аннотация

Простой маневровых тепловозов в режиме ожидания работы составляет до 50 % времени рабочей смены. При нахождении тепловоза в режиме простоя в холодное время года необходимо поддерживать дизель в «горячем» состоянии, т.е. осуществляется работа дизеля на холостом ходу на различных позициях контроллера машиниста. В статье приведены исследования влияния работы тепловоза в режиме холостого хода на износ лимитирующих деталей дизеля, а именно, на цилиндрические втулки дизеля локомотива. Приведена методика расчета величины износа деталей в зависимости от времени работы дизеля на каждой позиции контроллера машиниста. Представленная математическая модель разработана с использованием моделей машинного обучения, с инструментами среднеквадратического отклонения и метода простой итерации. Результатами исследования является доказательство того, что до 10 % износа ЦВ дизеля приходится на режим самопрогрева, при работе локомотива на холостом ходу. Представленные результаты очередной раз доказывают необходимость применения альтернативных способов самопрогреву дизеля, когда используются внешние источники тепла для поддержания локомотива в «горячем» состоянии.

Ключевые слова: холостой ход, тепловоз, износ деталей дизеля, цилиндрическая группа, режимы работы, ресурс деталей.

DOI: 10.20291/2079-0392-2022-1-40-45

Abstract

The idle time of shunting locomotives in standby mode is up to 50% of the working shift time. When the locomotive is idling in the cold season, it is necessary to maintain the diesel engine in the «hot» state, i.e. the diesel engine is idling, at different positions of the driver's controller. The article presents research of the effect of the diesel locomotive in idle mode on the wear of the limiting parts of the diesel engine, namely, on the cylinder bushings of the locomotive. The method of calculating the amount of wear of parts depending on the operating time of the diesel engine at each position of the driver's controller is given. The presented mathematical model is developed using machine learning models, standard deviation tools and a simple iterative method. The results of the research prove that up to 10% of the wear of the diesel engine is accounted for the self-heating mode when the locomotive is idling. The presented results once again substantiate the need to use alternative methods of diesel self-heating, when external heat sources are used to keep the locomotive in a «hot» state.

Keywords: idling, diesel locomotive, wear of diesel engine parts, cylinder piston group, operating modes, component lifecycle.

DOI: 10.20291/2079-0392-2022-1-40-45

Статья рекомендована к публикации А. П. Буйновым, д-ром техн. наук, профессором Уральского государственного университета путей сообщения. E-mail: ABuinov@usurt.ru.

Александр Сергеевич Анисимов, канд. техн. наук, доцент; кафедра «Локомотивы» Омского государственного университета путей сообщения; г. Омск, Россия. E-mail: anisimovas1971@mail.ru. ORCID 0000-0003-4030-3746.

Виталий Анатольевич Минаков, канд. техн. наук, доцент; кафедра «Локомотивы» Омского государственного университета путей сообщения; Омск, Россия. E-mail: vitalya_13@mail.ru. ORCID 0000-0002-6951-8399.

Виталий Олегович Носков, старший преподаватель; кафедра «Локомотивы» Омского государственного университета путей сообщения; Омск, Россия. E-mail: vitalik_noskov@mail.ru. ORCID 0000-0001-9987-6827.

The article is recommended for publishing by A. P. Bujnov, Doctor of Technical Sciences, Professor of the Ural State University of Railway Transport. E-mail: ABuinov@usurt.ru.

Alexander Sergejevich Anisimov, Candidate of Technical Sciences, Associate Professor; «Locomotives» Department of Omsk State Transport University; Omsk, Russia. E-mail: anisimovas1971@mail.ru. ORCID 0000-0003-4030-3746.

Vitalij Anatol'evich Minakov, Candidate of Technical Sciences, Associate Professor; «Locomotives» Department of Omsk State Transport University; Omsk, Russia. E-mail: vitalya_13@mail.ru. ORCID 0000-0002-6951-8399.

Vitalij Olegovich Noskov, Senior Lecturer; «Locomotives» Department of Omsk State Transport University; Omsk, Russia. E-mail: vitalik_noskov@mail.ru. ORCID 0000-0001-9987-6827.

Маневровые тепловозы следует рассматривать как самостоятельный класс машин со своей спецификой использования. Маневровые тепловозы – главная тяговая единица для работы на станционных путях, но большую часть времени они не задействованы в маневровой и хозяйственной работах. На промышленных предприятиях наблюдается такая же ситуация.

Учитывая особенности большинства регионов страны, где до шести месяцев в году среднемесячная температура наружного воздуха принимает отрицательные значения, простой локомотива возможен только в режиме «горячего» простоя, когда дизеля локомотива работает в режиме холостого хода [1, 2].

Анализ показателей режимов работы маневровых тепловозов на сети железных дорог [1] указывает на существенное количество времени простоя локомотивов на холостом ходу (рис. 1).

Расход топлива на холостом ходу по отношению к суммарному расходу топлива на тепловозную тягу составляет 13 %, в том числе расход топлива парком грузовых тепловозов – 4,5, пассажирских – 1,5, парком маневровых тепловозов – 7.

Помимо топливно-энергетических затрат на «горячий» простой локомотивов уменьшается и ресурс деталей цилиндропоршневой группы (ЦПГ). Принято

считать, что износ деталей ЦПГ при работе дизеля на холостом ходу незначителен. Эффективность работы локомотивов на станции в режиме холостого хода превышает 2000 ч за год, а это существенно для моторесурса дизеля локомотива.

Определить величину износа деталей ЦПГ в режиме холостого хода очень сложно, так как износ – процесс постоянный, который нельзя исключить, но можно снизить его интенсивность.

Износ цилиндропоршневой группы дизеля определяют при эксплуатации опытного двигателя [3], измеряют среднее эффективное давление газов за цикл P_e , температуру отработавших газов на выходе из цилиндра t , максимальное давление сгорания P_z и рассчитывают среднюю скорость перемещения поршня c , с учетом которой оценивают износ как

$$\Pi = P_e t / P_z c. \quad (1)$$

Сложность использования выражения (1) для режима холостого хода работы дизеля тепловоза заключается в том, что эффективная мощность и среднее эффективное давление для заданного режима равны нулю [4, 5].

Для оценки влияния работы дизеля на холостом ходу на износ цилиндровой втулки разработана математическая

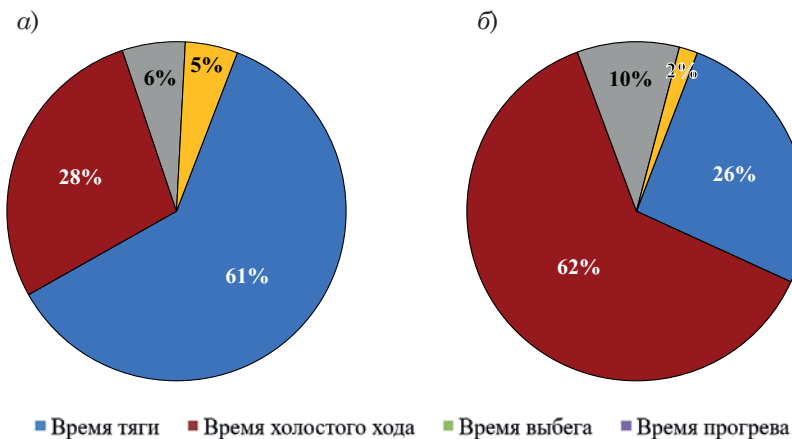


Рис. 1. Распределение времени работы магистральных (грузовых) (а) и маневровых (б) тепловозов на сети железных дорог РФ

модель, основанная на базисных элементах машинного обучения, позволяющая определить среднюю величину износа цилиндровой втулки (ЦВ) при работе на каждой позиции контроллера машиниста (КМ) тепловоза.

В качестве объекта исследований выбран тепловозный дизельный двигатель 1ПД4Д маневрового тепловоза ТЭМ18ДМ.

Математическая модель оценки влияния работы тепловоза на холостом ходу на износ деталей дизеля заключается в решении задачи генезиса, то есть от итогового результата к началу [6]. Составляющие модели:

величина суммарного износа ЦВ Y , мм;

частота вращения коленчатого вала дизеля $N = [n_0, n_1, n_2, \dots, n_8]$, мин^{-1} ;

время работы дизеля по позициям контроллера машиниста $X = [x_0, x_1, x_2, \dots, x_8]$, с;

весовые коэффициенты, характеризующие интенсивность износа, $W = [w_0, w_1, w_2, \dots, w_8]$.

Структура математической модели представлена на рис. 2.

Задача моделирования заключается в настройке весовых коэффициентов в зависимости от входных значений – показателей работы дизеля и выходного значения – величины износа ЦВ. Выходными данными модели служит произведение входных параметров с весовыми коэффициентами [7, 8]:

$$Y_i = \sum_{i=1}^n (x_i n_i w_i) = x_0 n_0 w_0 + x_1 n_1 w_1 + \dots + x_8 n_8 w_8. \quad (2)$$

В качестве инструмента анализа ошибок принято среднеквадратическое отклонение [8]:

$$\text{RSMD} = \sqrt{\frac{\sum_{i=1}^N (Y_i - D)^2}{N}}, \quad (3)$$

где D – истинное значение величины износа; N – количество выборок, исследуемых дизелей локомотивов.

Сложность решения представленной математической модели заключается в получении весовых коэффициентов на

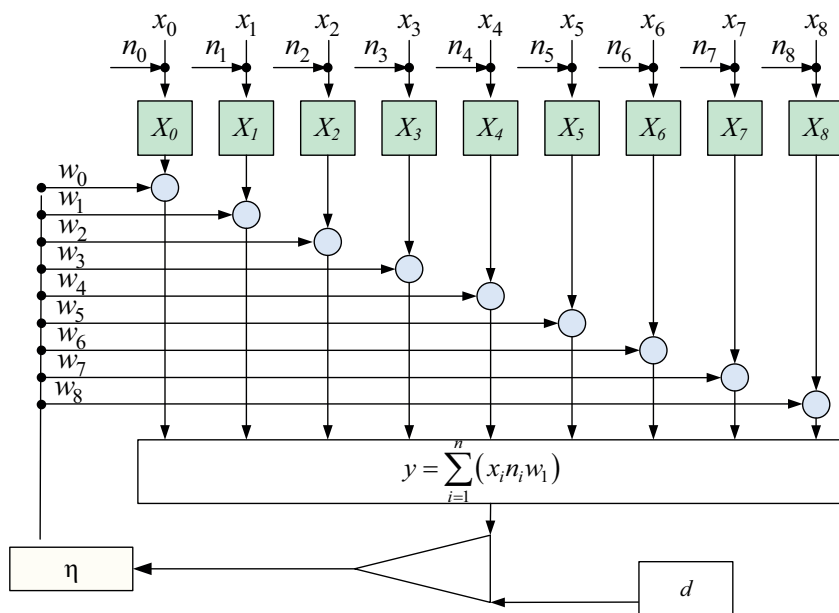


Рис. 2. Структура математической модели износа ЦВ дизеля

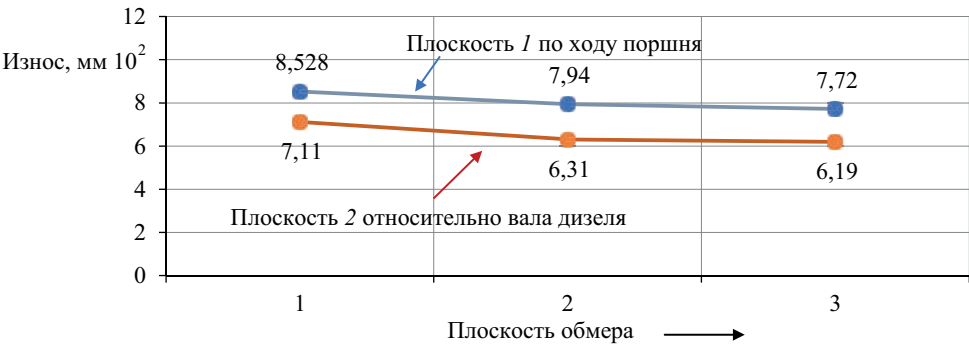


Рис. 3. Усредненные показатели износа цилиндрических втулок

начальном этапе расчета, так как он характеризует интенсивность износа. Величина весовых коэффициентов зависит от температуры, граничных условий контакта «втулка – поршневые кольца», скорости перемещения поршня в цилиндре и др. Такого рода коэффициенты получают в лабораторных условиях при выполнении ряда экспериментов, что, в свою очередь, будет иметь некоторую погрешность из-за особенностей работы.

По результатам исследования интенсивности износа поверхности ЦВ дизелей типа 1ПД4Д получены усредненные показатели (рис. 3) для десяти исследуемых дизелей. Исследования проводились по двум взаимно перпендикулярным плоскостям ЦВ по рекомендациям завода-изготовителя [9].

Величина износа в плоскости 1 превышает величину износа в плоскости 2, это объясняется большим давлением поршня на внутреннюю поверхность ЦВ при прямолинейном поступательно-вращательном движении. Максимальный износ ЦВ формируется в верхней мертвой точки, в зоне переключки поршня, в области с высокой температурой и более «сухим» трением и составляет $70 \cdot 10^{-2}$ мм.

Согласно указанной на рис. 2 математической модели износа ЦВ дизеля выполнены расчеты в программно-аппаратной среде Python 3.0, полученные результаты расчетов степени износа на каждой из позиций контроллера машиниста представлены в таблице.

Результаты расчетов степени износа по каждой из позиций контроллера машиниста тепловоза

Параметр		Позиция контроллера машиниста								
		0	1	2	3	4	5	6	7	8
Отношение времени работы дизеля от позиции контроллера машиниста, x_i		75,74	10,05	6,15	4,36	2,09	1,1	0,29	0,11	0,11
Средняя частота вращения коленчатого вала, n_i		300	310	315	330	400	480	570	650	750
Весовой коэффициент	w_i	58,24	40,01	58,43	55,4	72,3	85,34	85,4	88,05	95,44
	Δw_i	60,19	45,93	56,35	58,4	76,77	81,41	85,89	90,87	98,38
Отношение $\Delta w / \sum_{i=1}^9 (w_i)$		9,2	7,02	9,61	8,93	11,74	12,44	13,13	13,89	15,04
Предел сходимости		0,001								
Количество итераций		423								

Анализ результатов расчета показывает, что до 9,2 % износа цилиндрических втулок приходится на работу дизеля в режиме холостого хода. С учетом среднего значения износа ЦВ $8,062 \cdot 10^{-2}$ мм износ в режиме холостого хода составил $0,7417 \cdot 10^{-2}$ мм.

К положительному эффекту применения данной модели можно отнести возможность оценки износа ЦВ на основании итогового результата взамен расчетных прогнозируемых значений.

Кроме этого, снижение времени работы дизеля тепловоза при самопрогреве на холостом ходу позволит избежать износ ЦВ дизеля до 10 %. Альтернативой самопрогреву служит применение внешних источников тепла для поддержания локомотива в «горячем» состоянии [10–12].

Разработанная математическая модель позволяет оценить величину износа деталей дизеля при работе на каждой позиции машиниста. ■

Литература

1. Белоглазов А. К., Носков В. О., Чулков А. В. Влияние температуры окружающей среды на работу системы охлаждения тепловоза и его агрегатов // Известия Транссиба. 2015. № 4 (20). С. 11–17. ISSN 2220-4245.
2. Анисимов А. С., Белоглазова Н. А., Носков В. О. Износ деталей дизеля тепловоза при работе на холостом ходу // Инновационные проекты и технологии в образовании, промышленности и на транспорте : М-лы научн. конф., посв. Дню российской науки. – Омск. 2021. С. 154–60. ISBN 978-5-94941-272-5.
3. Семенов В. Г. Теплонапряженность и долговечность цилиндропоршневой группы судовых дизелей. М. : Транспорт, 1977. 128с.
4. Малоземов Н. А., Тихонов Н. А. Исследование износа деталей поршневой группы тепловозов в эксплуатации // Сборник научных статей : материалы научной конференции, посвященной Дню Российской науки. – Ростов-на-Дону. 2021. С. 154–160.
5. Овчаренко С. М., Минаков В. А. Теоретическое и экспериментальное исследование закономерностей изнашивания деталей дизеля типа Д49 // Известия Транссиба. 2013. № 3 (15). С. 55–61. ISSN 2220-4245.
6. Ивченко Г. И., Медведев И. Ю. Введение в математическую статистику. М. : ЛКИ, 2010. 310 с.
7. Миллер Б. М., Панков А. Р. Теория случайных процессов в примерах и задачах. – М. : Физматлит, 2002. 320 с.
8. Джугли А. Библиотека Keras – инструмент глубокого обучения. М. : ДМК Пресс, 2018. 294 с.
9. Минаков В. А. Совершенствование технологии диагностирования тепловозного дизеля по результатам контроля содержания продуктов износа в моторном масле : дис. ... канд. техн. наук: 05.22.07 : утв. 23.04.19. Омск., 2018. 215 с.
10. Анисимов, А. С, Носков В. О., Фоменко В. К. Сохранение моторесурса тепловозного дизельного двигателя // Теория и практика успеха : сб. научных статей. Омск. 2015. С. 171–175.
11. Четвергов В. А., Балагин Д. В., Балагин О. В. Анализ факторов, определяющих надежность тепловозов на различных стадиях жизненного цикла // Известия Транссиба. 2014. № 1 (20). С. 72–79. ISSN 2220-4245.
12. Овчаренко С. М., Минаков В. А., Ведрученко В. Р. Использование нейронных сетей при решении задачи идентификации катастрофического износа деталей дизеля // Известия Транссиба. 2014. № 4 (20). С. 40–46. ISSN 2220-4245.

References

1. Beloglazov, A. K., Noskov V. O., Chulkov A. V. The influence of ambient temperature on operation of the cooling system of a locomotive and its units // News bulletin of the Transsib. [Vliyaniye temperatury okruzhayushhej sredy na rabotu sistemy okhlazhdeniya teplovoza i ego agregatov // Izvestiya Transsiba.] 2015. № 4 (20). Pp. 11–17. ISSN 2220-4245.
2. Anisimov A. S., Beloglazova N. A., Noskov V. O. Wear of diesel locomotive parts when idling // Innovative projects and technologies in education, industry and transport : Materials of scientific conf., dedicated to The Day of Russian Science. [Iznos detalej dizelya teplovoza

- pri rabote na kholostom khodu // Innovatsionnye proekty i tekhnologii v obrazovanii, promyshlennosti i na transporte : M-ly nauchn. konf., posv. Dnyu rossijskoj nauki.] – Omsk. 2021. Pp. 154–60. ISBN 978-5-94941-272-5.
3. Semenov V. G. Heat stress and durability of the cylinder piston group of marine diesel engines. M. : Transport, [Teplonapryazhennost' i dolgovechnost' tsilindroporshnevoj grupy sudovykh dizelej. M. : Transport]. 1977. 128 p.
 4. Malozemov N. A., Tikhonov N. A. Investigation of wear of parts of the piston group of diesel locomotives in operation // Collection of scientific articles: materials of the scientific conference dedicated to the Day of Russian Science. Rostov-on-Don. [Issledovanie iznosa detalej porshnevoj grupy teplovozov v ehkspluatatsii // Sbornik nauchnykh statej: materialy nauchnoj konferentsii, posvyashhennoj Dnyu Rossijskoj nauki. – Rostov-na-Donu.] 2021. Pp. 154–160.
 5. Ovcharenko S. M., Minakov V. A. Theoretical and experimental study of the wear patterns of diesel parts of type D49 // News bulletin of the Transsib. [Teoreticheskoe i ehksperimental'noe issledovanie zakonomernostej iznashivaniya detalej dizelya tipa D49 // Izvestiya Transsiba.] 2013. № 3 (15). Pp. 55–61. ISSN 2220-4245.
 6. Ivchenko G. I., Medvedev I. Yu. Introduction to mathematical statistics. Moscow: LKI, [Vvedenie v matematicheskuyu statistiku. M. : LKI] 2010. 310 p.
 7. Miller B. M., Pankov A. R. Theory of random processes in examples and problems. – M. : Fizmatlit, [Teoriya sluchajnykh protsessov v primerakh i zadachakh. – M. : Fizmatlit] 2002. 320 p.
 8. Julie A. Keras Library – a deep learning tool. M. : DMK Press, [Biblioteka Keras – instrument glubokogo obucheniya. M. : DMK Press] 2018. 294 p.
 9. Minakov V. A. Improving the technology of diesel locomotive diagnostics based on the results of monitoring the content of wear products in engine oil : dis. ... Candidate of Technical Sciences: 05.22.07 : approved 23.04.19. [Sovershenstvovanie tekhnologii diagnostirovaniya teplovoznogo dizelya po rezul'tatam kontrolya sodержaniya produktov iznosa v motornom masle : dis. ... kand. tekhn. nauk: 05.22.07 : utv. 23.04.19.] Omsk, 2018. 215 p.
 10. Anisimov, A. S., Noskov V. O., Fomenko V. K. Preservation of the motor resource of a diesel locomotive engine // Theory and practice of success : collection of scientific articles. [Sokhranenie motoresursa teplovoznogo dizel'nogo dvigatelya // Teoriya i praktika uspekha : sb. nauchnykh statej.] Omsk. 2015. Pp. 171–175.
 11. Chetvergov V. A., Balagin D. V., Balagin O. V. Analysis of factors determining the reliability of locomotives at various stages of lifecycle // News bulletin of the Transsib. [Analiz faktorov, opredelyayushhih nadezhnost' teplovozov na razlichnykh stadiyakh zhiznennogo tsikla // Izvestiya Transsiba.] 2014. № 1 (20). Pp. 72–79. ISSN 2220-4245.
 12. Ovcharenko S. M., Minakov V. A., Vedruchenko V. R. The use of neural networks in solving the problem of identifying catastrophic wear of diesel parts // News of the Transsib. [Ispol'zovanie nejronnykh setej pri reshenii zadachi identifikatsii katastroficheskogo iznosa detalej dizelya // Izvestiya Transsiba.] 2014. № 4 (20). Pp. 40–46. ISSN 2220-4245.

Статья сдана в редакцию 1 декабря 2021 года

Управление в технических системах

УДК 658.5

А. С. Ильиных, Э. С. Бондарев

Разработка подхода к созданию автоматизированной системы управления процессом рельсошлифования

UDC 658.5

A. S. Il'inykh, E. S. Bondarev

Development of an approach to creation of an automated control system for the rail grinding process

Аннотация

Во все времена организованная на должном уровне железнодорожная сеть служила гарантом развития других отраслей государства. В РФ с каждым годом увеличиваются грузооборот и пассажирооборот на железнодорожном транспорте. Поэтому необходимо подстраиваться под современные реалии и направлять усилия и финансы на модернизацию системы по содержанию и ремонту объектов инфраструктуры.

В процессе эксплуатации железнодорожного пути неизбежно возникают различ-

ные дефекты рельсов (выкрашивание металла, внутренние продольные и поперечные трещины, износ поперечного и продольного профиля и пр.). Для устранения подобных дефектов применяется технология рельсошлифования.

В ОАО «РЖД» для учета и анализа объектов инфраструктуры применяют единую корпоративную автоматизированную систему управления инфраструктурой (ЕКАСУИ). К сожалению, в ЕКАСУИ не заложен функционал решения таких узконаправленных задач, как организация и пла-

нирование процесса шлифования рельсов. В качестве решения сложившейся проблемы предлагается разработать автоматизированную систему управления рельсошлифованием (АСУР), которая будет интегрирована в ЕКАСУИ. По результатам проведенного теоретического исследования предлагается подход к созданию автоматизированной системы управления рельсошлифованием (АСУР) с возможностью интеграции в ЕКАСУИ. Назначение АСУР должно заключаться в качественном и своевременном принятии технических и экономиче-

Статья рекомендована к публикации В. М. Сай, д-ром техн. наук, профессором Уральского государственного университета путей сообщения. E-mail: VSay@usurt.ru.

Андрей Степанович Ильиных, д-р техн. наук, доцент; кафедра «Технология транспортного машиностроения и эксплуатация машин» Сибирского государственного университета путей сообщения; г. Новосибирск, Россия. E-mail: asi@stu.ru. ORCID-0000-0002-4234-6216.

Эдуард Сергеевич Бондарев, инженер-конструктор ООО «НЗКХ-Инструмент», аспирант; кафедра «Технология транспортного машиностроения и эксплуатация машин» Сибирского государственного университета путей сообщения; г. Новосибирск, Россия. E-mail: bondareff.edik@yandex.ru. ORCID-0000-0003-1848-8510.

The article is recommended for publishing by V. M. Sai, Doctor of Technical Sciences, Professor of the Ural State University of Railway Transport. E-mail: VSay@usurt.ru.

Andrey Stepanovich Il'inykh, Doctor of Technical Sciences, Associate Professor; «Technology of Transport Engineering and Operation of Machinery» Department of the Siberian State University of Railway Transport; Novosibirsk, Russia. E-mail: asi@stu.ru. ORCID-0000-0002-4234-6216.

Eduard Sergeyevich Bondarev, Design Engineer of «NZKH-Tool» LLC, postgraduate student; «Technology of Transport Engineering and Operation of Machinery» Department of the Siberian State University of Railway Transport; Novosibirsk, Russia. E-mail: bondareff.edik@yandex.ru. ORCID-0000-0003-1848-8510.

ских решений при планировании работ по шлифованию рельсов в условиях железнодорожного пути. В основу системы будет заложен принципиально новый подход, позволяющий выполнить своевременное шлифование рельсов с минимальными затратами и обеспечить повышение эффективности эксплуатации, содержания и ремонта железнодорожного пути. Заявленные требования планируется достичь применением новой методики планирования работ. С этой целью разработана модель динамического программирования. Для ее функционирования значения дефектов разделены на три степени важности, составлены матрицы переходных вероятностей, выполнено ранжирование дефектов, а также алгоритм выбора приоритетности участка по шлифованию рельсов

Ключевые слова: дефекты рельсов, шлифование рельсов, планирование работ, автоматизированная система, организационная структура.

DOI: 10.20291/2079-0392-2022-1-46-56

Abstract

At all times, a properly organized railway network

has served as a guarantor of the development of other branches of the state. In the Russian Federation, freight and passenger turnover on rail transport are increasing every year. Therefore, it is necessary to adapt to modern realities and direct efforts and finances to modernize the system for the maintenance and repair of infrastructure facilities.

During the operation of the railway track, various rail defects inevitably arise (metal staining, internal longitudinal and transverse cracks, wear of the transverse and longitudinal profile, etc.). In order to eliminate such defects, the rail grinding technology is used.

JSC «Russian Railways» use a Unified Corporate Automated Infrastructure Management System (UCAIMS) for accounting and analysis of infrastructure facilities. Unfortunately, UCAIMS does not have the functionality for solving such narrow-focused tasks as organizing and planning the rail grinding process. As a solution to the current problem, it is proposed to develop an automated rail grinding control system (ARGCS), which will be integrated into UCAIMS. Based on the results of the theoretical study, an ap-

proach to the creation of an automated rail grinding control system (ARGCS) with the possibility of integration into UCAIMS is proposed.

The purpose of ARGCS should be in making high-quality and timely technical and economic decisions during planning work on grinding rails in the railway track conditions. The system will be based on a fundamentally new approach that enables performing timely grinding of rails with minimum costs and ensuring an increase in the efficiency of operation, maintenance and repair of the railway track. The stated requirements are planned to be achieved using a new work planning procedures. For this purpose, a dynamic programming model has been developed. For its functioning, the values of defects are divided into three degrees of importance, transition probability matrices are compiled, defects are ranked, as well as an algorithm for choosing the priority of the rail grinding site.

Keywords: rail defects, rail grinding, work planning, automated system, organizational structure.

DOI: 10.20291/2079-0392-2022-1-46-56

Для продления ресурса рельсов на сети железных дорог России применяют технологию их шлифования с применением рельсошлифовальных поездов (РШП) в условиях железнодорожного пути. Планирование и организация работ по шлифованию рельсов происходят по нормативно-технической документации (НТД), которая определяет организационную структуру производственного процесса шлифования рельсов. Несовершенство действующего подхода как при назначении технологических воздействий,

так и при организации и выполнении работ по шлифованию рельсов представлено в [1].

В путевом хозяйстве ОАО «РЖД» повсеместно внедряется единая корпоративная автоматизированная система управления инфраструктурой (ЕКАСУИ), представляющая собой комплекс, направленный на сбор и обработку информации в автоматизированном режиме для обеспечения эффективного функционирования объектов инфраструктуры ОАО «РЖД». Основная задача, решаемая системой, – это

повышение эффективности существующих бизнес-процессов в хозяйствах инфраструктуры, переход от планово-предупредительного метода обслуживания к обслуживанию по фактическому состоянию и повышение безопасности движения поездов за счет повышения коэффициента готовности инфраструктуры [2]. Но функционал ЕКАСУИ не позволяет решить узконаправленные задачи процесса рельсошлифования, т. к. в ней нет необходимых данных о фактическом состоянии рельсов для формирования технологического процесса шлифования, в ней после шлифования нельзя актуализировать данные о дефектности рельсов, отсутствует контроль за периодичностью технологических воздействий на рельсы.

На основе анализа мирового опыта эксплуатации РШП [3–5] установлено, что для эффективной организации процесса рельсошлифования необходима реализация следующих задач.

1. Сбор, систематизация и анализ всей доступной информации о техническом состоянии рельсов.

2. Обеспечение взаимодействия подразделений и централизация хранения

электронной технической документации жизненных циклов рельсов.

3. Выполнение технико-экономических расчетов в автоматизированном режиме.

4. Осуществление планирования работ с формированием план-графика.

5. Адаптивность утверждаемых адресных планов шлифования.

Эти задачи могут быть решены в рамках создания дополнительной структурной единицы – автоматизированной системы управления рельсошлифованием (АСУР).

Современные автоматизированные системы управления способствуют повышению производительности труда, конкурентоспособности, рентабельности и пр. С помощью прогрессивных технологий можно усовершенствовать производственный процесс без потери качества выполняемых работ. Принципиальная схема АСУР, учитывающая действующую НТД ОАО «РЖД» [6–10], представлена на рис. 1.

Комплексно АСУР состоит из базы данных (БД) и блоков первичной обработки исходной информации (БПОИИ) и анализа (БА), статистических накоплений (БСН), обработки результатов

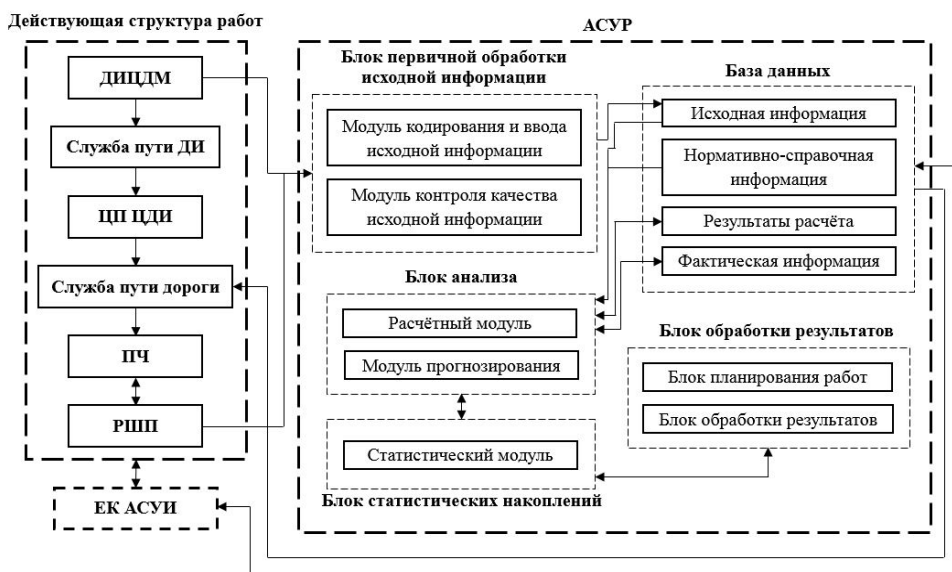


Рис. 1. Структурная схема работы АСУР

(БОР). Информационные потоки показаны на схеме линиями. Направление исходящей информации указано стрелками.

Результаты измерений, проведенных Центром диагностики и мониторинга устройств инфраструктуры (ДИЦДМ), передаются в АСУР, в БПОИИ, который, в свою очередь, состоит из модулей кодирования и ввода ИИ, а также контроля качества ИИ.

Из БПОИИ информация поступает в БД, которая является основным звеном АСУР, поскольку представляет собой совокупность объектов для хранения и обработки информации. Данные, поступающие в БД, делятся на четыре категории: ИИ, нормативно-справочная информация (НСИ), фактическая информация, а также результаты расчета. БД предпочтительно создавать на основе транзакционных таблиц, поскольку подобная архитектура предоставляет возможность пользования современными функциями – материализованными представлениями, агрессивным кэшированием данных и эффективной репликацией между хранилищами.

От ДИЦДМ в модуль ИИ (БД) через БПОИИ поступает информация о перегоне, станции, пути, измерительном средстве, протяженности участка (начало и конец), среднем значении (среднеквадратическое отклонение) глубины неровности с классификацией волны для левой и правой нитей и пр.

Модуль НСИ разделен на внутреннюю и внешнюю категории. Во внутренней расположена информация, используемая непосредственно в БД (например, единицы измерения величин), а во внешней – информация, которой пользователь может руководствоваться во время работы (например, инструкции, положения и распоряжения).

Для автоматизации расчетов в БД предусмотрен модуль хранения результатов. Содержащиеся в нем данные хранятся в транзакционных таблицах, поскольку постоянно пополняются.

Для своевременного шлифования и мониторинга текущего технического

состоянии рельсов в БД предусмотрен модуль хранения фактической информации, который также постоянно пополняется (добавляются новые значения, актуализируются имеющиеся данные). Сюда информация поступает от ПЧ в форме акта выполненных работ.

Данные из модулей ИИ и НСИ поступают в БА, который является важной составляющей АСУР. В качестве основы блока принята разработанная классификация дефектов рельсов по степеням их важности. По ранжированию дефектов определяется адресность выполнения работ по шлифованию рельсов на основе решения стохастической задачи, в которой процесс принятия решения о необходимости шлифования представляется тремя состояниями. Для решения задачи применены методы динамического программирования. Для формирования оптимальной стратегии, благодаря которой доходы компании будут максимальными, а расходы минимальными, структура процесса представлена в виде матрицы, элементами которой являются величины дохода, возникающие при переходе рельсов из одной группы по степени важности в другую при воздействии на них процессом шлифования. Матрицы переходных вероятностей и возникающих при этом доходов зависят от альтернатив решений, которыми располагает предприятие.

БА не сможет функционировать в полной мере без работы созданной матрицы вероятностей, которой, в свою очередь, необходимы значения вероятностей перехода (или неперехода) рельсов из одной степени важности в другую по результатам пропущенного тоннажа. Для определения искомых вероятностей в модуле прогнозирования выполняется анализ дальнейшего технического состояния рельсов на основе данных из БД, в которой путем обработки эмпирических данных из различных исследований была впервые сформирована единая обобщенная база данных для рельсов типа Р65 [11]. В БД содержится сводная таблица математических

зависимостей для всех основных видов дефектов, удаляемых шлифованием (трещины, выкрашивания, вертикальный износ, боковой износ, волнообразный износ), на разных участках пути: при движении по прямой, в кривых различного радиуса, на подъемах и спусках. Прогноз позволяет экономить значительную часть бюджета компании за счет увеличения срока эксплуатации железнодорожного пути, поскольку своевременное шлифование позволяет предупредить появление дефектов поверхности катания, не допустить развития в рельсах дефектов контактно-усталостного характера и пр. Кроме того, по результатам удаления поверхностных дефектов наблюдается снижение вертикальных динамических сил, шумов и вибраций. В результате у компании появляется возможность уменьшить расходы по содержанию и ремонту подвижного состава, а также увеличить срок его службы благодаря уменьшению усталости деталей и узлов.

Рассмотрим работу основных структурных элементов АСУР.

Модуль кодирования и ввода ИИ необходим для унификации формы хранения данных, обеспечения однозначной идентификации объектов, сокращения затрат на передачу данных и экономии памяти серверов.

Модуль контроля качества ИИ – важный барьер на пути передачи информации, поскольку от качества представленных данных будут зависеть конечные показатели. Если такого модуля

в цепочке работы АСУР нет, то результаты расчетов могут повлечь серьезные убытки для компании, работа которой характеризуется большим оборотом денежных средств и регламентированными сроками. Поскольку ИИ, поступившая от ДИЦДМ, влияет на принятие важных управленческих решений, в задачи модуля контроля качества ИИ включены определение происхождения поступающей ИИ, выявление полного соответствия минимально необходимой ИИ, обеспечение проверки актуальности ИИ и др.

Блок БД состоит из самой БД и системы управления БД (СУБД), задачи которой – предоставление доступа к БД группе лиц, управление хранением и обработка данных.

Укрупненно архитектуру СУБД возможно представить тремя уровнями: концептуальным, внутренним и внешним (рис. 2).

Поскольку к БД будут иметь доступ разные группы лиц (в зависимости от должности, роли в проекте и т. д.), то форма представления данных должна быть различной. Так, например, сотрудники ПЧ смогут просматривать адресный план шлифования с итоговыми данными, а сотрудники службы пути ДИ будут иметь возможность развертывания описательной части по каждому расчетному пункту. Для этого в архитектуру БД включен внешний уровень.

Промежуточным звеном в архитектуре БД служит концептуальный уро-

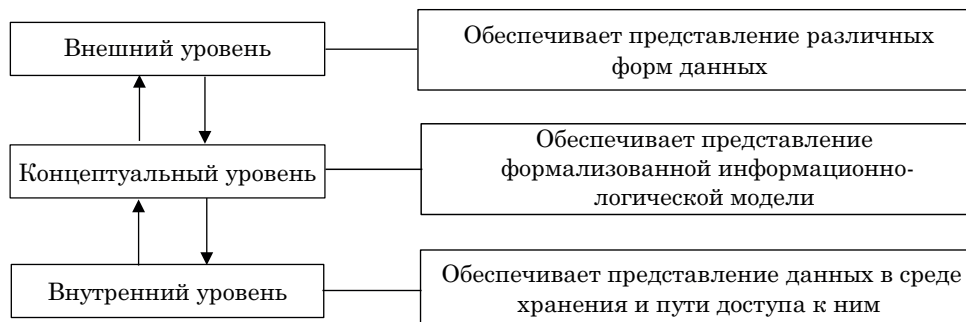


Рис. 2. Архитектура СУБД

вень, который необходим для представления формализованной информационно-логической модели. Это необходимо для работы группы системных инженеров.

После получения данных о дефектности рельсов из БД в БА выполняется присвоение степеней важности для каждого дефекта.

Для интеграции дефектов рельсов и их параметров с технологией шлифования рельсов с целью создания критерияльной системы планирования работ разработана классификация дефектов рельсов (в т. ч. предпосылки возникновения дефектов), которые можно устранить шлифованием, по трем степеням важности (таблица 1).

На вход в БА поступают данные только о дефектных рельсах, т.е. заранее происходит выборка среди дефектных и острдефектных рельсов с выполнением следующего условия:

$$h_{\min}^{\text{Ст.1}} \leq h_{\text{факт}} \leq h_{\max}^{\text{Ст.3}}, \quad (1)$$

где $h_{\min}^{\text{Ст.1}}$ – минимальное значение дефекта, соответствующего Ст. 1, мм; $h_{\text{факт}}$ – фактическое значение дефекта, мм; $h_{\max}^{\text{Ст.3}}$ – максимальное значение дефекта, соответствующего Ст. 3, мм.

Определение степеней важности для каждого дефекта выполняется согласно разработанному алгоритму (см. рис. 3):

– задаются входные данные дефекта: тип, номер и значение $h_{\text{факт}}$ (в случае определения прогнозной степени важности задается $h_{\text{прог}}$);

– значение $h_{\text{факт}}$ сравнивается со значениями $h_{\min}^{\text{Ст.1}}$ и $h_{\max}^{\text{Ст.1}}$ для соответствующего типа и номера дефекта;

– если значение $h_{\text{факт}}$ попадает в заданный промежуток, то дефекту присваивается Ст. 1;

– если значение $h_{\text{факт}}$ не попадает в заданный промежуток, то выполняется сравнение со значениями $h_{\min}^{\text{Ст.2}}$ и $h_{\max}^{\text{Ст.2}}$;

– если значение $h_{\text{факт}}$ попадает в заданный промежуток, то дефекту присваивается Ст. 2;

– если значение $h_{\text{факт}}$ не попадает в заданный промежуток, то дефекту присваивается Ст. 3.

Все алгоритмы, разрабатываемые в рамках поставленной цели, представляют собой точно установленные последовательности действий, выполнение которых ведет к решению требуемой задачи. Алгоритмы обладают формальными свойствами: упорядоченностью (имеют структурированную последовательность), детерминированностью (выходные результаты зависят от ИИ), формальностью (не допускаются неоднозначности при описании операций), результативностью (на выходе выдаются искомые результаты) и конечностью (работа завершается за определенное количество шагов).

После присвоения степеней важности всем дефектам, выполняется финансовое обоснования выбора стратегии. Наиболее сложной и уже решенной частью экономического расчета можно считать прогнозную величину износа головки рельса, от которой будет зависеть достоверность получаемых

Таблица 1

Степени важности	
Важность	Описание
Степень 1 (Ст. 1)	Появление предпосылок к образованию дефекта. Назначается профилактическое шлифование
Степень 2 (Ст. 2)	Наблюдается дефект. Шлифование рельсов назначается по показателю h^* в зависимости от вида дефекта
Степень 3 (Ст. 3)	Дефект активно развивается. Шлифование назначается по показателю h^* в зависимости от вида дефекта

* Размер дефекта (глубина, длина, ширина и т.д., в зависимости от вида дефекта) определяемый измерениями, мм.

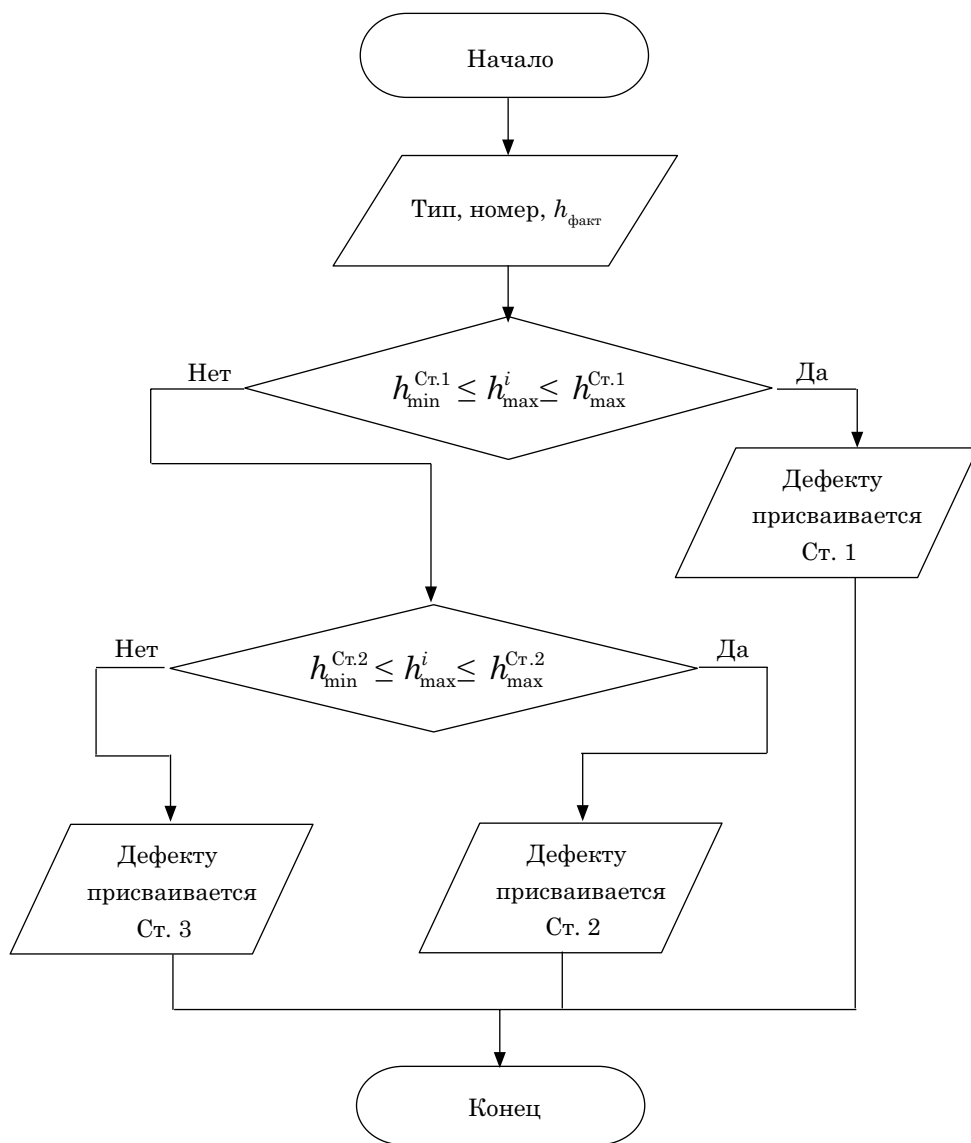


Рис. 3. Блок-схема алгоритма определения степени важности дефекта

значений. Кроме того, точность расчета будет зависеть от постоянных величин, значения которых заносятся и хранятся в БД: тарифные ставки сотрудников, стоимость ГСМ, расчетная цена перевозки и пр.

Для оценки эффективности шлифовальных операций принят минимум функции расходов как критерий, объективно отражающий все составные затраты, связанные с выполнением

и невыполнением своевременного шлифования, т. е.

$$r_{ij}^k \rightarrow \min. \quad (2)$$

При планировании работ по шлифованию рельсов необходимо учитывать «горизонт» эксплуатации железнодорожного пути. В случае скорого планового проведения капитального ремонта, реконструкции и пр. дальнейшие

расчеты сводятся к математической модели с конечным числом этапов. Зная дату проведения работ, можно принять оптимальное решение (шлифовать рельсы или нет), основываясь на минимизации предстоящих расходов.

Пусть число степеней важностей для каждого этапа (шлифовальной операции) равно m . Через $f_n(i)$ обозначен оптимальный ожидаемый расход, понесенный на этапах от n до N включительно при условии, что система находится в начале этапа n в состоянии i . Тогда обратное рекуррентное уравнение, связывающее f_n и f_{n+1} , будет представлено в виде:

$$f_n(i) = \min \left\{ \sum_{j=1}^m p_{ij}^k [r_{ij}^k + f_{n+1}(j)] \right\}, \quad (3)$$

$n = 1, 2, \dots, N.$

В случае отсутствия планового проведения капитального ремонта, реконструкции железнодорожного пути и пр. дальнейшие расчеты сводятся к математической модели с бесконечным числом этапов, в основу которой можно заложить два метода расчета. Первый включает в себя перебор всех возможных стратегий планирования работ и является наиболее актуальным при небольшом количестве рассматриваемых стратегий. Второй метод заключается в определении стратегии

с минимальными расходами итерационным путем.

При использовании первого метода определяются все возможные стратегии планирования работ (таблица 2).

Из БА данные передаются в БСН, где после соответствующего анализа вырабатываются предложения о корректировке прогнозных значений. Для накопления информации БСН, БА и БД связаны между собой обратной последовательностью.

Информация, поступающая из БСН в БОР, обрабатывается и представляется пользователю по заранее разработанным формам. В рамках данной задачи разработан алгоритм определения порядка приоритетности шлифования из имеющегося множества дефектов (рис. 4).

Порядок работы алгоритма:

- количество дефектов представляет в виде массива натуральных чисел;
- вводится дополнительная (буферная) переменная, которой присваивается значение первоначального первого элемента массива;
- из множества чисел, представленных в массиве, выбирается минимальное и помещается в начало массива в том случае, если оно уже не является минимальным;
- после перестановки определяется второй минимальный элемент в оставшейся части массива;

Таблица 2

Возможные стратегии планирования работ

Стратегия	Действие
1	Вообще не шлифовать рельсы
2	Выполнять шлифование при любом состоянии рельсов
3	Выполнять шлифование только в том случае, когда рельсам присвоена первая степень важности
4	Выполнять шлифование только в том случае, когда рельсам присвоена вторая степень важности
5	Выполнять шлифование только в том случае, когда рельсам присвоена третья степень важности
6	Выполнять шлифование только в том случае, когда рельсам присвоена первая или вторая степень важности
7	Выполнять шлифование только в том случае, когда рельсам присвоена первая или третья степень важности

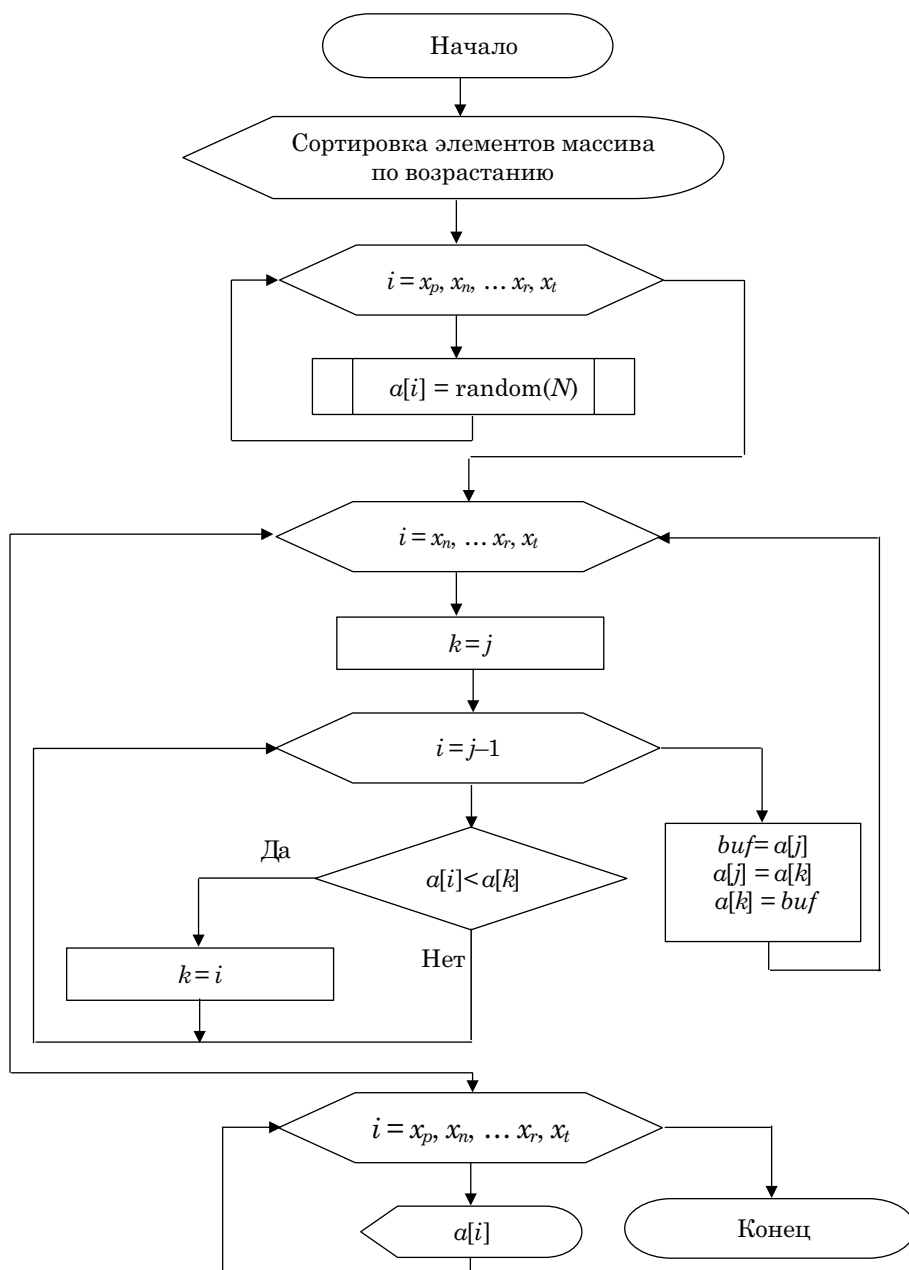


Рис. 4. Блок-схема алгоритма определения порядка приоритетности шифрования

– найденный минимальный элемент ставится на второе место в массиве;
 – аналогичные действия проводятся со всеми элементами до конца массива;
 – полученный ряд чисел по возрастанию указывает последовательность

операций по шифрованию (чем меньше число ранга, тем выше приоритетность).

Выводы

Внедрение АСУР позволит проводить своевременное шифрование рель-

сов, тем самым экономить значительную часть бюджета компании за счет увеличения срока эксплуатации рельсов.

Создание АСУР предполагает реализацию следующих принципов, обеспечивающих получение максимального экономического эффекта, при планировании работ по шлифованию рельсов:

- учитывать смешанный характер грузового, пассажирского и скоростного движения, планировать работы исходя из условий эксплуатации отдельных участков пути с применением превентивного, корректирующего и ремонтного шлифования;

- назначать периодичность шлифования исходя из скорости возникновения и развития наиболее характерного дефекта на конкретном участке пути и необходимости удаления всех возможных дефектов;

- достигать максимального экономического эффекта от шлифования рельсов за счет частого шлифования с наименьшим количеством проходов, а при необходимости больших съемов металла совмещать работу двух и более РШП на перегоне.

Предлагаемые направления развития производственного процесса шлифования рельсов позволят устранить недостатки в организационной структуре и, как следствие, повысить эффективность функционирования и качество организации производственной системы за счет обеспечения периодичности выполнения работ, учета фактического состояния рельсов и обеспечения взаимосвязи результатов планирования и выполнения работ по шлифованию рельсов. ■

Литература

1. Матафонов А. В., Юркова Е. О. Совершенствование организационной структуры производственного процесса рельсошлифования // Вестник СГУПС. 2019. № 2 (49). С. 45–50. ISSN 1815-9265.
2. Инструкция ОАО «РЖД» от 28.12.2012 № 2734р О порядке интеграции данных, получаемых системой комплекса СКБП-2009 в систему ЕКАСУИ. М. : ОАО «РЖД», 2012, 20 с.
3. Analytical modeling of grinding process in rail profile correction considering grinding pattern / Y. M. Liu, T. Y. Yang, Z. He, J. Y. Li // Archives of Civil and Mechanical Engineering. 2018. Vol. 18, № 2. P. 669–678.
4. Optimal design of rail grinding patterns based on a rail grinding target profile / Q. Lin, J. Guo, H. Y. Wang, W. Wang, Q. Liu // Proc. Inst. Mech. Eng. F–J. Rail Rapid Transit. 2018. № 232. P. 560–571.
5. Cuervo P. A., Santa J. F., Toro A. Correlations between wear mechanisms and rail grinding operations in a commercial railroad // Tribology International. 2015. Vol. 82. P. 265–273.
6. Инструкция ОАО «РЖД» от 29.12.2014 № 3185р по шлифовке и фрезерованию рельсов в пути и стационарных условиях. М. : ОАО «РЖД», 2014, 67 с.
7. Положение ОАО «РЖД» от 27.12.2012 № 2714р О системе неразрушающего контроля рельсов и эксплуатации средств рельсовой дефектоскопии в путевом хозяйстве железных дорог ОАО «РЖД». М. : ОАО «РЖД», 2012, 132 с.
8. Инструкция ОАО «РЖД» от 23.11.2016 № 2370р По применению старогодных материалов верхнего строения пути. М. : ОАО «РЖД», 2016, 50 с.
9. Инструкция ОАО «РЖД» от 23.10.2014 № 2499р «Дефекты рельсов. Классификация, каталог и параметры дефектных и острodefектных рельсов». М. : ОАО «РЖД», 2014, 115 с.
10. Положение ОАО «РЖД» от 07.04.2017 № 678р О порядке контроля состояния главных и станционных путей путеизмерительными средствами. М. : ОАО «РЖД», 2017, 148 с.
11. Бондарев Э. С. Прогнозирование технического состояния рельсов по статистическим данным // Вестник СГУПС. 2021. № 4 (59). С. 55-61. ISSN 1815-9265.

References

1. Matafonov A. V., Yurkova E. O. Improvement of the organizational structure of the rail grinding production process // Bulletin of the SSURT. [Sovershenstvovanie organizatsionnoj struktury proizvodstvennogo protsesssa rel'soshlifovaniya // Vestnik SGUPS.] 2019. № 2 (49). Pp. 45–50. ISSN 1815-9265.

2. Instruction of JSC «Russian Railways» dated 12/28/2012 № 2734r «On the procedure for integrating data received by the system of the SKBP-2009 complex into the UCAIM system. Moscow : JSC «Russian Railways», [Instruktsiya OAO «RZHD» ot 28.12.2012 № 2734r O poryadke integratsii dannykh, poluchaemykh sistemoy kompleksa SKBP-2009 v sistemu EKASUI. M. : OAO «RZHD»] 2012, 20 p.
3. Analytical modeling of grinding process in rail profile correction considering grinding pattern / Y. M. Liu, T. Y. Yang, Z. He, J. Y. Li // Archives of Civil and Mechanical Engineering. 2018. Vol. 18, № 2. P. 669–678.
4. Optimal design of rail grinding patterns based on a rail grinding target profile / Q. Lin, J. Guo, H. Y. Wang, W. Wang, Q. Liu // Proc. Inst. Mech. Eng. F–J. Rail Rapid Transit. 2018. № 232. Pp. 560–571.
5. Cuervo P. A., Santa J. F., Toro A. Correlations between wear mechanisms and rail grinding operations in a commercial railroad // Tribology International. 2015. Vol. 82. P. 265–273.
6. Instruction of JSC «Russian Railways» dated 29.12.2014 № 3185r «On grinding and milling rails in transit and stationary conditions». Moscow : JSC «Russian Railways», [Instruktsiya OAO «RZHD» ot 29.12.2014 № 3185r Po shlifovke i frezerovaniyu rel'sov v puti i stantsionnykh usloviyakh. M. : OAO «RZHD»] 2014, 67 p.
7. The Regulation of JSC «Russian Railways» dated 27.12.2012 № 2714r «On the system of non-destructive control of rails and operation of means of rail flaw detection in the track facilities of JSC «Russian Railways». Moscow : JSC «Russian Railways», [Polozhenie OAO «RZHD» ot 27.12.2012 № 2714r O sisteme nerazrushayushhego kontrolya rel'sov i ehkspluatatsii sredstv rel'sovoy defektoskopii v putevom khozyajstve zheleznnykh dorog OAO «RZHD». M. : OAO «RZHD»] 2012, 132 p.
8. Instruction of JSC «Russian Railways» dated 11/23/2016 № 2370r «On the use of outdated materials of the upper structure of the track». Moscow: JSC «Russian Railways», [Instruktsiya OAO «RZHD» ot 23.11.2016 № 2370r Po primeneniyu starogodnykh materialov verkhnego stroeniya puti. M. : OAO «RZHD»] 2016, 50 p.
9. Instruction of JSC «Russian Railways» dated 23.10.2014 № 2499r «Rail defects. Classification, catalog and parameters of defective and highly defective rails». Moscow : JSC «Russian Railways», [Instruktsiya OAO «RZHD» ot 23.10.2014 № 2499r «Defekty rel'sov. Klassifikatsiya, katalog i parametry defektnykh i ostrodefektnykh rel'sov». M. : OAO «RZHD»] 2014, 115 p.
10. Regulation of JSC «Russian Railways» dated 07.04.2017 № 678r «On the procedure for monitoring the condition of the main and station tracks with track measuring tools.» Moscow: JSC «Russian Railways», [Polozhenie OAO «RZHD» ot 07.04.2017 № 678r O poryadke kontrolya sostoyaniya glavnykh i stantsionnykh putej puteizmeritel'nyimi sredstvami. M. : OAO «RZHD»] 2017, 148 p.
11. Bondarev E. S. Forecasting the technical condition of rails by statistical data // Bulletin of the SSURT. [Prognozirovanie tekhnicheskogo sostoyaniya rel'sov po statisticheskim dannym // Vestnik SGUPS.] 2021. № 4 (59). Pp. 55–61. ISSN 1815-9265.

Статья сдана в редакцию 9 декабря 2021 года

УДК 629.4.016.2

С. А. Маринин

Сравнение энергетической эффективности грузовых электровозов переменного тока с коллекторным и асинхронным тяговым приводом

UDC 629.4.016.2

S. A. Marinin

Comparison of the energy efficiency of ac electric freight locomotives with collector and asynchronous traction drive

Аннотация

На сети российских дорог в пассажирском и в грузовом видах движения эксплуатируются электровозы с асинхронным тяговым приводом. Преимущества такого привода – это большая удельная мощность.

На первый взгляд, потребление электроэнергии электровозом с асинхронным тяговым приводом должно быть меньше, чем электровозом с коллекторным тяговым приводом. Это же декларируют производители тягового подвижного состава [1]. Но ответ на вопрос – какой электровоз в грузовом движении более экономичен: с коллекторным или асинхронным тяговым приводом? – далеко не однозначен [2, 3].

Для установления того, электровозы с каким тяговым приводом обладают лучшей энергоэффективностью, выполнено сравнение затрат электрической энергии на тягу грузовых поездов электровозами серии ВЛ80С с коллекторным тяговым приводом, эксплуатирующимися в двух- и трёхсекционном исполнении, и перспективным двухсекционным электровозом серии 2ЭС7 с асинхронным тяговым приводом.

Оценка энергоэффективности выполнена с использованием методов, построенных на элементах математической статистики и теории вероятностей, включающих оценку параметров распределения исследуемых величин, статистическую проверку гипотез и дисперсионный анализ.

В настоящей статье приведены основные результаты исследования, выполненного на полигоне Горьковской железной дороги в период опытной эксплуатации электровоза серии 2ЭС7 на участке Дружинино – Вековка.

Ключевые слова: электровоз, тяговый привод, расход электроэнергии, тяга поездов, масса поезда, дисперсионный анализ.

DOI: 10.20291/2079-0392-2022-1-57-64

Abstract

Electric locomotives with asynchronous traction drive are operated on the Russian road network in passenger and freight traffic. The advantage of such a drive is a large specific power.

At first glance, electricity consumption of an electric locomotive with asynchronous traction drive should be less than that of an electric locomotive with a collector traction drive. The same is declared by manufacturers of traction rolling stock [1, 2]. But the answer to the question which electric locomotive is more economical in freight traffic: with a collector or asynchronous traction drive? – is far from being unambiguous [3, 4, 5].

In order to determine which electric locomotives have the best energy efficiency regarding the traction drive, a comparison of electric energy costs for traction of freight trains by electric locomotives of the VL80S series with collector traction drive, operated in two- and three-section versions, and a promising two-section electric locomotive of the 2ES7 series with asynchronous traction drive was performed.

The energy efficiency assessment was carried out using methods based on elements of mathematical statistics and probability theory, including estimation of the distribution parameters of the studied quantities, statistical hypothesis testing and variance analysis.

This article presents the main results of the research carried out at the testing area of the Gorky Railway during the pilot operation of the 2ES7 series electric locomotive on the Druzhinino – Vekovka section.

Keywords: electric locomotive, traction drive, power consumption, train traction, train mass, dispersion analysis.

DOI: 10.20291/2079-0392-2022-1-57-64

Статья рекомендована к публикации А. П. Буйносовым, д-ром техн. наук, профессором Уральского государственного университета путей сообщения. E-mail: ABuinosov@usurt.ru.

Сергей Александрович Маринин, канд. техн. наук, доцент; кафедра «Техника и технология железнодорожного транспорта» филиала Самарского государственного университета путей сообщения в г. Нижнем Новгороде. Россия, Нижний Новгород. E-mail: marininsergey.nn@mail.ru. ORCID 0000-0002-4843-5439.

The article is recommended for publishing by A. P. Bujnosov, Doctor of Technical Sciences, Professor of the Ural State University of Railway Transport. E-mail: ABuinosov@usurt.ru.

Sergej Alexandrovich Marinin, Candidate of Technical Sciences, Associate Professor; "Engineering and Technology of Railway Transport" Department, branch of Samara State Transport University in Nizhny Novgorod. Russia, Nizhny Novgorod. E-mail: marininsergey.nn@mail.ru. ORCID 0000-0002-4843-5439.

На сегодняшний день часть электровазов с асинхронным тяговым приводом проходит опытную эксплуатацию, а часть уже выпускается серийно [4]. Значит, необходимо оценить энергозатраты на тягу поездов электровазов с различным тяговым приводом.

Для оценки расхода электроэнергии на тягу грузовых поездов электровазами с асинхронным тяговым приводом и сравнения его с расходом электроэнергии электровазами с коллекторным тяговым приводом выбран участок Сергач – Вековка Горьковской железной дороги.

В 2018–2019 гг. на южном ходу Горьковской железной дороги проходил опытную эксплуатацию электроваз серии 2ЭС7 с асинхронным тяговым приводом. Выбранный участок имеет холмистый профиль, а характеристики электровазов позволяют вести по участку поезд критической массы без использования подталкивающего локомотива. Это позволило исключить влияние подталкивающего локомотива на расход электроэнергии электровазом в голове поезда. На направлении Сергач – Вековка обращаются преимущественно груженные составы, а на направлении Вековка – Сергач – порожние, что дало возможность оценить энергозатраты в различных режимах работы электровазов.

На основании статистических данных за 2018–2019 гг., собранных автором, выполнено сравнение затрат электроэнергии на тягу грузовых поездов

электровазом серии 2ЭС7 и электровазами серии ВЛ80С, эксплуатирующимися в двух- и трехсекционном исполнении (в трехсекционном исполнении – 1,5ВЛ80С).

Сравнительные характеристики электровазов серий ВЛ80С и 2ЭС7 по мощности и силе тяги приведены в таблице 1 [1, 5].

Из таблицы 1 ясно, что электроваз серии 2ЭС7 значительно превосходит по характеристикам электроваз серии ВЛ80С в двухсекционном исполнении, но несколько уступает этому же электровазу в трехсекционном исполнении.

Для получения информации о параметрах поезда, выполненной поездке и расходе электроэнергии за поездку для электроваза серии 2ЭС7 обработаны маршрутные листы машинистов по всем поездкам за 2018–2019 гг., а для электровазов серии ВЛ80С в двух- и трехсекционном исполнении произведена выборка маршрутных листов за это же время. Выборка репрезентативная, неповторная. Объем маршрутных листов машинистов приведен в таблице 2.

В соответствии с полученными данными построены зависимости удельных энергозатрат на тягу от массы поезда как основного влияющего фактора [6]. Результаты аппроксимации полученных зависимостей показаны рис. 1, 2. Для аппроксимации применена экспоненциальная функция как наиболее подходящая для удельного расхода электроэнергии.

Таблица 1

Основные характеристики электровазов серии ВЛ80С в двух- и трехсекционном исполнении и серии 2ЭС7

Основные характеристики электроваза	ВЛ80С	1,5 ВЛ80С	2ЭС7
Осевая формула	2(2о-2о)	3(2о-2о)	2(2о-2о)
Мощность часового режима на валах тяговых двигателей, кВт	6520	9780	8800
Мощность длительного режима на валах тяговых двигателей, кВт	6160	9240	8400
Сила тяги часового режима, кН	442	663	621
Сила тяги длительного режима, кН	400	600	538 при скорости 55 км/ч

Таблица 2

Объем маршрутных листов машинистов

Направление	Серия электровоза	Объем маршрутных листов
Сергач – Вековка	2ЭС7	130
	ВЛ80С	183
	1,5 ВЛ80С	175
Вековка – Сергач	2ЭС7	133
	ВЛ80С	183
	1,5 ВЛ80С	184

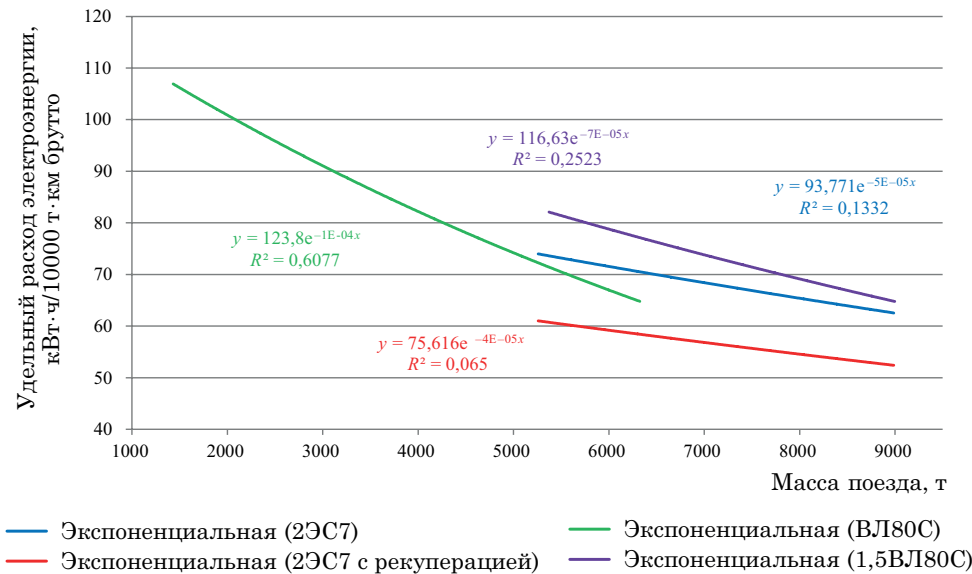


Рис. 1. Зависимость удельного расхода электроэнергии от массы поезда на участке Сергач – Вековка

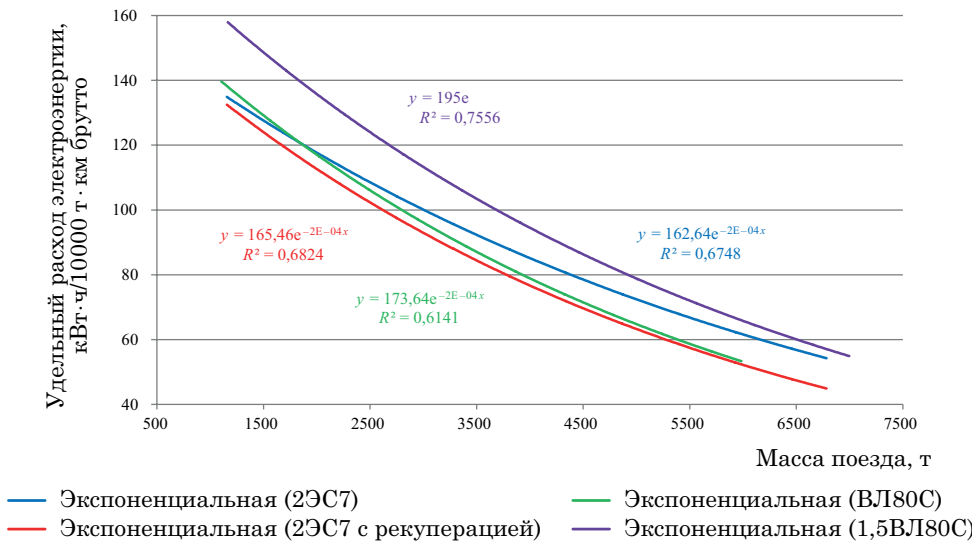


Рис. 2. Зависимость удельного энергопотребления от массы поезда на участке Вековка – Сергач

Более низкая достоверность аппроксимации удельного расхода электроэнергии электровозами серии 2ЭС7 и ВЛ80С в трехсекционном исполнении для участка Сергач – Вековка возникла из-за того, что на этом направлении электровозы рассматриваемых серий обращаются с поездами массой около 8000 т.

Итак, из рис. 1, 2 ясно, что расход электроэнергии на тягу различными сериями электровозов отличается. Для определения разницы в расходе электроэнергии выполнен дисперсионный анализ. Необходимое условие для проведения дисперсионного анализа – соответствие рассматриваемой величины нормальному закону распределения [7].

Для подтверждения или опровержения соответствия нормальному закону распределения с применением критерия согласия Пирсона проверена нулевая гипотеза, заключающаяся в том, что эмпирические и теоретические частоты распределения рассматриваемой величины равны. Критерий Пирсона позволяет с определенным уровнем значимости подтвердить соответствие данных частот. Вычисляется критерий по формуле [8]:

$$\chi^2_{\text{набл}} = \frac{\sum (n_i - n'_i)^2}{n'_i},$$

где n_i – эмпирическая частота; n'_i – теоретическая частота.

Расчеты велись при уровне значимости $\alpha = 0,05$ с использованием MS Excel [9]. Результаты выполненных расчетов показали, что рассматриваемый показатель достаточно точно описывается нормальным законом распределения.

На рис. 3 приведена гистограмма распределения удельных энергозатрат на тягу поездов электровозами серии ВЛ80С в двухсекционном исполнении на участке Сергач – Вековка.

Количество интервалов разбиения на гистограмме было определено с использованием правила Стёрджесса [10]:

$$K = 3,3 \lg N + 1,$$

где N – объем полученной выборки.

Достоверность полученных результатов о соответствии удельного расхода электроэнергии нормальному закону распределения подтверждается и другими исследованиями [6, 11].

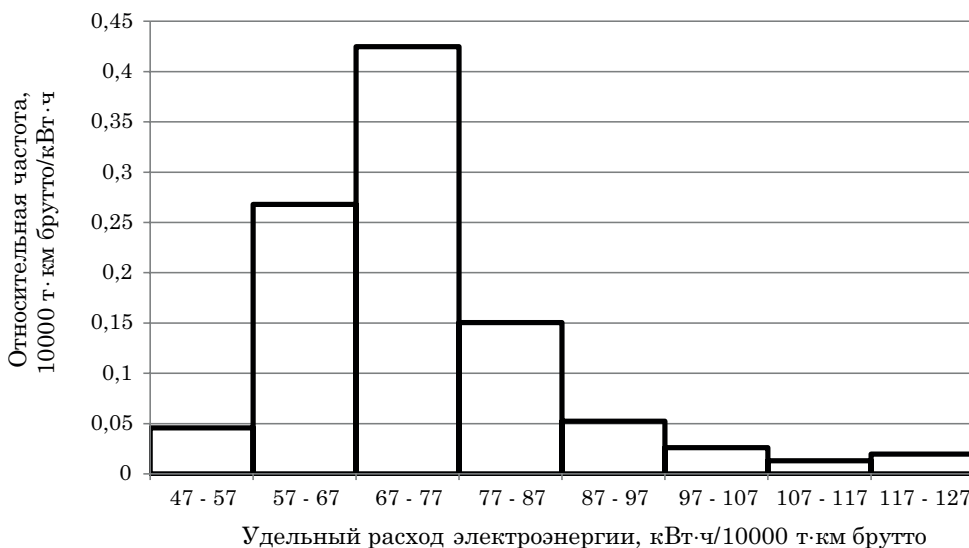


Рис. 3. Гистограмма распределения удельных энергозатрат на тягу поездов электровозами серии ВЛ80С в двухсекционном исполнении на участке Сергач – Вековка

Так как одним фактором, влияющим на удельные энергозатраты, является серия электровоза, а вторым – масса поезда, выбран двухфакторный дисперсионный анализ без повторений. Вычисления велись с уровнем значимости $\alpha = 0,05$, применяемом в инженерных расчетах.

Цель дисперсионного анализа – проверка нулевой гипотезы H_0 о равенстве удельных энергозатрат на тягу различными сериями электровозов. Конкурирующая гипотеза H_1 заключается в значимом отличии удельного расхода электроэнергии электровозами различных серий.

Вторая пара гипотез – нулевая и конкурирующая гипотеза о равенстве или значимом отличии удельного расхода электроэнергии за поездку при различных массах поездов.

Для выполнения дисперсионного анализа данные о расходе электроэнергии были разбиты по группам в 250 т, так как при таких интервалах масса поезда не оказывает значимого влияния на расход электроэнергии [6]. Результаты разбиения сведены в отдельные таблицы для участков Сергач – Вековка и Вековка – Сергач (таблица 3). В ячейки таблицы занесены данные о среднем удельном расходе электроэнергии за поездку, кВт·ч/10000 т·км брутто, по данным маршрутных листов машинистов.

При проведении дисперсионного анализа расчеты сводятся к определению фактора, который влияет на рассматриваемую величину. Если по итогам расчетов фактор менее критиче-

ского значения, определяемого по таблице критических значений [12], то нулевая гипотеза принимается. Если больше, то принимается конкурирующая гипотеза.

Наблюдаемое значение фактора для первой и второй пары гипотез определяется как [13]

$$F_A = \frac{S_A^2}{S_R^2},$$

$$F_B = \frac{S_B^2}{S_R^2},$$

где S_A^2 – дисперсия между уровнями фактора A ; S_B^2 – дисперсия между уровнями фактора B ; S_R^2 – остаточная дисперсия.

Факторные и остаточная дисперсии вычисляются по формулам [13]:

$$S_A^2 = \frac{Q_A}{h-1},$$

$$S_B^2 = \frac{Q_B}{q-1},$$

$$S_R^2 = \frac{Q_R}{(h-1)(q-1)},$$

где Q_A , Q_B и Q_R – соответствующие суммы квадратов, определяемые как [13, 14]:

$$Q_A = q \sum_{i=1}^h (y_{i.} - y_{..})^2,$$

$$Q_B = h \sum_{j=1}^q (y_{.j} - y_{..})^2,$$

Таблица 3

Форма таблицы для проведения дисперсионного анализа

1		Уровень j фактора B				Среднее по строкам y_i
		2	...	q		
Уровень i фактора A	1	y_{11}	y_{12}	...	y_{1q}	$y_{1.}$
	2	y_{21}	y_{22}	...	y_{2q}	$y_{2.}$
	...					
	h	y_{h1}	y_{h2}	...	y_{hq}	$y_{h.}$
Среднее по столбцам y_j		$y_{.1}$	$y_{.2}$...	$y_{.q}$	$y_{..}$

$$Q_R = \sum_{i=1}^h \sum_{j=1}^q (y_{ij} - y_{i.} - y_{.j} + y_{..})^2,$$

где h – число уровней фактора A ; q – число уровней фактора B ; i – уровень фактора A ; j – уровень фактора B .

Результаты расчетов сведены в матрицы, приведенные для участка Сергач – Вековка в таблице 4, а для участка Вековка – Сергач в таблице 5. В ячейках со словом «нет», нет оснований говорить о равенстве удельных энергозатрат на тягу, т.е. они различаются значительно. В ячейках со словом «да» удельные энергозатраты на тягу разными сериями электровазов равны.

Итак, в большинстве случаев удельные энергозатраты на тягу грузовых поездов различными сериями электровазов отличаются значительно.

Исключение составил участок Вековка – Сергач, где нет значимого различия между удельными энергозатратами электровазов серий ВЛ80С в двухсекционном исполнении и 2ЭС7 как с учетом рекуперированной электроэнергии, так и без нее. При следовании с поездами малой массы удельные энергозатраты электроваза серии ВЛ80С в двухсекционном исполнении ближе к удельным энергозатратам электроваза серии

2ЭС7 без учета рекуперированной электроэнергии, а при следовании с поездами большой массы – ближе к удельным энергозатратам электроваза серии 2ЭС7 с учетом рекуперированной электроэнергии (см. рис. 2).

В сопоставимых условиях электроваз серии 2ЭС7 за счет меньшего количества секций экономичнее, чем электроваз серии ВЛ80С в трехсекционном исполнении. Результаты снижения удельного расхода электроэнергии при уменьшении количества секций подтверждаются и другими исследованиями [10–15]. За счет использования режима рекуперации электроваз серии 2ЭС7 экономичнее, чем электроваз серии ВЛ80С в двухсекционном исполнении.

При проверке второй пары гипотез результат получился закономерным. При различной массе поездов удельные энергозатраты на тягу различаются значительно.

Вывод

Лучшая энергоэффективность электроваза серии 2ЭС7 по сравнению с электровазом серии ВЛ80С в трехсекционном исполнении достигается за счет меньшего количества секций,

Таблица 4

Матрица сравнения удельных энергозатрат на участке Сергач – Вековка

Равны?	ВЛ80С	1,5ВЛ80С	2ЭС7 без рек.	2ЭС7 с рек.
ВЛ80С	–	Нет	Нет	Нет
1,5ВЛ80С	Нет	–	Нет	Нет
2ЭС7 без рек.	Нет	Нет	–	Нет
2ЭС7 с рек.	Нет	Нет	Нет	–

Таблица 5

Матрица сравнения удельных энергозатрат на участке Вековка – Сергач

Равны?	ВЛ80С	1,5ВЛ80С	2ЭС7 без рекуперации	2ЭС7 с рекуперацией
ВЛ80С	–	Нет	Да	Да
1,5ВЛ80С	Нет	–	Нет	Нет
2ЭС7 без рек.	Да	Нет	–	Нет
2ЭС7 с рек.	Да	Нет	Нет	–

а по сравнению с электровозом этой же серии в двухсекционном исполнении энергоэффективность достигается не за счет применения асинхронного тягового привода, а за счет использования режима рекуперации электроэнергии. ■

Литература

1. Грузовой электровоз 2ЭС7. URL: <https://ulkm.ru/produkcija/gruzovoj-elektrovoz-2es7> (дата обращения: 10.11.2021).
2. Власьевский С. В., Малышева О. А., Грибенюк Д. В. Сравнительные возможности применения на электровозах переменного тока коллекторного и асинхронного привода // Вестник Приамурского государственного университета им. Шолом-Алейхема. 2017. № 1. С 9–20. ISSN 2227-1384.
3. Власьевский С. В., Щербakov В. Г., Мельниченко О. В., Грибенюк Д. В. Оценка энергетической эффективности коллекторного и асинхронного приводов на электровозах переменного тока // Известия вузов. Электромеханика. 2016. № 4. С 89–95. ISSN 0136-3360.
4. Энергетическая стратегия холдинга «Российские железные дороги» на период до 2020 года и на перспективу до 2030 года, утв. распоряжением ОАО «РЖД» от 14.12.2016 № 2537р. URL: http://www.rzd-expo.ru/innovation/resource_saving/energeticheskay_efektivnost/eff/mobile/index.html (дата обращения: 10.11.2021).
5. Васьюк Н. М. Электровоз ВЛ80С : руководство по эксплуатации / Н. М. Васьюк, Н. П. Козельский, А. А. Матлахов и др. – М. : Транспорт, 1982. – 622 с.
6. Маринин С. А. Совершенствование системы нормирования энергозатрат в грузовом движении электровозами переменного тока : автореф. дис.... канд. техн. наук: 05.22.07 / Маринин Сергей Александрович. – М., 2010 – 24 с.
7. Dehling H., Haupt D. Einführung in die Wahrscheinlichkeits-theorie und Statistik. – Berlin : Spinger, 2004. – 306 s. ISBN 3-540-20380-X.
8. Шведов А. С. Теория вероятностей и математическая статистика. – М. : Изд. дом ГУ ВШЭ, 2005. – 254 с. ISBN 5-7598-0214-3.
9. Веденеева Е. А. Функции и формулы Excel 2007. Библиотека пользователя. – СПб : Питер, 2008. – 384 с. ISBN 978-5-388-00071-2.
10. Sturges H. The choice of a class-interval // Journal of the American Statistical Association. – 1926. – С. 21; 65–66.
11. Альжанов Б. Б. Анализ и способы снижения расхода электроэнергии в грузовом движении на Казахской железной дороге : автореф. дис. ... канд. техн. наук : 05.22.07 / Альжанов Бауржан Бахытжанович. – М., 2010 – 24 с.
12. Митропольский А. К. Техника статистических вычислений. – М. : Изд-во «Наука», 1971. – 576 с.
13. Гмурман В. Е. Теория вероятностей и математическая статистика. – М. : Высшая школа, 2004. – 479 с. ISBN 5-06-004214-6.
14. Мидлтон М. Р. Анализ статистических данных с использованием Microsoft Excel для Office XP. – М. : БИНОМ. Лаборатория знаний, 2005. – 296 с. – ISBN 5-94774-216-0.
15. Сидорова Н. Н., Маринин С. А., Альжанов Б. Б. Влияние на эксплуатационные расходы потребления электроэнергии электровозами, работающими по системе многих единиц // Транспорт Урала. 2009. № 1. С 70–72. ISSN 1815-9400.

References

1. Freight electric locomotive 2ES7. [Gruzovoj ehlektrovoz 2EhS7.] URL: <https://ulkm.ru/produkcija/gruzovoj-elektrovoz-2es7> (accessed on: 10.11.2021).
2. Vlasievsky S. V., Malysheva O. A., Grebenyuk D. V. Comparative possibilities of using collector and asynchronous drive on alternating current electric locomotives // Bulletin of Sholom-Aleichem Priamursky State University. [Sravnitel'nye vozmozhnosti primeneniya na ehlektrovozakh peremennogo toka kollektornogo i asinkhronnogo privoda // Vestnik Priamurskogo gosudarstvennogo universiteta im. Sholom-Alejkhema.] 2017. № 1. P. 9–20. ISSN 2227-1384.
3. Vlasievsky S. V., Shherbakov V. G., Melnichenko O. V., Grebenyuk D. V. Evaluation of the energy efficiency of collector and asynchronous drives on alternating current electric locomotives // News of universities. Electromechanics. [Otsenka ehnergeticheskoy

- ehffektivnosti kollektornogo i asinkhronnogo privodov na ehlektrovozakh peremennogo toka // Izvestiya vuzov. Ehlektromekhanika.] 2016. № 4. P. 89–95. ISSN 0136-3360.
4. Energy strategy of the Russian Railways Holding for the period up to 2020 and for the future up to 2030, approved by the Order of JSC «Russian Railways» as of 12/14/2016 № 2537r. [Ehnergeticheskaya strategiya kholdinga «Rossijskie zheleznnye dorogi» na period do 2020 goda i na perspektivu do 2030 goda, utv. rasporyazheniem OAO «RZHD» ot 14.12.2016 № 2537r.] URL: http://www.rzd-expo.ru/innovation/resource_saving/energeticheskay_efektivnost/eff/mobile/index.html (accessed on: 10.11.2021).
 5. Vas'ko N. M. Electric locomotive VL80S : operating manual / N. M. Vasko, N. P. Kozelsky, A. A. Malakhov et al. – M. : Transport, [Ehlektrovoz VL80S : rukovodstvo po ehkspluatatsii / N. M. Vas'ko, N. P. Kozel'skij, A. A. Matlakhov i dr. – M. : Transport] 1982 – 622 p.
 6. Marinin S. A. Improving the system of rationing energy consumption in freight traffic by electric locomotives of alternating current : abstract. dis.... Candidate of Technical Sciences: 05.22.07 / Marinin Sergey Alexandrovich. [Sovershenstvovanie sistemy normirovaniya ehnergozatrata v gruzovom dvizhenii ehlektrovozami peremennogo toka : avtoref. dis.... kand. tekhn. nauk: 05.22.07 / Marinin Sergej Aleksandrovich.] – M., 2010 – 24 p.
 7. Dahling H., Haupt D. Einführung in die Wahrscheinlichkeitstheorie und Statistik. – Berlin : Spinger, 2004. – 306 s. ISBN 3-540-20380-X.
 8. Shvedov A. S. The Theory of Probabilities and Mathematical Statistics. – M. : Publishing House of the Higher School of Economics, [Teoriya veroyatnostej i matematicheskaya statistika. – M. : Izd. dom GU VSHEh] 2005. – 254 p. ISBN 5-7598-0214-3.
 9. Vedeneyeva E. A. Functions and formulas Excel 2007. The user's library. [Funktsii i formuly Excel 2007. Biblioteka pol'zovatelya.] – St. Petersburg : Peter, 2008. – 384 p. ISBN 978-5-388-00071-2.
 10. Sturges H. The choice of a class-interval // Journal of the American Statistical Association – 1926. – P. 21; 65–66.
 11. Alzhanov B. B. Analysis and methods of reducing electricity consumption in freight traffic on the Kazakhstan railway : abstract. dis. ... Candidate of Technical Sciences : 05.22.07 / Alzhanov Baurzhan Bakhytzhonovich. [Analiz i sposoby snizheniya raskhoda ehlektroehnergii v gruzovom dvizhenii na Kazakhstanskoj zheleznoj doroge : avtoref. dis. ... kand. tekhn. nauk : 05.22.07 / Al'zhanov Baurzhan Bakhytzhonovich.] – M., 2010 – 24 p.
 12. Mitropolsky A. K. Technique of statistical computing. – M. : Publishing house «Nauka», [Tekhnika statisticheskikh vychislenij. – M. : Izd-vo «Nauka»] 1971. – 576 p.
 13. Gmurman V. E. The theory of probabilities and mathematical statistics. – M. : Higher School, 2004. [Teoriya veroyatnostej i matematicheskaya statistika. – M. : Vysshaya shkola, 2004.] – 479 p. ISBN 5-06-004214-6.
 14. Middleton M. R. Statistical data analysis using Microsoft Excel for Office XP. [Analiz statisticheskikh dannyx s ispol'zovaniem Microsoft Excel dlya Office XP. – M. : BINOM. Laboratoriya znaniy] – M. : BINOM. Laboratory of Knowledge, 2005. – 296 p. ISBN 5-94774-216-0.
 15. Sidorova N. N., Marinin S. A., Alzhanov B. B. Influence on the operating costs of electricity consumption by electric locomotives operating on the system of many units // Transport of the Urals. [Vliyanie na ehkspluatatsionnye raskhody potrebleniya ehlektroehnergii ehlektrovozami, rabotayushimi po sisteme mnogikh edinit] // Transport Urala.] 2009. № 1. P. 70–72. ISSN 1815-9400.

Статья сдана в редакцию 3 декабря 2021 года

*И. Л. Парахненко***Оценка влияния веса состава и режима ведения на силы взаимодействия в зоне контакта «колесо-рельс»***I. L. Parakhnenko***Assessment of the influence of train weight and driving mode on the interaction forces in the «wheel-rail» contact zone****Аннотация**

В статье проведено исследование оценки влияния внедрения тяжеловесного движения на основные силы взаимодействия, возникающие в зоне контакта колеса и рельса при движении грузового состава по кривым участкам железнодорожного пути.

На отечественных железных дорогах применяется смешанное движение, но нет выделенных специализированных линий для эксплуатации пассажирского скоростного и грузового движения с повышенной нагрузкой на ось. В этом случае определяющей становится возможность путевой инфраструктуры. Повышение эксплуатационной эффективности, в первую очередь, путевого хозяйства, невозможно без научно обоснованных методов. Качественная эксплуатации пути зависит от сил, возникающих при взаимодействии пары «колесо-рельс».

В настоящей работе представлено исследование силового взаимодействия зоны контакта при увеличении нагрузки на ось на одном из участков Свердловской железной дороги. С помощью имитационного моделирования рассмотрены горизонтальные поперечные боковые, продольные силы.

Поскольку внедрение тяжеловесного движения обусловлено изменением тяговых характеристик поезда, в статье представлены результаты работы по изучению влияния режима ведения состава на рассматриваемые силы.

Ключевые слова: нагрузка на ось, тяжеловесное движение, режим движения, моделирование, подвижной состав, продольные силы, боковые силы.

DOI: 10.20291/2079-0392-2022-1-65-71

Abstract

The article presents a study to assess the impact of the introduction of heavy-weight traffic on the main forces of interaction arising in the «wheel-rail» contact zone while a freight train is in motion along curved sections of the railway track.

Mixed traffic is used on domestic railways, but there are no dedicated specialized lines for the operation of high-speed passenger and freight traffic with increased axle load. In this case, the possibility of the track infrastructure becomes decisive. Improving the operational efficiency, first of all, of track facilities, is impossible without scientifically based methods. The qualitative operation of a track depends on the forces arising from the interaction of the wheel-rail pair.

This paper presents a study of the force interaction of the contact zone with an increase in the axle load on one of the sections of the Sverdlovsk railway. Horizontal transverse lateral and longitudinal forces are considered by means of simulation modeling.

Since the introduction of heavy-weight traffic is caused by the change in the traction characteristics of a train, the article presents the results of work on the study of influence of the train driving mode on the forces under consideration.

Keywords: axle load, heavy-weight movement, driving mode, modeling, rolling stock, longitudinal forces, lateral forces.

DOI: 10.20291/2079-0392-2022-1-65-71

Статья рекомендована к публикации Д. А. Скутиным, канд. техн. наук, руководителем Центра высотных компетенций, ООО «Оргкомитет "Строитель"». E-mail: daskutin@mail.ru.

Инна Леонидовна Парахненко, канд. техн. наук, старший преподаватель; кафедра «Путь и железнодорожное строительство» Уральского государственного университета путей сообщения; Екатеринбург, Россия. E-mail: lparahnenko@usurt.ru. ORCID 0000-0002-3757-7722. The article is recommended for publishing by D. A. Skutin, Candidate of Technical Sciences, Head of the Center for High-altitude Competencies, LLC «Organizing Committee «Builder». E-mail: daskutin@mail.ru.

Inna Leonidovna Parakhnenko, Candidate of Technical Sciences, Senior Lecturer; «Railway Track and Railway Construction» Department of the Ural State University of Railway Transport; Yekaterinburg, Russia. E-mail: lparahnenko@usurt.ru. ORCID 0000-0002-3757-7722.

Средняя грузонапряженность на сети железных дорог с 2014 по 2020 гг. ежегодно увеличивалась на 12,17 %; к 2025 г. предусмотрено увеличение грузооборота до 2,9 трлн т [1]. Этого можно достигнуть внедрением тяжеловесных составов, поездов увеличенной длины [2]. На сегодня средняя масса грузового состава увеличилась более чем на 600 т, и на основной части направлений составила 6300 т, а на отдельных направлениях доходит до 7100 т. Пропуск составов 9000 т обеспечит создание и внедрение новейших локомотивов повышенной мощности [3]. Повышение нагрузки на ось с 23,5 до 27 тс, а в перспективе и до 30 тс приведет к повышенному воздействию таких поездов на железнодорожный путь.

Увеличение массы состава потребует изменения тяговых характеристик поезда. В зарубежной литературе описана работа тяжеловесных линий с акцентом на режимах используемых при движении грузовых составов. Отмечено возникновение сил повышенной величины при тяге и при торможении поездов ($Q = 20000$ т) [4]. Отечественные ученые отметили влияние неравномерного движения поезда на поперечную устойчивость пути и силы взаимодействия, возникающие в зоне контакта колеса и рельса [5]. Результаты моделирования движения подвижного состава, обеспечивающие режим тяги и режим торможения, и проведенные

эксперименты на участках обращения вагонов с нагрузкой до 27 тс выявили, что расстройств железнодорожного пути увеличиваются до 1,5 раз при максимальном тяговом режиме. На участках, где применяется режим служебного торможения, расстройств образуются в ~1,7 раза чаще, чем при движении в режиме холостого хода [6].

Взаимодействие экипажа и железнодорожного пути характеризуется скоростью, влияющей на динамические процессы, а также параметрами рельсовой колеи в плане и профиле, внешними воздействиями, что напрямую связано с безопасностью движения.

Особое внимание при анализе движения подвижного состава следует акцентировать на возникающих силах. Опираясь на практические и теоретические исследования, следует выделить вертикальную, боковую, продольную силы, максимально влияющие на взаимодействия колеса и рельса (рис. 1).

Оценить и проанализировать силовое взаимодействие с помощью реального моделирования позволяет программный комплекс «Универсальный механизм» [8]. Результаты моделирования обработаны с использованием методов регрессионного и корреляционного анализа, а также с применением теории тяговых расчетов.

В качестве модели созданы два варианта подвижного состава длиной 968 м,

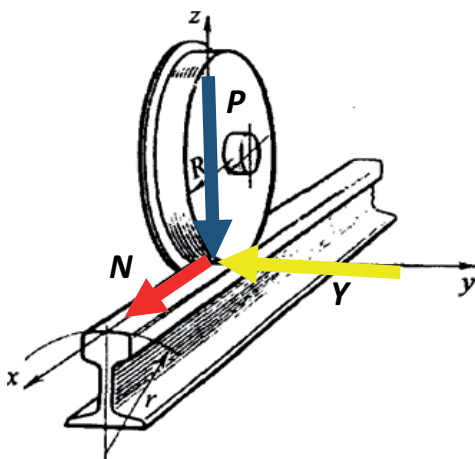


Рис. 1. Система координат, определяющая проекции силового воздействия колеса на рельс

P (проекция на ось z) – вертикальное воздействие колеса на рельс, препятствующее набеганию колеса на рельс. Напрямую влияет на крепления и напряжения в рельсовой колее, передается на балластный слой, определяет деградацию пути; N (суммарная проекция на ось x) – продольные силы взаимодействия. Влияют на виляния экипажа, вызывают уменьшение вертикальных сил; Y (сумма проекций на ось y) – боковая сила. Определяет расстройств пути в плане [7]



Рис. 2. Схема расстановки 3D-вагонов в составе поезда

нагрузками на ось 23,5 тс (6494 т) и 27 тс (7461 т) с включенными 3D-грузовыми вагонами, позволяющими получить числовые значения рассматриваемых сил. Вагоны расставлялись в разных частях состава; итоговые значения – это среднее арифметическое, полученное по итогам многовариантного моделирования (рис. 2) [9].

Задана макрогеометрия реально-го участка Свердловской железной дороги (рис. 3). Расчет проводился для трёх скоростных режимов, разрешенных на рассматриваемом участке: 40, 60 и 80 км/ч.

В результате моделирования получены числовые значения продольных и боковых сил при движении состава с нагрузками на ось 23,5 тс и 27 тс, представленные в таблице.

Полученные результаты говорят, что увеличение нагрузки на ось грузового состава с 23,5 до 27 тс повлияет на рассматриваемые силы взаимодействия в кривых участках при всех рассматриваемых радиусах. Продольные

силы в среднем увеличиваются на 9 %. Боковые силы могут возрастать до 28 %; максимальная разница наблюдается при скорости 40 км/ч (рис. 4).

Во время движения подвижного состава по железнодорожному пути следует выделить три основных режима: тяга, выбег и торможение. При движении в тяговом режиме на состав действуют сила тяги, вырабатываемая локомотивом, и сила сопротивления движению. При выбеге или в режиме холостого хода движение происходит по инерции. В момент торможения на поезд действуют сила торможения и силы сопротивления движению. Любой из рассматриваемых режимов разрушающе воздействует на железнодорожную путь.

При экспериментальных измерениях и теоретических расчетах сил взаимодействия в основном рассматривается холостой ход (выбег) движения экипажа [10]. Но пока в научных кругах нет однозначного ответа на вопрос: «Как режим ведения поезда влияет на

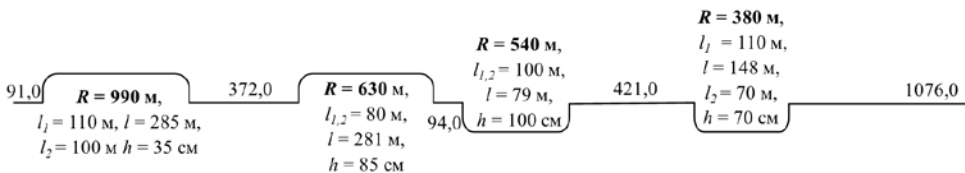


Рис. 3. Параметры плана рассматриваемого участка

Продольные и боковые силы при вариантах изменения нагрузки на ось

R, м		990	630	540	380	990	630	540	380
V, км/ч	Нагрузка, т/ось	Продольные силы, кН				Боковые силы, кН			
40	23,5	8,1	8,9	9,3	9,8	17,8	25,7	27,7	36,0
	27	8,6	9,5	9,9	10,2	20,2	30,1	32,4	42,0
60	23,5	8,3	7,9	9,3	10,2	18,2	24,4	27,3	36,6
	27	8,6	9,8	9,9	10,2	20,5	30,2	33,0	41,8
80	23,5	8,4	8,9	9,3	10,4	18,5	25,0	27,6	36,9
	27	8,5	9,8	9,8	10,5	20,5	30,0	32,9	42,3

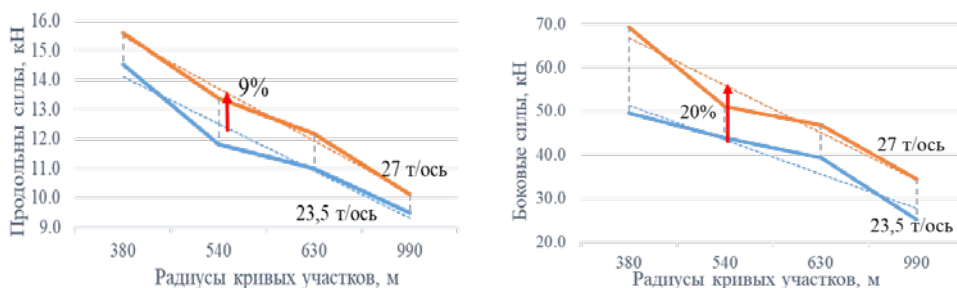


Рис. 4. Изменение продольных и боковых сил при изменении нагрузки на ось подвижного состава и скорости движения 40 км/ч

динамику взаимодействия пути и подвижного состава?»

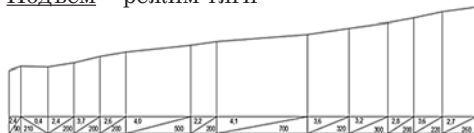
Нами проведено исследование влияния режима движения на основные силы, возникающие при взаимодействии колеса и рельса в кривых участках пути. На первом этапе построены продольные профили, обеспечивающие варианты движения (рис. 5). Далее с помощью «Искра-ПТР» произведены тяговые расчеты, на втором этапе полученные данные внесены в ПК «Универсальный механизм» [11].

По итогам моделирования построены графики для продольных и боковых сил при рассматриваемых вариантах движения для состава весом 6494 т (рис. 6).

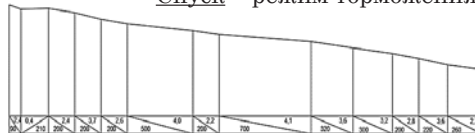
По результатам моделирования можно сделать вывод, что именно торможение – это режим, максимально влияющий на продольные и боковые силы. Как видно из рис. 6, при движении состава по кривой с $R = 380$ м продольные

силы на 8 % выше при таком режиме движения, чем при тяге, и на 4 % выше относительно выбега. В пологой кривой ($R = 990$ м) происходит рост боковых сил на 6,2 %, при $V = 40$ км/ч в режиме торможения по сравнению с движением в режиме тяги. При всех рассматриваемых вариантах кривых участков максимальная разница не превысила 10 %. Однако исследуемый профиль позволил рассмотреть лишь рабочие режимы движения составов в кривых участках «идеальной» макрогеометрии. Значения сил рассматривались как среднеарифметическое от всего состава; возможно, следует уделить внимание голове поезда и провести сравнение с силами, возникающими в хвосте и середине. Поэтому делать выводы о влиянии режима движения на силы, возникающие в зоне контакта колеса и рельса, преждевременно.

Подъем – режим тяги



Спуск – режим торможения



Спуск – режим выбега

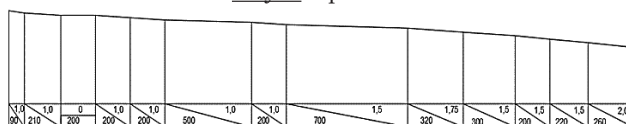


Рис. 5. Продольные профили рассматриваемого участка, обеспечивающие различные виды движения поезда

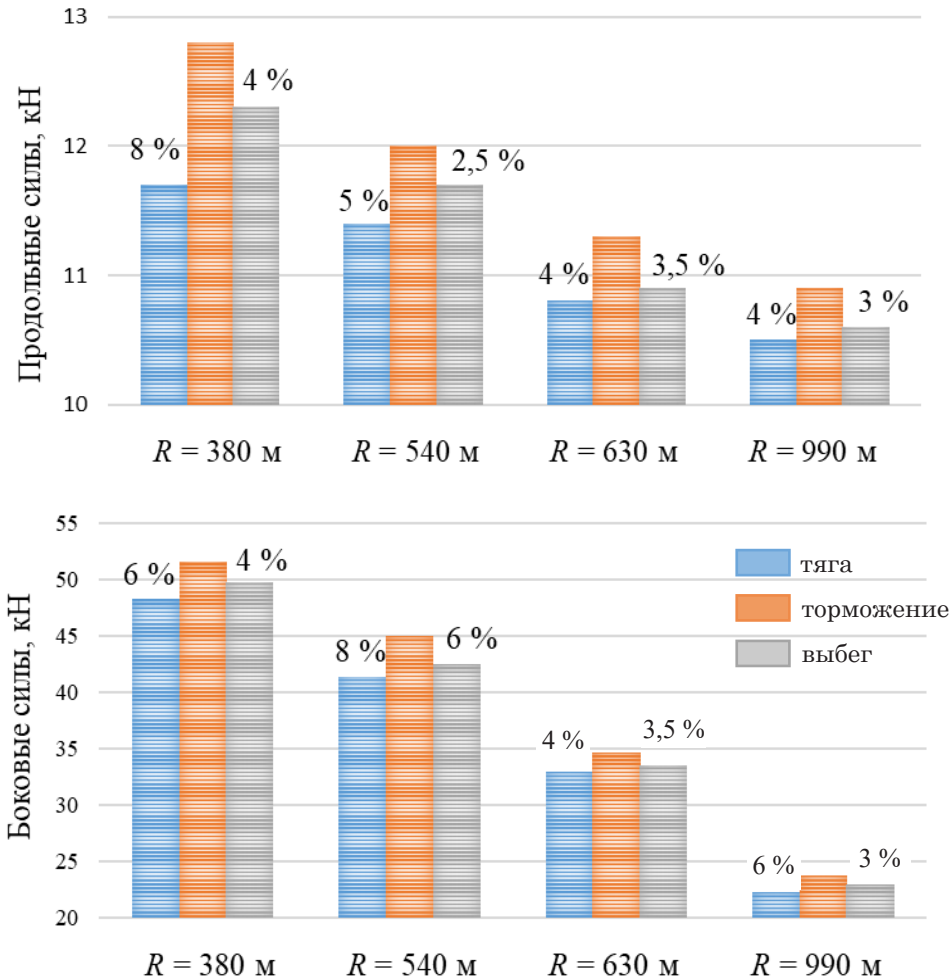


Рис. 6. Влияние режима движения подвижного состава на продольные и боковые силы при скорости 40 км/ч

Вывод

Внедрение тяжеловесного движения увеличивает силовое взаимодействие в контакте «колесо-рельс» от 9 до 28 %.

Режим ведения подвижного состава влияет на продольные и боковые силы, возникающие при контактировании колеса и рельса. Максимальное взаимодействие возникает при торможении. ■

Литература

1. Иванов П. А. Об эффективности технологии тяжеловесного движения и перспективах ее развития // Железнодорожный транспорт. 2016. № 10. С. 16–18. ISSN 0044-4448.
2. Гапанович В. А. Тяжеловесное движение: опыт, проблемы, задачи // Железнодорожный транспорт. М. : 2016. С. 10–15. ISSN 0044-4448.
3. Миронов А. Ю. Основная задача—предоставить клиенту выгодную схему доставки грузов и по цене, и по срокам // Гудок. – 2015. – № 134 (25803).
4. Обобщение мирового опыта тяжеловесного движения. Конструкция и содержание железнодорожной инфраструктуры / Роуни и др. ; пер. с англ. : ООО «Интекст» и С. М. Захаров. – М. : Интекст, 2012. 568 с. ISBN 978-5-89277-107-8.

5. Кобзев С. А. Продольно-динамические силы в поездах повышенной массы и длины // Вестник ВНИИЖТ. 2008. № 5. С. 5–13. ISSN 0869-8163.
6. Певзнер В. О., Белоцветова О. Ю., Шапетько К. В. Влияние режимов движения поездов на формирование расстройств пути // Вестник ВНИИЖТ. 2016. № 6. С. 349–353. ISSN 2223-9731.
7. Ромен Ю. С., Суслов О. А., Баляева А. А. Определение сил взаимодействия в системе «колесо-рельс» на основании измерений напряжений в шейке рельса // Вестник ВНИИЖТ. 2017. Т. 76. № 6. С. 354–361. ISSN 2223-9731.
8. Universal mechanism. URL: http://www.umlub.ru/news/index.php?sec_id=2 (дата обращения: 19.12.2021).
9. Парахненко И. Л. Анализ сил взаимодействия в контакте «колесо-рельс» при различных трибологических вариантах // Транспорт Урала. 2019. № 2 (61). С. 54–57. ISSN 1815-9400.
10. Певзнер В. О. Оценка работы пути, находящегося под воздействием продольных сил при реализации максимальных тяговых режимов при использовании электровозов с асинхронным тяговым приводом // Вестник ВНИИЖТ. 2020. Т. 79. № 4. С. 209–216. ISSN 2223-9731.
11. Парахненко И. Л. Исследование сил взаимодействия в контакте «колесо-рельс» при изменении трибологического состояния поверхности рельсов : дис. ... канд. техн. наук : 05.22.06 / Парахненко Инна Леонидовна. – СПб, 2021. 189 с.
12. Парахненко И. Л., Матюнин В. А. Влияние режимов ведения поезда на продольные и боковые силы, возникающие в кривых участках // Молодая наука Сибири. 2021. № 1 (11) С. 160–164. ISSN 2658-610X.

References

1. Ivanov P. A. On the effectiveness of heavy-weight traffic technology and the prospects for its development // Railway transport. [Ob ehffektivnosti tekhnologii tyazhelovesnogo dvizheniya i perspektivakh ee razvitiya // ZHeleznodorozhnyj transport.]. 2016. № 10. Pp. 16–18. ISSN 0044-4448.
2. Gapanovich V. A. Heavy-weight traffic: experience, problems, tasks // Railway transport. [Tyazhelovesnoe dvizhenie: opyt, problemy, zadachi // Zheleznodorozhnyj transport.] M. : 2016. Pp. 10–15. ISSN 0044-4448.
3. Mironov, A. Yu. The Main task is to provide the client with effective scheme of cargo delivery by price and terms // Gudok. [Osnovnaya zadacha—predostavit' klientu vygodnuyu skhemu dostavki грузов i po tsene, i po srokam // Gudok.] – 2015. – № 134 (25803).
4. Generalization of the world experience of the heavyweight movement. Construction and maintenance of railway infrastructure / Rooney et al. ; transl.from Engl. : LLC «Intext» and S. M. Zakharov. [Obobshhenie mirovogo opyta tyazhelovesnogo dvizheniya. Konstruktsiya i sodержание zheleznodorozhnoj infrastruktury / Rouni i dr. ; per. s angl. : ООО «Intekst» i S. M. Zakharov.] – M. : Intext, 2012. 568 p. ISBN 978-5-89277-107-8.
5. Kobzev A. S. Longitudinal dynamic forces in the trains of increased mass and length // Bulletin of SRIRT (Scientific Research Institute of Railway Transport). [Prodol'no-dinamicheskie sily v poezdakh povyshennoj massy i dliny // Vestnik VNIIZHT.] 2008. № 5. S. 5–13. ISSN 0869-8163.
6. Pevzner, V. O., Belotsvetova O. Yu., Shepitko V. K. Influence of train movement modes on the formation of track disorders // Bulletin of SRIRT (Scientific Research Institute of Railway Transport). [Vliyanie rezhimov dvizheniya poezdov na formirovanie rasstroystv puti // Vestnik VNIIZHT.] 2016. № 6. Pp. 349–353. ISSN 2223-9731.
7. Romen Yu. S., Suslov O. A., Balyaeva A. A. Determination of interaction forces in the wheel-rail system based on measurements of stresses in the rail neck // Bulletin of SRIRT (Scientific Research Institute of Railway Transport). [Opredelenie sil vzaimodeystviya v sisteme «koleso-rel's» na osnovanii izmerenij napryazhenij v shejke rel'sa // Vestnik VNIIZHT.] 2017. Vol. 76. № 6. Pp. 354–361. ISSN 2223-9731.
8. Universal mechanism. URL: http://www.umlub.ru/news/index.php?sec_id=2 (accessed on: 12/19/2021).
9. Parakhnenko I. L. Analysis of interaction forces in the «wheel-rail» contact with various tribological variants // Transport of the Urals. [Analiz sil vzaimodeystviya v kontakte

- «koleso-rel's» pri razlichnykh tribologicheskikh variantakh // Transport Urala.] 2019. № 2 (61). Pp.54–57. ISSN 1815-9400.
10. Pevsner V. O. Evaluation of the work of the track under the influence of longitudinal forces during implementation of maximum traction modes when using electric locomotives with asynchronous traction drive // Bulletin of SRIRT (Scientific Research Institute of Railway Transport). [Otsenka raboty puti, nakhodyashhegosya pod vozdeystviem prodol'nykh sil pri realizatsii maksimal'nykh tyagovykh rezhimov pri ispol'zovanii ehlektrovozov s asinkhronnym tyagovym privodom // Vestnik VNIIZHT.] 2020. Vol. 79. № 4. Pp. 209–216. ISSN 2223-9731.
 11. Parakhnenko I. L. Investigation of interaction forces in the «wheel-rail» contact when changing the tribological state of rail surface : dis. ... Candidate of Technical Sciences : 05.22.06 / Parakhnenko Inna Leonidovna. [Issledovanie sil vzaimodejstviya v kontakte «koleso-rel's» pri izmenenii tribologicheskogo sostoyaniya poverkhnosti rel'sov : dis. ... kand. tekhn. nauk : 05.22.06 / Parakhnenko Inna Leonidovna.] – St. Petersburg, 2021. 189 p.
 12. Parakhnenko I. L., Matyunin V. A. Influence of train driving modes on longitudinal and lateral forces arising in curved sections // Molodaya nauka Sibiri. [Vliyanie rezhimov vedeniya poezda na prodol'nye i bokovye sily, voznikayushhie v krivyykh uchastkakh // Molodaya nauka Sibiri.] 2021. № 1 (11). Pp. 160–164. ISSN 2658-610X.

Статья сдана в редакцию 20 декабря 2021 года

Р. Я. Сулейманов

Совершенствование системы авторегулирования тормозных режимов электропоезда с импульсным преобразователем

R. Ya. Sulejmanov

Improvement of the system of auto-regulation of braking modes of an electric train with a pulse converter

Аннотация

В статье рассматриваются особенности автоматического регулирования процесса электрического торможения электропоезда постоянного тока. Особенность этого процесса заключается в том, что тяговые двигатели переходят в генераторный режим работы для снижения скорости движения. Промышленные генераторы работают при постоянной скорости вращения и постоянном напряжении. На электроподвижном составе в режиме торможения электрические машины работают при непрерывно меняющейся скорости вращения. При этом ставится задача поддержания на постоянном уровне заданного значения тормозного усилия для обеспечения комфортных условий для пассажиров.

На теоретическом уровне для выполнения этой задачи достаточно поддерживать постоянным заданный тормозной ток при изменяющейся скорости вращения, что возможно осуществлять за счет регулирования тока возбуждения. В реальных

условиях тяговый двигатель проходит четыре скоростных зоны регулирования, для каждой из которых характерен свой алгоритм регулирования. По мере торможения можно выделить зону высоких скоростей, зону ниже ходовой скорости, где происходит процесс импульсного регулирования тока якоря (путем импульсного закорачивания цепи) и зону короткого замыкания цепи якоря. За ходовую скорость принимается скорость, при которой напряжение якоря равно сетевому при номинальном токе возбуждения.

В зоне высоких скоростей регулируется ток возбуждения, ниже этой скорости ток возбуждения поддерживается постоянной (номинальной) величины. Регулирование тока возбуждения осуществляется блоком управления под контролем токов якоря и возбуждения. Переходы из одной зоны в другую производится с помощью нелинейных элементов.

Если отношение приращения тока якоря к приращению тока возбуждения считать передаточной функ-

цией, то в зоне высоких скоростей эта функция оказывается непостоянной. Если настройку системы управления производить по отношению к наибольшей скорости движения, то в зоне пониженных скоростей быстроедействие системы в реакции на изменения напряжения в контактной сети будет недостаточным. При снижении скорости величина передаточной функции уменьшается, и эта зависимость приводит или к нежелательным автоколебаниям, или к замедлению процесса управления.

Для исключения автоколебаний и повышения качества регулирования предлагается в блоке управления предусмотреть возможность изменения коэффициента усиления регулятора тока якоря в зависимости от скорости движения и режима работы тягового электропривода.

Ключевые слова: электропоезд, тяговый двигатель, тормозной ток, ток возбуждения, авторегулирование, передаточная функция, операционный усилитель.

DOI: 10.20291/2079-0392-2022-1-72-80

Статья рекомендована к публикации М. Г. Дурандиным, канд. техн. наук, доцентом Уральского государственного университета путей сообщения. E-mail: mdurandin@e1.ru.

The article is recommended for publishing by M. G. Durandin, Candidate of Technical Sciences, Associate Professor of the Ural State University of Railway transport. E-mail: mdurandin@e1.ru.

Abstract

The article discusses the features of automatic regulation of the process of electric braking of a DC electric train. The peculiarity of this process is that traction engines switch to generator mode of operation to reduce the travelling speed. Industrial generators operate at a constant rotational speed and constant voltage. On an electric rolling stock in braking mode, electric machines operate at a continuously changing rotational speed. At the same time, the objective is to maintain a constant level of the set value of the braking force to ensure comfortable conditions for passengers.

At the theoretical level, to accomplish this task, it is sufficient to keep the specified braking current constant at a changing rotational speed, which can be done by regulating the excitation current. In real conditions, the traction engine passes through four high-speed control zones, each of them is characterized by its own control algorithm.

As braking progresses, it is possible to distinguish – a zone of high speeds, a zone below the running speed, where the process of pulse regulation of the armature current occurs (by pulse shorting of the circuit) and a zone of short-circuit of the armature circuit. The running speed is the speed at which the armature voltage is equal to the mains voltage at the rated excitation current.

Within a high-speed zone, the excitation current is regulated, below this speed, the excitation current is maintained at a constant (nominal) value. The regulation of the excitation current is carried out by the control unit of the armature and excitation currents. Transitions from one zone to another are made using nonlinear elements.

If the ratio of the armature current increment to the excitation current increment is considered as a transfer function, then in the high-speed zone this function is not constant. If a control system

is adjusted in relation to the highest speed of movement, then in the zone of reduced speeds, performance of the system in response to voltage changes in the contact network will be insufficient. When the speed decreases, the magnitude of the transfer function decreases, and this dependence leads either to undesirable self-oscillations, or to a slowdown in the control process.

In order to eliminate self-oscillations and improve the quality of regulation, it is proposed to provide in the control unit the possibility of changing the gain of the armature current regulator depending on the speed of movement and the operating mode of the traction electric drive.

Keywords: electric train, traction engine, braking current, excitation current, auto-regulation, transfer function, operational amplifier.

DOI: 10.20291/2079-0392-2022-1-72-80

Значительная часть пригородных пассажирских перевозок выполняется электропоездами постоянного тока. Частые остановки (посадка и высадка пассажиров) снижают техническую скорость движения, непроизводительно расходуется энергия пусковыми реостатами и тормозными колодками. Для ликвидации этих недостатков внедряется импульсное регулирование процесса пуска и электрического торможения электроподвижного состава.

Для управления импульсным регулированием применяют соответствующие системы управления. Система управления состоит из трех составляющих: устройство управления силовыми полупроводниковыми элементами, система управления средними значениями токов якоря и возбуждения (блок

управления средними величинами) и блок программных переключений [1–7]. В данном случае рассматривается только блок управления средними величинами.

Автоматическому управлению посредством этого блока подлежит тяговый электропривод в двух режимах работы – в разгонном тяговом и остановочном тормозном. Задачами тягового режима является плавное трогание с места с комфортным для пассажиров уровнем ускорения и разгон до заданной машинистом скорости движения. При этом можно выделить две зоны регулирования – с полным возбуждением тяговых двигателей и с ослабленным.

Такого же регулирования с использованием магнитного потока требует и тормозной режим в связи с необходимостью

перевода тяговых электродвигателей на независимое возбуждение. Посредством регулирования токов возбуждения становится возможным автоматизация процесса управления якорным током тяговых двигателей, а значит, и тормозным усилием всего электропоезда. При этом отмечается, что именно в тормозных режимах системы авторегулирования проявляют наибольшую склонность к вхождению в режим автоколебаний.

Предполагается, что тяговый генератор работает в широком диапазоне скоростей движения: от конструкционной, около 100 км/ч до нулевой, поддерживая при этом необходимую тормозную силу. Однако тяговый двигатель, работая в генераторном режиме, не может по своим параметрам выходить за определенные электрические ограничения. Смысл этих ограничений поясняется графиком изменения токов якоря и возбуждения, а также тормозной силы (рис. 1).

Так, в тяговом режиме при повышенных скоростях движения при сохранении номинальных значений токов якоря и возбуждения напряжение якорей тяговых электродвигателей может подниматься выше напряжения в контактной сети, что требует снижения тока возбуждения для сохранения тягового режима. С другой стороны, снижение возбуждения по коммутационным или потенциальным условиям потребует соответствующего снижения и тока якоря для сохранения безопасного соотношения

между ними. Совокупность таких взаимозависимых управлений в отношении нелинейного объекта регулирования негативно сказывается на устойчивости систем авторегулирования и заставляет предъявлять к ним повышенные требования в отношении показателей качества регулирования.

Приемлемое качество процессов авторегулирования может быть достигнуто введением как параллельных, так и последовательных функциональных звеньев в цепь регулирования. Для синтеза структуры и расчета параметров этих звеньев применяются методы корневой, корневых параметров, стандартных переходных характеристик, логарифмических амплитудных характеристик, а также метод компенсации регулятором больших постоянных времени объекта регулирования в системах подчиненного регулирования. Последний из них наименее трудоемкий, позволяет аналитическим способом получить передаточные функции регуляторов, обеспечивающих регулирование по так называемому оптимуму по модулю (МО). При этом перерегулирование составляет 4–7 %, что соответствует требованиям тягового привода и обеспечивает достаточный запас устойчивости. Однако применение этого метода ограничено требованием линейности характеристик объекта регулирования и постоянства коэффициентов.

Тяговый привод обладает не только нелинейной характеристикой, но и переменным коэффициентом усиления (как

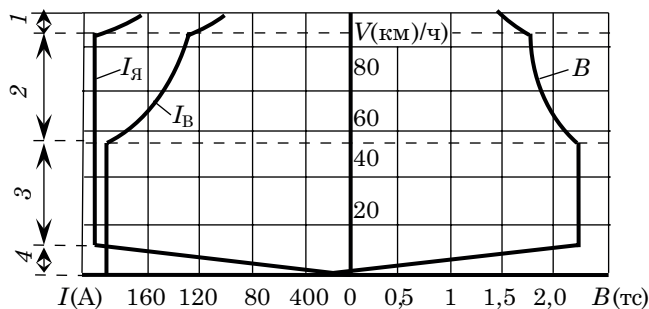


Рис. 1. Зависимость тока якоря $I_{я}$, возбуждения $I_{в}$ и тормозного усилия B от скорости движения

элемент системы регулирования). Поэтому расчет регуляторов должен быть выполнен для крайних и граничных участков характеристик при их кусочно-линейной аппроксимации с последующей проверкой качества регулирования.

Согласно методу компенсации, регулятором больших постоянных объекта регулирования передаточная функция регулятора ($G_{\text{рег}}$) определяется следующим образом:

$$G_{\text{рег}}(p) = \frac{1}{G_0 p b \sigma}, \quad (1)$$

где $G_0(p)$ – передаточная функция объекта регулирования без учета малых постоянных времени; b – коэффициент демпфирования ($b \sim 2$); σ – сумма малых постоянных времени ($\sigma = T_N/2$).

Для определения передаточной функции регулятора в контуре регулирования тока якоря в режиме тяги воспользуемся функциональной схемой (рис. 2), представленной без учета внутренней обратной связи по ЭДС. Отбрасывание обратной связи возможно из-за большой инерционности тягового привода.

По этой схеме можно записать передаточную функцию объекта регулирования:

$$G_0(p) = \frac{K_{\text{ип}} K_{\text{дтл}}}{R_3 (pT_y + 1)(pT_\mu + 1)(pT_3 + 1)}, \quad (2)$$

где $K_{\text{ип}}$ – коэффициент усиления силового импульсного преобразователя (ИП) со схемой импульсного усилителя ($K_{\text{ип}} = \Delta U_{\text{дв}}/\Delta U_{\text{рег}}$, так как регулировочная характеристика ИП линейна,

то этот коэффициент постоянен); $K_{\text{дтл}}$ – коэффициент передачи датчика тока якоря; R_3 – суммарное сопротивление в цепи якоря; T_y , T_μ – постоянная времени устройства импульсного управ-

ления и ИП $\left(T_y \approx 0, T_\mu = \frac{T_u}{2}\right)$, в дан-

ном случае постоянные, не компенсируемые регулятором; T_3 – постоянная времени якорной цепи.

Без учета малых постоянных времени эта функция принимает вид

$$G_0(p) = \frac{K_{\text{ип}} K_{\text{дтл}}}{R_3 (pT_3 + 1)}. \quad (3)$$

Тогда, согласно (1), регулятор должен иметь передаточную функцию пропорционально-интегрального регулятора (рис. 3), для которого

$$T_3 = C_0 R_0, K = \frac{1}{R_1 C_1}.$$

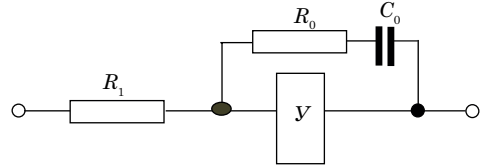


Рис. 3. Схема ПИ-регулятора

Замкнутый контур регулирования с таким регулятором будет иметь передаточную функцию:

$$G_3(p) = \frac{1}{1 + p b \sigma}. \quad (4)$$

Так как в выражении передаточной функции $G_3(p)$ имеется только малая постоянная времен (b), то быстродействие

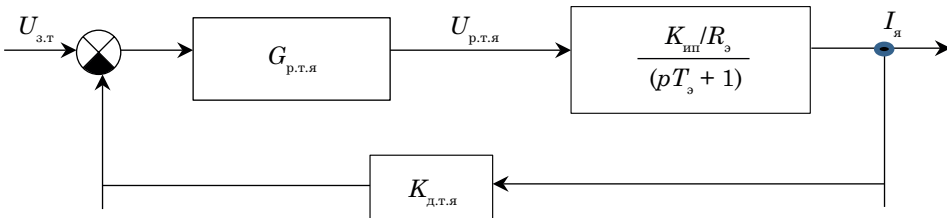


Рис. 2. Структурная схема замкнутой цепи регулирования тока якоря в моторном режиме

системы приближается к быстройдействию импульсного преобразователя. Выравнивание постоянных времени авторегулятора и объекта регулирования способствует повышению устойчивости всей системы.

В режиме торможения используется независимое возбуждение тяговых двигателей, превращающихся в электрические генераторы с широким диапазоном вращения якорей. У тяговых двигателей при этом имеются четыре зоны движения. Зона высоких скоростей (см. рис. 1, зона 1), где требуется ограничение ослабления магнитного поля, зона без ограничения (рис. 1, зона 2), зона при постоянном номинальном поле с регулированием закороченного состояния якоря (рис. 1, зона 3) и зона самой низкой скорости без регулирования (рис. 1, зона 4).

Сила торможения определяется силой якорного тока, поэтому его можно регулировать как одноконтурной, так и двухконтурной схемой подчиненного регулирования.

В тормозном режиме в связи с четырехзонным способом регулирования (см. рис. 1) имеется несколько функциональных и, следовательно, структурных схем. Наиболее простой схемой регулирования обладает тяговый привод в зоне скоростей ниже ходовой (рис. 1, зона 3). Здесь система распадается на два независимых контура регулирования: на контур стабилизации тока возбуждения и контур регулирования тока якоря. Как и в моторном режиме, регулировочная характеристика ИП линейна. Считая ИП непрерывным звеном

и отбрасывая внутреннюю обратную связь по ЭДС из-за малости приращения скорости движения, составляется структурная схема регулирования тока якоря. Эта схема аналогична контуру регулирования в моторном режиме и поэтому передаточная функция регулятора будет такой же, как в формуле (5).

Передаточная функция типового звена, заменяющего цепь возбуждения, с учетом влияния вихревых токов:

$$G_{\text{о.б}}(p) = \frac{K_{\text{ип.в}} K_{\text{д}}}{R_{\text{p}}} \frac{p T_{\text{в.т}} + 1}{p(T_{\text{p}} + T_{\text{p.т}}) + 1}, \quad (5)$$

где $K_{\text{ИП.В}}$ – коэффициент усиления ИП по каналу регулирования тока возбуждения (ввиду линейности характеристики $K_{\text{ИП.В}} = \text{const}$); $K_{\text{ДТВ}}$ – коэффициент передачи датчика тока возбуждения; $T_{\text{В}}$ – постоянная времени цепи возбуждения; $T_{\text{В.Т}}$ – постоянная времени вихревых токов.

Структурная схема контура регулирования в режиме торможения в зоне высоких скоростей согласно (рис. 1, зона 1) представлена на рис. 4.

Структурная схема контура регулирования тормозного режима в зоне высоких скоростей (рис. 1, зона 1) представлена на рис. 5. Здесь регулятором не компенсируется действие форсирующего звена ($pT_{вт} + 1$) по зависимости (5), так как оно компенсируется в цепи прямого канала. Поэтому в цепь обратной связи необходимо включить фильтр с передаточной функцией:

$$G_{\Phi}(p) = \frac{1}{pT_{\text{RT}} + 1}. \quad (6)$$

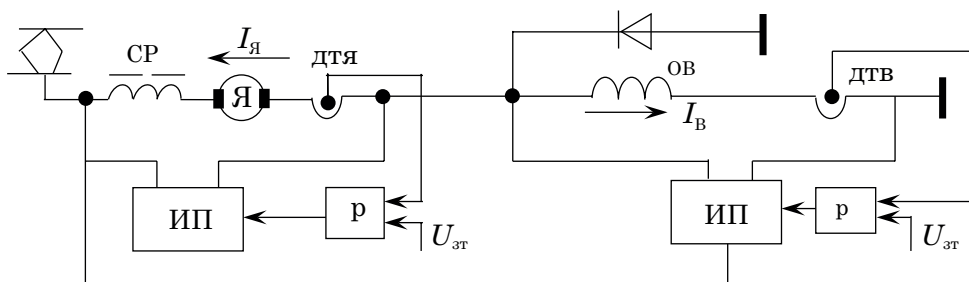


Рис. 4. Схема тягового режима в зоне торможения на низких скоростях

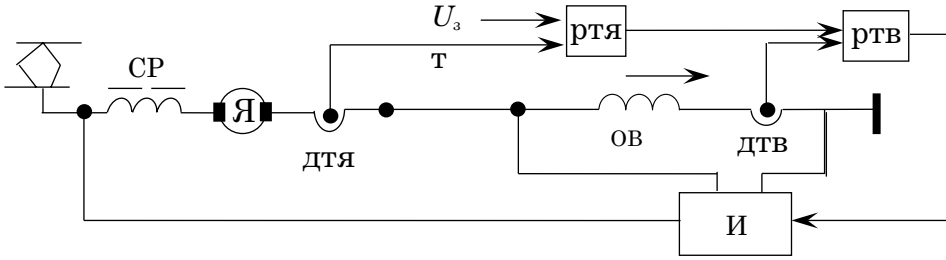


Рис. 5. Двухконтурная функциональная схема авторегулирования тормозного режима в зоне высоких скоростей движения

В зоне (см. рис. 1) высоких скоростей движения I , где ослабление поля может быть глубже допустимого уровня, необходимо снизить уставку тока под контролем системы авторегулирования. В качестве сигнала управления здесь можно использовать величину β ($\Delta I = \beta I_{\text{я}} - I_{\text{в}}$). Напряжение, пропорциональное этой разности, поданное на вход регулятора тока якоря в качестве обратной связи в той же полярности, что и напряжение датчика тока якоря, будет снижать заданное значение тока якоря. Эта обратная связь действует параллельно основной обратной связи. Как показали экспериментальные исследования, при этом нарушается устойчивость регулирования, что требует принятия дополнительных мер по стабилизации процесса.

Для разомкнутой цепи регулирования тока якоря по основной цепи обратной связи (ООС) относительно управляющего воздействия имеем:

$$G_{\text{раз}}(p) = G_{\text{ртя}}(p)G_{\text{ов}}(p)\dot{G}_{\text{оя}}(p), \quad (7) \quad G_{\text{дос}}(p) = G_{\text{ртя}}(p)G_{\text{ов}}(p)[\dot{G}_{\text{оя}}(p) - 1], \quad (11)$$

где $\dot{G}_{\text{оя}}(p)$ – передаточная функция цепи якоря при управлении через ток возбуждения.

По структурной схеме (см. рис. 5) ток возбуждения определяется как

$$I_{\text{в}}(p) = U_{\text{з.т}} G_{\text{дтя}}(p) G_{\text{ов}}(p), \quad (8)$$

а ток якоря

$$I_{\text{я}}(p) = U_{\text{з.т}} G_{\text{ртя}}(p) G_{\text{ов}}(p) \dot{G}_{\text{оя}}(p). \quad (9)$$

Записав (9) в операторной форме и подставив в него (7) и (8), имеем:

$$\Delta I(p) = U_{\text{з.т}} [G_{\text{ртя}}(p)G_{\text{ов}}(p)\dot{G}_{\text{оя}}(p) - G_{\text{ртя}}(p)G_{\text{ов}}(p)\dot{G}_{\text{оя}}(p)]. \quad (10)$$

Получаем передаточную функцию по цепи дополнительной обратной связи:

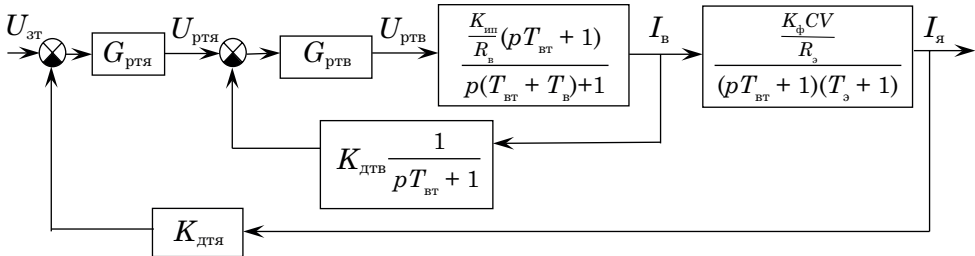


Рис. 6. Двухконтурная структурная схема авторегулирования в режиме торможения в зоне высоких скоростей движения

которая значительно отличается от передаточной функции (7) по цепи обратной связи датчика тока. Включение в цепь датчика тока возбуждения инерционного тока с постоянной времени, равной постоянной якорной цепи якоря, приводит к изменению передаточной функции по цепи возбуждения, т.е.:

$$I_{\text{в}}(p) = U_{\text{зт}} \left[G_{\text{ртя}}(p) G_{\text{ов}}(p) \frac{\dot{G}_{\text{оя}}(p)}{KV} \right], \quad (12)$$

где $K = K_{\text{ф}} C / R_{\text{я}}$.

Тогда имеем передаточную функцию по цепи дополнительной обратной связи:

$$G_{\text{дос}}(p) = G_{\text{ртя}}(p) G_{\text{ов}}(p) \times \left[\dot{G}_{\text{оя}}(p) \left(\beta - \frac{1}{KV} \right) \right]. \quad (13)$$

Это выражение отличается от (12) только коэффициентом $\left(\beta - \frac{1}{KV} \right)$, значение которого находится в пределах 0,2–0,5. Так как при параллельном соединении звеньев, в том числе и в цепи обратной связи, передаточные функции складываются, то здесь из-за их однородности будут складываться коэффициенты усиления, что уменьшает запас оптимизационной устойчивости.

Использование одного и того же регулятора во всех режимах при изменяющейся системной структуре приводит к тому, что его передаточная функция отвечает условиям (МО) только в одном режиме. Очевидно, что в отношении остальных режимов условие устойчивости регулирования остается обязательным. Поэтому схема регулятора тока якоря предусматривает изменение коэффициента усиления в зависимости от скорости движения и режима работы электропривода.

Схема фрагмента регулятора тока якоря с изменяющимся коэффициентом регулирования приведена на рис. 7.

Регулятор состоит из двух частей. Первая часть (Y_1) – усилитель разности сигналов. Далее этот сигнал поступает на вход пропорционально-интегрального усилителя (Y_2). На выходе этого усилителя формируется сигнал, пропорциональный выходному напряжению импульсного регулятора. Этот сигнал, в свою очередь, является распорядительной функцией для ослабления усиления регулятора, т.е. цепочка R_7 , реле РТ, транзистор T_1 , R_8 , конденсатор C_2 , R_5 , R_9 , R_{10} .

Эта цепочка работает следующим образом. Выходное напряжение регулятора тока якоря через делитель напряжения (R_9 , R_{10}) подается на вход инвертирующего транзистора T_1 , который

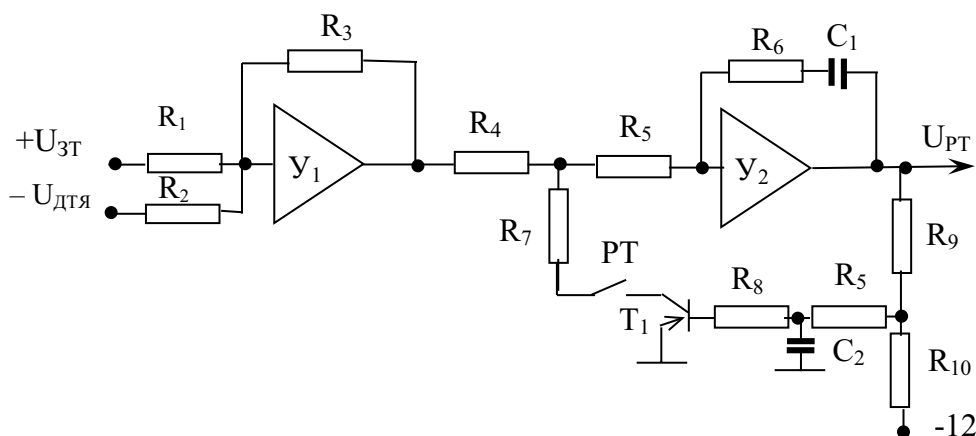


Рис. 7. Фрагмент схемы регулирования с регулятором коэффициента усиления

образует делитель сопротивления вместе с R_7 и R_4 . Для стабилизации процесса включается конденсатор C_2 . При высокой скорости коэффициент усиления становится маленьким, с понижением скорости он падает. В результате изменения коэффициента усиления система

управления получает удовлетворительный результат регулирования во всем диапазоне работы. Регулятор, собранный по предложенной схеме, показал удовлетворительные результаты при длительной работе. ■

Литература

1. Гаврилов Я. И. Вагон метрополитена с импульсным регулированием скорости при пуске и торможении / В. С. Хвостов, Я. И. Гаврилов // Электричество. – № 9. 1972. С. 19–25. ISSN 0013-5380.
2. Некрасов В. И. Импульсное управление тяговыми двигателями подвижного состава постоянного тока // Труды ЛИИЖТа. – 1972. – С. 89. ISSN 1816-1928.
3. Тулупов В. Д. Автоматическое регулирование сил тяги и торможения электроподвижного состава. – М. : Транспорт, 1976. – С. 56.
4. Феоктистов В. П. Устойчивость рекуперативного торможения в тяговом электроприводе с импульсным регулированием / В. П. Феоктистов, С. С. Борисенков, Ко Ко Хтет // Электроника и электрооборудование транспорта. – 2014. – № 2. – С. 22–23. ISSN 1812-6782.
5. Феоктистов В. П. Тяговый электродвигатель постоянного тока как звено системы автоматического регулирования электропоезда / В. П. Феоктистов, С. С. Борисенков, Ко Ко Хтет // Электроника и электрооборудование транспорта. – 2012. – № 4. – С. 27–29. ISSN 1812-6782.
6. Нелинейная электротехника / Е. Филиппов : [учеб. пособие для вузов] : пер. с нем. А. З. Кулебякина ; под ред. А. Б. Тимофеева 2-е изд., перераб. и доп. М. : Энергия, 1976. 496 с.
7. Семенов И. В. Повышение эффективности систем рекуперативного торможения электропоездов постоянного тока пригородного сообщения : дисс. ... на соиск. уч. ст. канд. техн. наук. – М. : МИИТ, 2003. – 198 с.

References

1. Gavrilov Ya. I. A subway railcar with pulse speed control during start-up and braking / V. S. Khvostov, Ya. I. Gavrilov // Electricity. [Vagon metropolitena s impul'snym regulirovaniem skorosti pri puske i tormozhenii / V. S. Khvostov, YA. I. Gavrilov // Ehlektrichestvo.] – № 9. 1972. Pp. 19–25. ISSN 0013-5380.
2. Nekrasov V. I. Pulse control of traction motors of DC rolling stock // Proceedings of SPSTU (Emperor Alexander I St. Petersburg State Transport University). [Impul'snoe upravlenie tyagovymi dvigatelyami podvizhnogo sostava postoyannogo toka // Trudy LIIZHTa.] – 1972. – P. 89. ISSN 1816-1928.
3. Tulupov V. D. Automatic regulation of traction and braking forces of an electric rolling stock. [Avtomaticheskoe regulirovanie sil tyagi i tormozheniya ehlektropodvizhnogo sostava.] – M. : Transport, 1976. – P. 56.
4. Feoktistov V. P. Stability of regenerative braking in traction electric drive with pulse regulation / V. P. Feoktistov, S. S. Borisenkov, Ko Ko Khtet // Electronics and electrical equipment of transport. [Ustojchivost' rekuperativnogo tormozheniya v tyagovom ehlektroprivoде s impul'snym regulirovaniem / V. P. Feoktistov, S. S. Borisenkov, Ko Ko Khtet // Ehlektronika i ehlektooborudovanie transporta.] – 2014. – № 2. – Pp. 22–23. ISSN 1812-6782.
5. Feoktistov V. P. A traction DC electric engine as a link in the automatic control system of an electric train / V. P. Feoktistov, S. S. Borisenkov, Ko Ko Khtet // Electronics and electrical equipment of transport. [Tyagovyy ehlektrodvigatel' postoyannogo toka kak zveno sistemy avtomaticheskogo regulirovaniya ehlektropoezda / V. P. Feoktistov, S. S. Borisenkov, Ko Ko Khtet // Ehlektronika i ehlektooborudovanie transporta.] – 2012. – № 4. – Pp. 27–29. ISSN 1812-6782.
6. Nonlinear electrical engineering / E. Filippov : [textbook. manual for universities] : translated from German by A. Z. Kulebyakin ; edited by A. B. Timofeyev, 2nd ed., reprint.

and enlarged. М. : Energiya, [Nelinejnaya ehlektrotehnika / E. Filippov : [ucheb. posobie dlya vuzov] : per. s nem. A. Z. Kulebyakina ; pod red. A. B. Timofeeva 2-e izd., pererab. i dop. М. : Ehnergiya] 1976. 496 p.

7. Semenov I. V. Improving the efficiency of regenerative braking systems of DC suburban electric trains : diss. ... for the degree of Candidate of Technical Sciences. – М. : МИИТ, 2003 – 198 p.

Статья сдана в редакцию 27 сентября 2021 года

Редакция «Вестника УрГУПС» благодарит
М. Г. Дурандина за помощь в работе над статьей

Организация и логистика

УДК 656.224

Н. Ю. Евреенова, К. А. Калинин, А. Д. Ершов

Разработка прогнозной модели неравномерного входящего потока транспортно-логистического центра

UDC 656.224

N. Y. Evreenova, K. A. Kalinin, A. D. Ershov

Development of a predictive model of an uneven incoming flow of a transport and logistics center

Аннотация

В статье рассматривается проблематика неравномерности прибытия транспортных средств в транспортно-логистический центр (ТЛЦ) и выявляются эксплуатационные задачи, возникающие в момент перегрузки груза между различными видами транспорта. Определены эффекты от нерационального использования погрузо-разгрузочных машин и способы уменьшения выявленного негативного влияния.

Выделены основные подходы к моделированию моментов прибытия транспортных средств при составлении технологических документов работы логистического

комплекса (контактный график работы комплекса, графика движения поездов на примыкающем участке) и суточного план-графика работы станции примыкания. Равномерный подвод транспортных средств, характерный при диспетчеризации подвода видов транспорта, актуален для моделирования работы подач групп вагонов на терминал. При неравномерном прибытии транспортных средств выделяются участки концентрированного и разреженного подвода транспортных средств. Для этих периодов определены причины простоев и нерационального повышения эксплуатационных расходов

на переработку одной тонны или интермодальной единицы груза.

Для определения характера внутрисуточной неравномерности подвода автотранспорта разработан метод, основанный на выявлении функциональной зависимости прибытия транспорта в течение суток и построении соответствующей гистограммы распределения прибытия транспортных средств, соответствующей выделенным временным промежуткам в течение суток, что позволяет получить общие представления о характере поступления видов транспорта различных параметров.

Статья рекомендована к публикации И. Громовым, канд. техн. наук, начальником отдела по таможенной деятельности, СВР ТЦФТО ОАО «РЖД». E-mail: idgromov@svrw.ru. Надежда Юрьевна Евреенова, канд. техн. наук, доцент; кафедра «Управление транспортным бизнесом и интеллектуальные системы» Российского университета транспорта (МИИТ). Москва, Россия. E-mail: nevreenova@mail.ru. ORCID 0000-0003-4616-4281.

Кирилл Антонович Калинин, ассистент; кафедра «Управление транспортным бизнесом и интеллектуальные системы» Российского университета транспорта (МИИТ). Москва, Россия. E-mail: Kalinin.k.a@mail.ru. ORCID 0000-0001-6155-0012.

Андрей Дмитриевич Ершов, ассистент; кафедра «Управление транспортным бизнесом и интеллектуальные системы» Российского университета транспорта (МИИТ). Москва, Россия. E-mail: mailrabochiy1@mail.ru. ORCID 0000-0002-6560-5567.

The article is recommended for publishing by I. Gromov, Candidate of Technical Sciences, Head of the Customs Department, SVR TCFTO of JSC «Russian Railways». Moscow, Russia. E-mail: idgromov@svrw.ru.

Nadezhda Yur'evna Evreenova, Candidate of Technical Sciences, Associate Professor; «Transport Business Management and Intelligent Systems» Department of the Russian University of Transport (MIIT). Moscow, Russia. E-mail: nevreenova@mail.ru. ORCID 0000-0003-4616-4281.

Kirill Antonovich Kalinin, Assistant; «Transport Business Management and Intelligent Systems» Department of the Russian University of Transport (MIIT). Moscow, Russia. E-mail: Kalinin.k.a@mail.ru. ORCID 0000-0001-6155-0012.

Andrey Dmitriyevich Ershov, Assistant; «Transport Business Management and Intelligent Systems» Department of the Russian University of Transport (MIIT). Moscow, Russia. E-mail: mailrabochiy1@mail.ru. ORCID 0000-0002-6560-5567.

Моделируя работу терминально-логистического комплекса в условиях рыночной экономики с непредсказуемыми моментами прибытия автотранспортных средств и неравномерного прибытия транспорта, особое внимание при разработке технологии необходимо уделить режиму работы погрузо-разгрузочных машин и бригад в разное время суток. Выделение периодов сгущенного и разреженного подвода транспорта позволяет скорректировать работу терминала для оптимизации эксплуатационных затрат и снижения общей себестоимости переработки груза, а привлечение в пиковые периоды дополнительных перерабатывающих мощностей позволит минимизировать простои транспортных средств в ожидании переработки.

Ключевые слова: терминально-логистический комплекс, контейнерная перевозка, моделирование, неравномерный подвод, прямая перегрузка, мультимодальная перевозка, интермодальная перевозка.

DOI: 10.20291/2079-0392-2022-1-81-91

Abstract

The article discusses the problems of uneven arrival of vehicles at the transport and logistics center (TLC) and

identifies operational problems that arise at the time of cargo transshipment between different modes of transport. The effects of the irrational use of loading and unloading machines and ways to reduce the identified negative impact are determined.

The main approaches to modeling the moments of arrival of vehicles in the preparation of technological documents for the operation of the logistics complex (contact schedule of the complex, the schedule of trains on the adjacent section) and the daily schedule of the work of the junction station are highlighted. The uniform supply of vehicles, characteristic of dispatching the supply of modes of transport, is relevant for modeling the operation of the supply of groups of wagons to the terminal. In case of uneven arrival of vehicles, areas of concentrated and sparse supply of vehicles are allocated. For these periods, the reasons for downtime and irrational increase in operating costs for processing one ton or intermodal unit of cargo are determined.

In order to determine the nature of intra-day irregularity of the supply of vehicles, a method has been developed based on identifying the functional dependence of the arri-

val of vehicles during the day and constructing an appropriate histogram of the distribution of the arrival of vehicles corresponding to the selected time intervals during the day, which allows us to get a general idea of the nature of the arrival of modes of transport of various parameters.

Modeling the operation of the terminal and logistics complex in the market economy with unpredictable moments of arrival of vehicles and uneven arrival of transport, special attention should be paid to the mode of operation of loading and unloading machines and crews at different times of the day when developing the technology. The allocation of periods of condensed and sparse supply of transport enables us to adjust the operation of the terminal to optimize operating costs and reduce the total cost of cargo processing, and the attraction of additional processing capacities during peak periods will minimize downtime of vehicles waiting for processing.

Keywords: terminal and logistics complex, container transportation, modeling, uneven supply, direct transshipment, multimodal transportation, intermodal transportation.

DOI: 10.20291/2079-0392-2022-1-81-91

По критерию минимизации суммарных эксплуатационных и временных затрат рационален вариант перегрузки груза или интермодальной транспортной тары между взаимодействующими на терминально-логистическом комплексе видами транспорта взаимодействующих видов транспорта – прямая перегрузка из одного подвижного состава в другой, минуя складские помещения [1, 2]. Однако образующаяся неравномерность в потребной

перерабатывающей мощности терминала в течение суток приводит к необходимости принятия управленческих решений о режимах работы существующих и внесение коррективов в проекты перспективных логистических центров. Внедрение новых технологий перевозочного процесса на железнодорожном транспорте [3–5], организация полимодальных и синхромодальных перевозок [6] (т.е. перевозок с динамическим переключением грузопотоков между

различными видами транспорта) в створе крупнейших транспортных коридоров [7], использование нестандартных видов транспортной тары [8] требует организации согласованного времени подвода подвижного состава взаимодействующих видов транспорта к пункту перегрузки, что, в свою очередь, требует моделирования работы терминально-логистического комплекса.

Моделировать работу (графическим, аналитическим и методом имитационного моделирования) терминально-логистического комплекса необходимо с учетом внутригодовой и внутрисуточной неравномерности движения грузов [9–11].

Проблематика неравномерности подвода различных видов транспорта

Структура и потребная перерабатывающая мощность контейнерного терминала в целом и отдельных его элементов зависит от характера прибытия и характеристик различных транспортных средств; в общем случае может быть описана как функция:

$$T_i = f(A_i; m_j; t; q_j; \Delta t; \varphi_i), \quad (1)$$

где T_i – количество перерабатывающих i -х элементов системы (фронт подачи вагонов, погрузо-разгрузочных машин и др.), ед; A_i – перерабатывающая

мощность i -го элемента логистического терминала, т/ч, конт./ч; m_j, t – количество прибывающих транспортных средств j -го вида транспорта в t -й период суток, ед.; q_j – емкость j -го вида транспорта, прибывающего на терминал, т, конт.; Δt – величина временного интервала между измеряемыми периодами, мин; φ_i – расчетная загрузка i -го элемента логистического терминала (в соответствии с теорией массового обслуживания [12], целесообразно принимать $\varphi_i \approx 85$), %.

При проектировании логистических терминалов и моделировании работы транспортных систем с примыкающей автомобильной и железнодорожной инфраструктурами [13] характер подвода различных видов транспорта может рассматриваться как равномерный и неравномерный.

Равномерный подвод транспортных средств представляет собой идеальное состояние логистической системы, при которой транспортные средства подаются для погрузки/выгрузки на терминале через установленные временные промежутки без изменения выбранного такта прибытия в течение суток. В подобных системах можно добиться минимизации эксплуатационных затрат на содержание погрузо-разгрузочной техники и фронт, минимизировать время переработки поступающего груза.

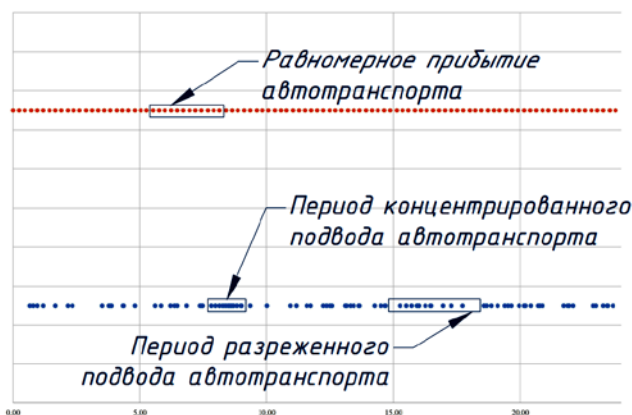


Рис. 1. Характер прибытия автотранспорта на ТЛЦ в условиях равномерного и неравномерного подвода

Если нет координации операторов прибывающего на логистический терминал автотранспорта, то появляется неравномерность прибытия транспортных средств и образования временных интервалов (периодов) концентрированного и разреженного прибытия автомобилей (рис. 1).

Период концентрированного прибытия транспортных средств характеризуется повышенной нагрузкой на все элементы i -го логистического терминала, в рассматриваемые периоды суток загрузка элементов может превышать допустимые значения $\varphi_i > 95$, тогда в логистической системе образуются непроизводительные простои, что увеличивает себестоимость и время переработки грузов на терминале. С увеличением емкости одного транспортного средства q_j эффект увеличения загрузки терминала становится более выраженным.

Период разреженного прибытия транспортных средств характеризуется низкой нагрузкой на все элементы i -го логистического терминала (в рассматриваемые периоды суток загрузка элементов может быть ниже $\varphi_i < 50$), тогда часть погрузо-разгрузочных машин и фронтов может простаивать. С уменьшением емкости одного транспортного средства q_j эффект уменьшения загрузки терминала становится более выраженным.

При моделировании работы вновь сооружаемой логистической инфраструктуры (если нет статистических данных о моментах прибытия на терминал транспортных средств) неравномерность прибытия может описана распределением случайных чисел по закону Эрланга [14, 15]. Тогда интервалы между транспортными средствами можно определить как

$$I_m = -\frac{1 \cdot 60}{K_3 \cdot \lambda_a} \ln(\Pi_{g=1}^{K_3} R_3), \quad (2)$$

где K_3 – параметр Эрланга; $\Pi_{g=1}^{K_3} R_3$ – произведение нескольких случайных чисел R_3 , от 1 до K_3 , распределенных по

закону Эрланга в интервале от 0 до 1; λ_a – интенсивность поступления автопоездов в терминально-логистический комплекс, авт./ч.

Фрагмент расчета времени прибытия транспортных средств на ТЛЦ представлен в таблице 1.

Таблица 1

Фрагмент моделирования работы терминально-логистического комплекса

№ п/п	R_3	I_a , мин	Момент прибытия автотранспорта на ТЛЦ, $t_{\text{факт}}$
1	0,22719	18	8,18
2	0,10907	5	8,26
...
15	0,92101	7	9,03
16	0,82127	2	9,05
...
P	R_3^P	I_a^P	$t_{\text{факт}}^P$

Определение характера подвода видов транспорта методом построения гистограмм

При анализе работы функционирующих ТЛЦ, располагая данными, полученными из информационных систем электронного документооборота (для железнодорожных перевозок в качестве такой системы может выступать АС ЭТРАН, а для автомобильных перевозок – программный комплект 1С: «Управление предприятием, раздел “Транспорт”») о фактических моментах прибытия транспортных средств за рассматриваемый период, можно провести анализ особенностей прибытия транспортных средств в рассматриваемый ТЛЦ (рис. 2).

Для принятия своевременных управленческих решений о режиме работы логистического терминала или необходимой диспетчеризации проведем статистический анализ с применением метода гистограмм [13]. Суть метода сводится к построению гистограммы распределения значений прибытия

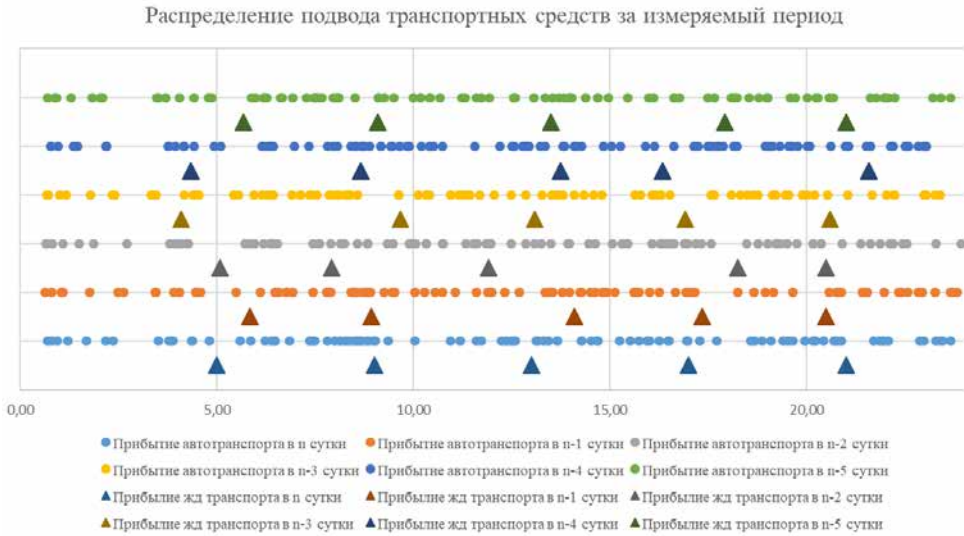


Рис. 2. Фактические моменты прибытия транспортных средств с $n-5$ до n рассматриваемых суток

транспортных средств на логистический терминал в укрупненных (часовых) временных промежутках. После построения соответствующей гистограммы суточной неравномерности прибытия автотранспорта, располагая информацией о планируемых объемах поступления груза в расчетный день, моделируется прибытие транспортных средств.

Рассматриваемый объем статистической выборки необходимо распределить по часовым интервалам (таблица 2) и соответствующим разрядам гистограммы, в результате этого получим h_t – количество отчетов, попавших в t -й разряд гистограммы:

$$t \in [1...T], \quad (3)$$

где T – общее число разрядов гистограммы (при анализе часовых объемов ввоза $T = 24$).

$$\sum_{t=1}^T m_t = M, \quad (4)$$

где $\sum_{t=1}^T m_t$ – общий объем статистической выборки.

$$a_t = \frac{m_t}{M}, \quad (5)$$

где a_t – частота попадания случайной величины в t -й разряд гистограммы.

Численная внутрисуточная неравномерность прибытия автотранспорта представлена на рис. 3.

На основе полученной гистограммы распределения величин $m_{j,t}$ поступающих транспортных средств, согласно закону распределения случайных чисел можно определить числовые параметры, отражающие свойства поступающего на ТЛЦ потока.

Числовые характеристики

Математическое ожидание поступающих транспортных средств за расчетный период (час) определяется как среднее значение статистической величины за рассматриваемый период. Расчет математического ожидания производится на каждый отчетный момент времени k :

$$M_j(m_j) = \sum_{t=1}^{24} a_k \cdot m_{j,t}, \quad (6)$$

где $m_{j,t}$ – фактическое значение t -го интервала гистограммы.

Таблица 2

Распределение прибытия транспортных средств в ТЛЦ по часовым интервалам*

	1	2	3	4	5	6	7	8	9	10	11	12	13	14	15	16	17	18	19	20	21	22	23	24
<i>n</i>	3	2	2	4	3	2	5	4	12	3	2	3	5	6	5	4	7	2	3	5	7	4	3	4
<i>n-1</i>	2	3	2	3	4	1	7	5	9	3	4	5	2	5	7	5	5	2	3	2	4	4	5	4
<i>n-2</i>	3	3	1	3	4	3	5	6	5	4	6	6	2	5	2	4	11	3	2	6	4	3	4	2
<i>n-3</i>	2	3	2	3	4	3	5	7	7	2	5	6	3	7	4	2	6	2	5	6	3	2	4	3
<i>n-4</i>	3	2	2	3	4	1	8	3	8	7	4	1	8	4	4	3	2	7	3	6	4	3	6	1
<i>n-5</i>	3	2	2	3	5	2	6	7	4	4	6	5	2	7	5	2	4	2	7	3	5	4	2	3
<i>n-6</i>	3	2	2	4	4	3	4	2	6	9	3	3	8	3	9	5	2	4	2	5	3	1	5	1
<i>n-7</i>	2	3	2	4	2	3	4	10	5	5	3	7	3	2	6	8	1	7	1	7	5	0	3	2
<i>n-8</i>	3	2	2	3	3	3	5	3	12	3	3	4	4	6	5	5	4	5	4	6	2	1	4	3
<i>n-9</i>	2	4	1	2	4	2	8	2	9	5	6	2	4	4	6	6	5	5	4	3	3	4	2	2
<i>n-10</i>	3	2	2	2	4	1	4	8	8	6	2	3	6	7	4	8	2	6	2	4	3	3	4	3
<i>n-11</i>	3	2	2	3	3	5	3	5	7	6	4	3	6	3	3	6	5	4	7	5	2	1	4	6
<i>n-12</i>	2	4	1	3	3	3	5	8	7	3	3	4	9	5	2	4	3	4	5	4	7	4	3	0
<i>n-13</i>	3	2	2	3	3	3	3	8	7	5	5	3	6	3	1	10	3	6	1	6	4	5	3	3
<i>n-14</i>	3	2	2	4	2	3	3	3	7	9	3	7	5	7	3	3	5	5	3	3	5	7	2	3
<i>n-15</i>	2	4	1	3	4	1	4	6	7	7	6	5	2	6	6	5	1	6	2	2	1	9	4	4
<i>n-16</i>	3	2	2	2	5	7	0	6	9	4	2	3	9	5	5	3	5	6	1	7	1	3	5	3
<i>n-17</i>	2	3	2	3	3	4	4	6	10	5	0	5	5	5	4	5	5	3	5	5	4	2	3	2
<i>n-18</i>	2	3	2	5	2	3	4	5	6	7	4	3	4	8	5	4	3	6	10	1	2	2	5	2
<i>n-19</i>	3	2	2	2	5	2	5	6	6	5	4	4	7	7	2	3	3	4	3	7	4	4	7	1
<i>n-20</i>	3	2	2	2	5	2	6	6	7	5	4	1	4	9	3	6	2	5	5	4	5	4	0	6
<i>n-21</i>	3	2	2	4	2	3	4	7	8	5	6	5	3	5	3	4	7	6	3	2	4	2	4	1
<i>n-22</i>	2	3	2	4	3	2	4	7	5	9	1	5	7	3	7	2	4	5	4	3	3	7	3	2
<i>n-23</i>	2	3	2	3	4	1	3	9	9	3	3	4	6	7	7	1	7	3	2	4	6	2	4	3
<i>n-24</i>	2	3	2	4	4	2	3	8	10	2	2	2	5	6	4	6	5	4	5	5	4	4	2	1
<i>n-ζ</i>	3	3	1	4	3	1	6	9	5	4	3	6	2	6	7	4	2	4	8	1	2	3	5	4

* В таблице 2 цветовые выделения обозначают градиент степени концентрации прибытия транспортных средств каждый час, где зеленые ячейки – малая интенсивность прибытия, красные – интенсивное прибытие автотранспорта.

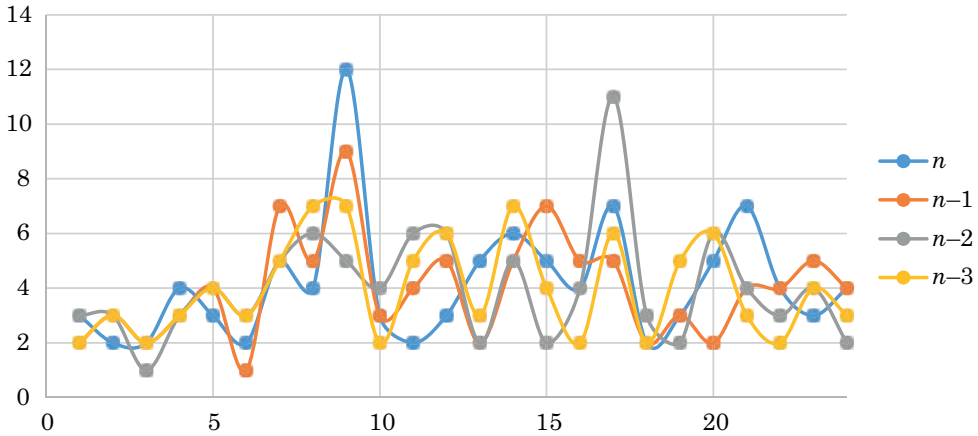


Рис. 3. Численная внутрисуточная неравномерность прибытия автотранспорта

Дисперсия – мера рассеивания статистической величины относительно ее среднего значения. Определяется отдельно для каждого j выборки.

$$D_j(m_j) = \sum_{t=1}^T (M(m_j) - m_{j,t})^2 \cdot a_t, \quad (7)$$

где $(M(m_j) - m_{j,t})^2$ – квадрат отклонения величины прибытия автотранспорта от ее математического ожидания $M(m_j)$.

Среднеквадратичное отклонение δ_j – мера рассеивания объема прибытия автотранспорта в рассматриваемый час t относительно ее математического ожидания $M(m_j)$.

$$\delta_j = \sqrt{D_j(m_j)}. \quad (8)$$

Коэффициент вариации v_j – мера относительного разброса поступления автотранспорта под грузовые операции в расчетный час t .

$$v_j = \frac{\delta_j}{M_j(m_j)}. \quad (9)$$

Для прогнозирования объемно-массовой доли поступающих грузов и прибытия автомобилей, приходящейся на t -й час суток, определим отношение математического ожидания прибытия автомобилей в t -й час к общему расчетному объему прибывающих транспортных средств:

$$\chi_j = \frac{M_j(m_j)}{m_{j,общ}}. \quad (10)$$

На основе полученных значений долевого распределения прибытия автотранспортных средств в t -й период определим колебания прибытия транспортных средств в рассматриваемые часы в течение суток:

$$\chi_j^{\max(\min)} = \chi_j \pm \chi_j \cdot v_j. \quad (11)$$

Определив общий характер неравномерности поступления транспортных средств в ТЛЦ и располагая информацией о прогнозных значениях суточного поступления автомобилей $m_{j,сут}$, можно определить ежемесячное распределение этой величины по формулам:

$$m_{j,t} = m_{j,сут} \cdot \chi_j, \quad (12)$$

$$m_j^{\max(\min)} = m_{j,сут} \cdot \chi_j^{\max(\min)}. \quad (13)$$

Анализ неравномерности поступления автотранспорта (см. таблицу 2) в течение суток приведен на рис. 4.

Полученная полиномиальная функция отражает общие закономерности прибытия автотранспорта на рассматриваемый терминал; для рассматриваемого примера позволяет с высокой степенью точности (коэффициент корреляции, определенный методом

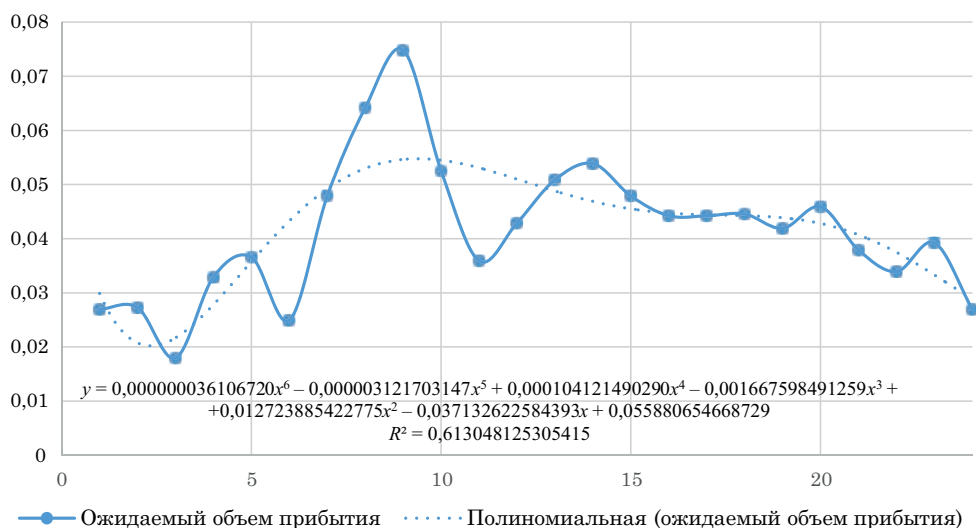


Рис. 4. Долевая внутрисуточная неравномерность прибыли автотранспорта

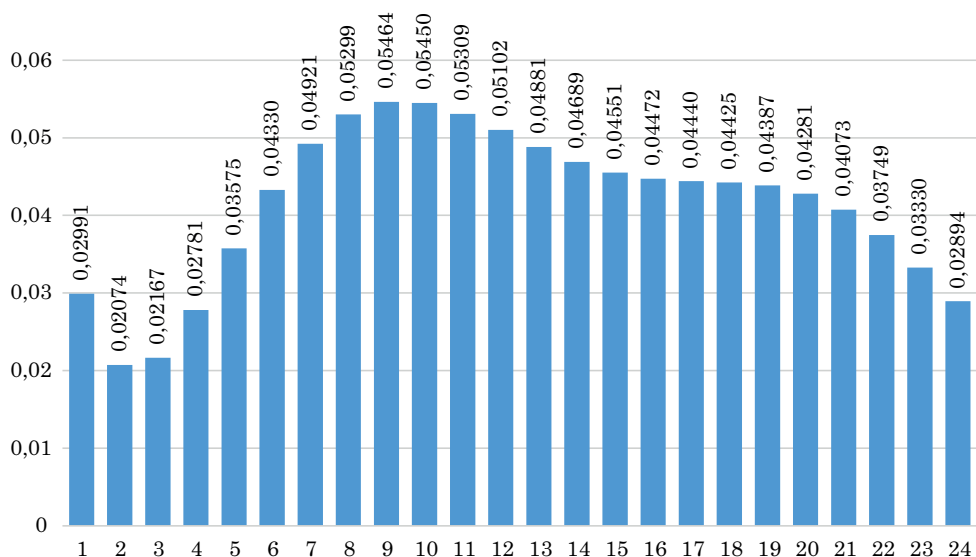


Рис. 5. Гистограмма распределения прогнозных объемов прибыли транспортных средств на ТЛЦ

наименьших квадратов, составил $R^2 = 0,61304$) спрогнозировать объемы поступающих транспортных средств. С повышением степени полиномиальной функции можно добиться более высокого уровня корреляции.

Подставляя значения в полученную функцию, можно составить гистограмму распределения прибыли

автотранспорта, отражающую долевое распределение суточных объемов на ТЛЦ (рис. 5).

Анализ показывает, что наибольшую загрузку рассматриваемый ТЛЦ будет испытывать с 7 до 11 часов утра (в это время прибывает до 26 % общего объема автомобилей). При составлении технологических графиков работы

ТЛЦ и примыкающей железнодорожной инфраструктуры (график движения поездов, суточный план-график работы станции, контактный график работы логистического терминала), планировании подачи и уборки вагонов на путь необщего пользования учет выявленной неравномерности прибытия автотранспортных средств позволит минимизировать простои и стоимость переработки одной интермодальной грузовой единицы.

Заключение

При составлении технологических документов особое внимание необходимо уделить режиму работы погрузо-разгрузочных машин и бригад в различные периоды суток. Выделение периодов сгущенного и разреженного подвода транспорта позволяет скорректировать работу терминала для оптимизации эксплуатационных затрат и снижения общей себестоимости переработки груза. В качестве рекомендуемых управленческих решений, вызванных неравномерностью прибытия транспортных средств различной грузоместимости, можно выделить:

- привлечение в пиковые периоды дополнительных перерабатывающих мощностей, что минимизирует простои транспортных средств в ожидании переработки;
- перераспределение перерабатывающих мощностей (например, колесной

техники) между различными элементами логистического терминала или связанных с ними логистическими объектами, что предотвратит простои машин в период разреженного поступления груза;

– диспетчеризация железнодорожного транспорта, подразумевающая корректировки нормативных документов (график движения поездов) и станции примыкания (суточный план график работы станции) для изменения нормативного времени прибытия поездов различных назначений и подачи на фронт выгрузки различных групп вагонов;

– технологическая диспетчеризация подвода автотранспорта (введение запретов, ограничений и прочих мер по регулировке времени прибытия автотранспортных средств на терминал);

– экономическая диспетчеризация подвода автотранспорта (установление дифференцированной системы тарифов на переработку грузов на логистическом терминале);

– закупка инвентарного парка автотранспорта для подвоза грузов и контейнеров на последней миле силами владельцев логистического терминала.

Разработанные подходы к анализу данных о прибытии различных видов транспорта функционирующих логистических центров позволяют получить общие представления о характере поступления видов транспорта различных параметров. ■

Литература

1. Вакуленко С. П., Колин А. В., Роменский Д. Ю. Московский транспортный узел: перспективы развития : Монография. – М.: Всероссийский институт научной и технической информации РАН, 2020. – 208 с. ISBN 978-5-902928-88-1.
2. Валькова С. С. Сравнительная оценка эффективности и обоснование выбора варианта перегрузки груза в порту // Вестник Астраханского государственного технического университета. – Сер. : Морская техника и технология, 2021. № 3. С. 107–115. ISSN 2073-1574.
3. Виноградов С. А., Мехедов М. И., Вакуленко С. П., Якубень А. Ю. Перспективы развития ускоренных грузовых перевозок // Железнодорожный транспорт, 2021. № 4. С. 10–15. ISSN 0044-4448.
4. Прокофьев М. Н. Совершенствование технологии ускоренных грузовых перевозок железнодорожным транспортом : дисс. ... на соиск. уч. ст. канд. техн. наук. – М., 2018. 213 с.
5. Вакуленко С. П., Насыбуллин А. М., Мазунов И. А. Схемные решения перегрузочных терминалов для поездов, курсирующих по технологии «холодный экспресс» // Вестник транспорта Поволжья, 2021. № 2 (86). С. 51–57. ISSN 1997-0722.

6. Куренков П.В. и другие. Синхромодальные и КО-модальные перевозки, Аmodalный букинг и ТРИмодальные терминалы как перспективные направления развития транспортной логистики // *Логистика*. 2018. № 12. С.34–39. ISSN 2219-7222.
7. Куренков П. В., Вакуленко С. П., Роменский Д. Ю. Перспективы перенаправления экспортных перевозок угля с железнодорожного на речной транспорт на примере Амурского бассейна / *Транспорт: наука, техника, управление : научный информационный сборник*, 2021. № 9. С. 10–18. ISSN 0236-1914.
8. Вакуленко С. П., Куренков П. В., Роменский Д. Ю. Перевозка крупнотоннажных контейнеров // *Железнодорожный транспорт*, 2021. № 5. С. 14–18. ISSN 0044-4448.
9. Вакуленко С. П., Пересветов Ю. В. Структурно-композиционный подход к управлению цепью поставок : Монография. – М. : ИНФРА-М, 2020. – 60 с. ISBN 978-5-16-016308-6. ISBN 978-5-16-016308-6.
10. Мандель А. С. Исследование аналогий между задачами теории управления запасами и задачами теории управляемых систем массового обслуживания // *Управление развитием крупномасштабных систем mlsc'2018 : Труды 11 Международн. конф. : В 3-х т. – М., 1-3.11.2018 / под общ. ред. С.Н. Васильева, А.Д. Цвиркуна. – М. : Институт проблем управления им. В. А. Трапезникова РАН, 2018. С. 299–305.*
11. Изюмский А. А., Надирян С. Л., Сенин И. С. Применение имитационного моделирования в сфере моделирования транспортных потоков // *Наука. Техника. Технологии (политехнический вестник)*, 2016. № 1. С. 52–54. ISSN 2309-3250.
12. Осьмушин А. А., Михеева Т. И., Сапрыкин О. Н. Многоагентное моделирование транспортных потоков в условиях нештатных изменений // *Перспективные информационные технологии : труды Международн. научн.-техн. конф., Самара, 26–28 апреля 2016 года. – Самара : Самарский научный центр РАН, 2016. С. 667–673.*
13. Никульчев Е. В., Петрушин В. Н., Ульянов М. В. Интервальная оценка средних значений случайной величины в условиях неопределенности функции плотности распределения вероятностей // *Известия высших учебных заведений. Проблемы полиграфии и издательского дела*, 2013. № 2. С. 053–059. ISSN 2072-6775.
14. Наумова Н. А., Данович Л. М., Данович Ю. И. Определение параметров распределения обобщенного закона Эрланга по экспериментальным данным при изучении транспортных потоков // *Современные проблемы науки и образования*, 2013. № 5. С. 8. ISSN 2070-7428.
15. Клепик Н. К., Лемешкин А. В., Калмыкова Н. Н. Аппроксимация опытных данных законом Эрланга // *Известия Волгоградского государственного технического университета. Сер. : Наземные транспортные системы*, 2013. Т. 6. № 10 (113). С. 62–63.

References

1. Vakulenko S. P., Kolin A.V., Romensky D. Yu. Moscow transport hub: prospects for development: Monograph. – M.: All-Russian Institute of Scientific and Technical Information of the Russian Academy of Sciences, [Moskovskij transportnyj uzel: perspektivy razvitiya : Monografiya. – M. : Vserossijskij institut nauchnoj i tekhnicheskoy informatsii RAN] 2020. – 208 p. ISBN 978-5-902928-88-1.
2. Valkova S. S. Comparative assessment of efficiency and justification of the choice of cargo transshipment option in the port // *Bulletin of the Astrakhan State Technical University. – Ser. : Marine Engineering and Technology, [Sravnitel'naya otsenka ehffektivnosti i obosnovanie vybora varianta peregruzki gruza v portu // Vestnik Astrakhanskogo gosudarstvennogo tekhnicheskogo universiteta. – Ser. : Morskaya tekhnika i tekhnologiya]* 2021. № 3. Pp. 107–115. ISSN 2073-1574.
3. Vinogradov S. A., Mekhedov M. I., Vakulenko S. P., Yakuben A. Yu. Prospects for the development of accelerated freight transport // *Rail transport, [Perspektivy razvitiya uskorennykh gruzovykh перевозок // Zheleznodorozhnyj transport]* 2021. № 4. Pp. 10–15. ISSN 0044-4448.
4. Prokofev M. N. Improving the technology of accelerated freight transport by rail : diss. ... for the academic degree of the Candidate of Technical Sciences. [Sovershenstvovanie tekhnologii uskorennykh gruzovykh перевозок zheleznodorozhnym transportom : diss. ... na soisk. uch. st. kand. tekhn. nauk.] – M., 2018. 213 p.
5. Vakulenko S. P., Nasybullin A.M., Mazunov I. A. Schematic solutions of transshipment terminals for trains running on the «cold express» technology // *Bulletin of Transport*

- of the Volga region, [Skhemnye resheniya peregruzochnykh terminalov dlya poezdov, kursiruyushhih po tekhnologii «kholodnyy ehkspress» // Vestnik transporta Povolzh'ya] 2021. № 2 (86). Pp. 51–57. ISSN 1997-0722.
6. Kurenkov P. V. and others. Synchronodal and CO-modal transportation, Amodal booking and trimodal terminals as promising directions for the development of transport logistics // Logistics. [Sinkhromodal'nye i KO-modal'nye perevozki, Amodal'nyy buking i TRImodal'nye terminaly kak perspektivnye napravleniya razvitiya transportnoj logistiki // Logistika.] 2018. № 12. Pp. 34–39. ISSN 2219-7222.
 7. Kurenkov P. V., Vakulenko S. P., Romensky D. Yu. Prospects for redirecting coal export shipments from railway to river transport on the example of the Amur Basin / Transport: Science, Technology, Management : Scientific information collection, [Perspektivy perenapravleniya ehksportnykh perevozok uglya s zheleznodorozhnogo na rechnoj transport na primere Amurskogo bassejna / Transport: nauka, tekhnika, upravlenie : nauchnyy informatsionnyy sbornik] 2021. № 9. Pp. 10–18. ISSN 0236-1914.
 8. Vakulenko S. P., Kurenkov P. V., Romensky D. Yu. Transportation of large-capacity containers // Rail transport, [Perevozka krupnotonnazhnykh kontejnerov // Zheleznodorozhnyy transport] 2021. № 5. Pp. 14–18. ISSN 0044-4448.
 9. Vakulenko S. P., Peresvetov Yu. V. Structural and compositional approach to supply chain management : Monograph. [Strukturno-kompozitsionnyy podkhod k upravleniyu tsep'yu postavok : Monografiya.] – Moscow : INFRA-M, 2020. – 60 p. ISBN 978-5-16-016308-6.
 10. Mandel A. S. Investigation of analogies between the tasks of the theory of inventory management and the tasks of the theory of controlled queuing systems // Managing the development of large-scale systems mlsd'2018 : Proceedings of 11 International conferences : [Issledovanie analogij mezhdru zadachami teorii upravleniya zapasami i zadachami teorii upravlyaemykh sistem massovogo obsluzhivaniya // Upravlenie razvitiem krupnomasshtabnykh sistem mlsd'2018 : Trudy 11 Mezhdunarodn. konf.] In 3 volumes – M., 1-3.11.2018 / under the general editorship of S.N. Vasiliev, A.D. Tsvirkun. – M. : V. A. Trapeznikov Institute of Management Problems of the Russian Academy of Sciences, 2018. Pp. 299–305.
 11. Izyumsky A. A., Nadiryan S. L., Senin I. S. Application of simulation modeling in the field of modeling of transport flows // Science. Engineering. Technologies (Polytechnic Bulletin), [Primenenie imitatsionnogo modelirovaniya v sfere modelirovaniya transportnykh potokov // Nauka. Tekhnika. Tekhnologii (politekhicheskij vestnik)] 2016. № 1. Pp. 52–54. ISSN 2309-3250.
 12. Osmushin A. A., Mikheeva T. I., Saprykin O. N. Multi-agent modeling of transport flows in conditions of abnormal changes // Promising information technologies : proceedings of the International Scientific and Technical conf., [Mnogoagentnoe modelirovanie transportnykh potokov v usloviyakh neshtatnykh izmenenij // Perspektivnye informatsionnye tekhnologii : trudy Mezhdunarodn. nauchn.-tekhn. konf.] Samara, April 26–28, 2016. – Samara : Samara Scientific Center of the Russian Academy of Sciences, 2016. Pp. 667–673.
 13. Nikulchev E. V., Petrushin V. N., Ulyanov M. V. Interval estimation of the average values of a random variable under uncertainty of the probability distribution density function // News of higher educational institutions. Problems of printing and publishing, [Interval'naya otsenka srednikh znachenij sluchajnoj velichiny v usloviyakh neopredelennosti funktsii plotnosti raspredeleniya veroyatnostej // Izvestiya vysshikh uchebnykh zavedenij. Problemy poligrafii i izdatel'skogo dela] 2013. № 2. pp. 053–059. ISSN 2072-6775.
 14. Naumova N. A., Danovich L. M., Danovich, Y. I. Determination of distribution parameters of the Erlang generalized law on the experimental data in the study of traffic flows // Modern problems of science and education, [Opredelenie parametrov raspredeleniya obobshchennogo zakona Ehrlanga po ehksperimental'nym dannym pri izuchenii transportnykh potokov // Sovremennye problemy nauki i obrazovaniya] 2013. № 5. P. 8. ISSN 2070-7428.
 15. Klepik N. K., Lemeshkin A.V., Kalmykova N. N. Approximation of experimental data by Erlang's law // Izvestiya of Volgograd State Technical University. Ser. : Land transport systems, [Approksimatsiya opytnykh dannykh zakonom Ehrlanga // Izvestiya Volgogradskogo gosudarstvennogo tekhnicheskogo universiteta. Ser. : Nazemnye transportnye sistemy] 2013. Vol. 6. № 10 (113). Pp. 62–63.

Статья сдана в редакцию 13 декабря 2021 года

УДК 656.09

Е. Ю. Кузнецова, Н. А. Амосов

Применение контрактов жизненного цикла в транспортной отрасли: проблемы и перспективы

UDC 656.09

E. Y. Kuznetsova, N. A. Amosov

Application of life cycle contracts in the transport industry: problems and prospects

Аннотация

В статье рассматривается применение контракта жизненного цикла (КЖЦ) для транспортной отрасли на территории России. Цель исследования – обнаружение проблем КЖЦ и выявление перспектив расширения тематики управления КЖЦ на закупку разных видов транспортных средств. Дано определение КЖЦ по 44-ФЗ, раскрыта суть формы взаимодействия между заказчиком и исполнителем. Перечислены основные документы, регламентирующие объекты закупки по КЖЦ, предложены изменения и поправки к этим документам. Указаны виды транспортных средств, которые можно закупать по КЖЦ. Описаны преимущества использования КЖЦ на закупку транспортных средств. Упомянута информация о научной базе в области КЖЦ и дана

оценка практического применения долгосрочных контрактов в России. Подробно разобран пример действующего КЖЦ на поставку электробусов в Москве. В примере рассмотрены основные положения и последовательность заключения контракта с государственным заказчиком. Приведены данные за последние четыре года по заключению КЖЦ между ГУП «Мосгортранс» и производителями транспортных средств. Выявлены этапы жизненного цикла, которые не входят в действующие КЖЦ, обоснованы причины их отсутствия. Предложено внедрение новой формы договорных взаимоотношений между заказчиком и исполнителем в сегментах В2В и В2С для переноса принципов КЖЦ на другие рынки с внедрением нового понятия для данных рынков. Дана оценка состояния возрастной

структуре парка городского транспорта, воздушных и водных судов. Рассмотрены основные проблемы реализации КЖЦ. Определены перспективы расширения тематики управления КЖЦ. Авторами поднят вопрос об утилизации транспортных средств и отсутствии утилизационных мощностей, предложены и обоснованы рекомендации по созданию утилизационных предприятий для городского транспорта. Затронуты организационные и технологические вопросы относительно построения утилизационной системы. Сформулированы основные положения по решению проблем КЖЦ и выхода долгосрочных контрактов на новый уровень.

Ключевые слова: контракт жизненного цикла, утилизация транспортных средств, стоимость жизненного цикла, государственно-частное

Статья рекомендована к публикации П. Н. Ковалевым, д-ром техн. наук, профессором Уральского государственного лесотехнического университета. E-mail: kovalevrn@m.usfeu.ru.

Елена Юрьевна Кузнецова, д-р экон. наук, профессор; кафедра организации машиностроительного производства Уральского федерального университета; Екатеринбург, Россия. E-mail: e.y.kuznetsova@urfu.ru. ORCID 0000-0003-1225-457X.

Никита Андреевич Амосов, аспирант, ассистент; кафедра организации машиностроительного производства Уральского федерального университета; Екатеринбург, Россия. E-mail: nikita.amosov@urfu.ru. ORCID 0000-0002-6355-1470.

The article is recommended for publishing by R. N. Kovalev, Doctor of Technical Sciences, Professor of the Ural State Forestry University. E-mail: kovalevrn@m.usfeu.ru.

Elena Yur'evna Kuznetsova, Doctor of Economics, Professor; «Organization of Machine-Building Production» Department of the Ural Federal University; Yekaterinburg, Russia. E-mail: e.y.kuznetsova@urfu.ru. ORCID 0000-0003-1225-457X.

Nikita Andreevich Amosov, Postgraduate student, Assistant; «Organization of Machine-Building Production» Department of the Ural Federal University; Yekaterinburg, Russia. E-mail: nikita.amosov@urfu.ru. ORCID 0000-0002-6355-1470.

партнерство, этапы жизненного цикла.

DOI: 10.20291/2079-0392-2022-1-92-101

Abstract

The article discusses the application of the life cycle contract (LCC) for the transport industry in Russia. The purpose of the study is to detect the problems of LCC and identify prospects for expanding the topics of LCC management for the purchase of different types of vehicles. The definition of LCC according to 44-FZ is given, the essence of the form of interaction between the customer and the contractor is revealed. The main documents regulating the objects of procurement for LCC are listed, changes and amendments to these documents are proposed. The types of vehicles that can be purchased by LCC are indicated. The advantages of using LCC for the purchase

of vehicles are described. Information about the scientific base in the field of LCC is mentioned and an assessment of the practical application of long-term contracts in Russia is given. An example of an existing LCC for the supply of electric buses in Moscow is analyzed in detail. As in the example, the main provisions and the sequence of concluding a contract with a state customer are considered. The data for the last four years on the conclusion of the LCC between the State Unitary Enterprise «Mosgortrans» and vehicle manufacturers are presented. The stages of the life cycle that are not included in the existing LCC are identified, the reasons for their lack are substantiated. It is proposed to introduce a new form of contractual relationship between the customer and the contractor in B2B and B2C segments to transfer the principles of LCC to other

markets with the introduction of a new concept for these markets. The evaluation of the state of the age structure of the urban transport park, air and water vessels is given. The main problems of LCC implementation are considered. The prospects for expanding the topics of LCC management are determined. The authors raised the issue of vehicle recycling and the lack of recycling facilities proposed and justified recommendations for the creation of recycling enterprises for urban transport. Organizational and technological issues regarding the construction of a recycling system are touched upon. The main provisions for solving the LCC problems and the release of long-term contracts to a new level are formulated.

Keywords: life cycle contract, vehicle recycling, life cycle cost, public-private partnership, life cycle stages.

DOI: 10.20291/2079-0392-2022-1-92-101

В России увеличивается количество заключенных КЖЦ в области транспорта. Суть данных контрактов заключается в поставке транспортного средства и проведении его технического обслуживания исполнителем на всем сроке эксплуатации. «Контракт жизненного цикла – контракт, предусматривающий поставку товара или выполнение работы (в том числе при необходимости проектирования объекта капитального строительства, конструирования товара, который должен быть создан в результате выполнения работы), последующие обслуживание при необходимости эксплуатации в течение срока службы, ремонт и (или) утилизацию поставленного товара или созданного в результате выполнения работы объекта капитального строительства или товара» [1].

Весь жизненный цикл изделия сопровождает одна компания. Исполнитель несет ответственность как за поставляемый товар, так и за его надежность в течение всего срока эксплуатации. Производитель заинтересован в безаварийной работе своей продукции для снижения затрат при ремонте и обслуживании. Исполнитель получает долгосрочный контракт и возможность прогнозировать деятельность своей компании на несколько лет вперед [2].

Как следствие, у заказчика нет необходимости содержать ремонтные бригады и сервисное оборудование. При традиционной организации работ ремонтные бригады задействованы только при поломках и регламентированном техническом осмотре, поэтому загруженность работников в определенные периоды может быть низкой. Компания,

которая реализует контракты жизненного цикла, способна распланировать загруженность своих сервисных центров максимально эффективно [3].

КЖЦ можно использовать для запуска крупных проектов с финансированием исполнителя. Выплата происходит после выполнения определенного этапа работ по контракту [4].

Выбор видов транспортных средств (ТС) на закупку по КЖЦ обусловлен тем, что ТС при эксплуатации должны иметь четкий единый маршрут или небольшой радиус зоны эксплуатации. Ограничения по передвижению ТС и малая зона их действия способствует оперативному реагированию при поломке и дает возможность построения единого центрального сервиса, что очень важно для исполнителя КЖЦ.

Что касается научной базы в области КЖЦ, то практически все исследователи в своих работах проводят сравнительный анализ между применением КЖЦ и государственно-частным партнерством за границей. Приоритетное направление исследования – выявление основных рисков как со стороны заказчика, так и со стороны исполнителя. Но пока КЖЦ в России не имеет достаточного практического применения [2, 5].

Наше исследование выявило новую актуальную проблему, а именно, отсутствие всех этапов жизненного цикла в КЖЦ при реализации его на практике.

Закупать вагоны по КЖЦ начал Московский метрополитен с 2014 г. Перед закупкой были уточнены технические требования к вагонам нового поколения. По условиям контракта экономия от расходов обслуживания для ГУП «Московский метрополитен» составит около 20 % [6]. С 2018 г. ГУП «Мосгортранс» закупает высокотехнологичные электробусы. Например: «Поставка городских электробусов с оказанием услуг по их последующему сервисному обслуживанию и ремонту в течение 15 лет для нужд ГУП «Мосгортранс»» (18.12.2020). Цена контракта – 3 007 859 839,85 руб.

Так как на участие в электронном аукционе была подана только одна заявка (от ООО «Русские автобусы – Группа ГАЗ»), аукцион не состоялся. В этом случае, согласно правилам, единственный участник торгов получает возможность заключить контракт по начальной максимальной цене. Контракт был заключен 24.05.2021. Срок исполнения контракта рассчитан до 31.10.2036 г. В рамках контракта количество произведенных и поставленных электробусов должно будет составлять 50 единиц.

Вся техническая документация по контракту уже составлена, и производителю нет необходимости разрабатывать весь проект. Однако специфика 44-ФЗ говорит, что в технической документации каждый параметр имеет диапазонное значение, а участник закупки при заполнении заявки на участие должен записать конкретное значение каждого параметра, и в случае заключения контракта обязан будет поставить товар именно с этими значениями характеристик.

Общая стоимость на производство и поставку электробусов в количестве 50 шт. составляет 1 841 858 589,85 руб. Поставка всех электробусов и ввод их в эксплуатацию по контракту № 2770500260221000247 представлен в таблице 1.

На сервисное обслуживание выделено 1 166 001 250 руб. Расчет сервисного обслуживания привязан к плановому объему транспортной работы (измеряется в километрах). Планируется, что ежемесячно один электробус будет выполнять транспортную работу в объеме не больше 5000 км. В таблице 2 представлены данные расчетных выплат за сервисное обслуживание электробусов при максимальном ежемесячном объеме эксплуатации. В 2021 и 2036 гг. стоимость сервисного обслуживания резко отличается от остальных из-за эксплуатации электробусов неполные годы. В 2021 г. проходил постепенный ввод в эксплуатацию транспортных средств, а в 2036 начнется постепенный вывод. В среднем, ежегодная стоимость сервисного

Таблица 1

Ввод электробусов по контракту 2770500260221000247

2021 г.	Электробусы, введенные в эксплуатацию, кол-во	Все электробусы в эксплуатации, кол-во
Май	5	5
Июнь	15	20
Июль	15	35
Август	10	45
Сентябрь	5	50

URL: <https://zakupki.gov.ru/epz/order/notice/ea44/view/common-info.html?regNumber=0173200001420001866>.

Таблица 2

Максимальные расчетные выплаты за сервисное обслуживание электробусов по контракту №2770500260221000247

Год	Плановый объем транспортной работы, км	Цена за 1 км транспортной работы с учетом округления с НДС, руб./км	Общая стоимость, руб.
2021	1525000	24,45	37286250
2022	3000000	24,63	73890000
2023	3000000	24,81	74430000
2024	3000000	25,00	75000000
2025	3000000	25,20	75600000
2026	3000000	25,39	76170000
2027	3000000	25,58	76740000
2028	3000000	25,78	77340000
2029	3000000	25,99	77970000
2030	3000000	26,19	78570000
2031	3000000	26,41	79230000
2032	3000000	26,62	79860000
2033	3000000	26,84	80520000
2034	3000000	27,07	81210000
2035	3000000	27,30	81900000
2036	563844	27,52	40285000

URL: <https://zakupki.gov.ru/epz/order/notice/ea44/view/common-info.html?regNumber=0173200001420001866>.

обслуживания за один километр увеличивается в 1,007916769 раз.

Расчетные выплаты за сервисное обслуживание электробусов, поставленных по контракту №2770500260221000247, представлены на рис. 1.

В КЖЦ используется понятие «стоимость жизненного цикла» (СЖЦ) – все затраты, связанные с комплексом работ по выполнению контракта. В контракте №2770500260221000247 понятие СЖЦ не фигурирует. Начальная максимальная стоимость контракта состоит

из двух видов работ: поставка электробусов в количестве 50 шт. и сервисное обслуживание и ремонт электробусов в течение 15 лет.

По контракту предусмотрены авансовые платежи в размере 46,1 % от стоимости поставки электробусов в течение 30 календарных дней от начала этапа на поставку. Всего таких этапов четыре.

Выбор методики расчетов СЖЦ и планирование графика выплат должны способствовать нормальному ходу выполнения всех обязательств

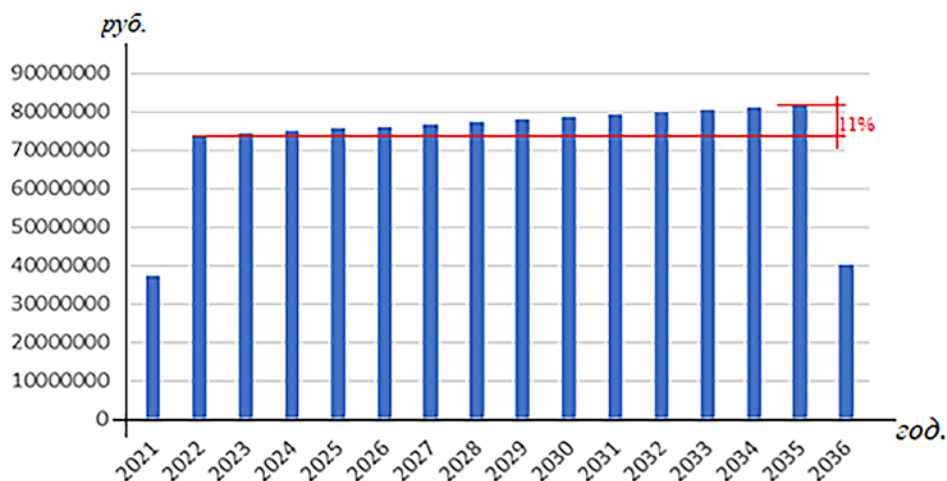


Рис. 1. Расчетные выплаты за сервисное обслуживание электробусов по годам

исполнителя по контракту. Российское законодательство предусматривает определенные финансовые условия для исполнителя относительно выплат ему от заказчика за реализацию этапов КЖЦ.

Для участия в закупке каждый участник должен подать заявку на участие в электронном аукционе. При отправке заявки на участие в электронных торгах участник должен оплатить обеспечение в размере 1 % от цены начальной максимальной стоимости контракта. Обеспечение заявки для участия в аукционе составило 30 078 598,4 руб. Стоимость обеспечения заявки возвращается после проведения торгов. При

заключении контракта победитель должен внести обеспечение контракта; ООО «Русские автобусы – Группа ГАЗ» внесло обеспечение контракта в виде банковской гарантии. В случае прямого перевода денежных средств для обеспечения контракта необходимо было направить 30 % от суммы заключаемого контракта (902 357 951,96 руб.). Кроме того, после поставки электробусов оформляется обеспечение гарантийных обязательств в размере 30 078 598,50 руб., что составляет 1 % от начальной (максимальной) цены контракта, предусмотренной документацией о закупке. В таблице 3 приведены основные выплаты и комиссии при заключении контракта.

Таблица 3

Основные выплаты и комиссии при заключении контракта

Год	2021	2022–2036
Обеспечение заявки, руб.	30078598,4	–
Обеспечение контракта, руб.	902357951,96	–
Обеспечение гарантийных обязательств, руб.	30078598,5	–
Оплаты по поставкам ТС, руб.	1841858589,85	–
Получение аванса, руб.	849 096 809,92	–
Оплата за сервисное обслуживание, руб.	37286250	Не более 1 128 715 000 руб.
Затраты на производство ТС, руб.	Неизвестно	–
Пени, руб.	6578966,97	–

URL: <https://zakupki.gov.ru/epz/order/notice/ea44/view/common-info.html?regNumber=0173200001420001866>.

Из таблицы 3 видно, что основные затраты и выплаты будут проходить в первый год. При обеспечении заявки, контракта и гарантийных обязательств за счет собственных средств организация имеет повышенную финансовую нагрузку, поэтому в большинстве случаев исполнители покупают банковские гарантии.

За 2021 г. ООО «Русские автобусы – Группа ГАЗ» не выполнило условия контракта по этапам 3 и 4: не поставило необходимое количество электробусов в указанный срок. Заказчик поэтому начислил пени в сумме 6 578 966,97 руб.

КЖЦ набирают все большую популярность. Только за последние четыре года при анализе закупок у ГУП «Мосгортранс» выявлены восемь контрактов жизненного цикла на поставку общественного транспорта и его последующего обслуживания (таблица 4).

Количество закупок на поставку транспортных средств будет расти с каждым годом. В таблице 5 приведены данные возрастной структуры основных ви-

дов транспортных средств за 2019 г., эксплуатируемых на городских маршрутах.

Данные таблицы 5 подтверждают, что производство и поставка транспортных средств по госзаказу в ближайшие годы предполагается максимальной.

На сегодняшний день парк общественного транспорта постепенно пополняется новыми транспортными средствами по новой организационной форме – КЖЦ. КЖЦ позволяет заказчику получить от исполнителя необходимое транспортное средство, сервисное обслуживание и ремонт на протяжении всего периода эксплуатации. Исполнитель, в свою очередь, получает долгосрочный контракт с возможным авансированием и регламентированными выплатами за выполнение этапов контракта.

При анализе нескольких КЖЦ выявлено, что в большинстве случаев в рамках КЖЦ обычно входят производство транспортного средства и его последующее сервисное обслуживание. Стандартный жизненный цикл транспортных

Таблица 4

Действующие КЖЦ ГУП «Мосгортранс»

Вид ТС, поставляемого в рамках КЖЦ	Дата заключения контракта	Срок оказания сервисного обслуживания и ремонта, лет	Поставляемые ТС по контракту, кол-во	Стоимость контракта, млрд руб.	Снижение в торгах, %	Исполнитель
Трамвайные вагоны	1.10.2020	30	114	22,150	0	ООО «ПК ТС»
Электробусы	19.05.2021	15	350	21,067	0	ПАО «КамАЗ»
Электробусы	30.01.2020	15	200	11,384.	0	ПАО «КамАЗ»
Трамвайные вагоны	20.10.2020	30	90	10,515.	0,5	ООО «Торговый дом СТМ»
Низкопольные автобусы	24.05.2020	7	473	9,251	0	ПАО «КамАЗ»
Электробусы	25.01.2019	15	100	6,567	0	ПАО «КамАЗ»
Электробусы	18.05.2018	15	100	6,379	0,5	ООО «Русские автобусы – Группа ГАЗ»
Электробусы	28.01.2020	15	100	5,692	0	ООО «Русские автобусы – Группа ГАЗ»

URL: <https://zakupki.gov.ru/epz/main/public/home.html>.

Таблица 5

Возрастная структура парка городского транспорта в России на конец 2019 г.

Возрастная структура парка городского транспорта, годы						
Наименование	До 5	5,1–10	10,1–15	15,1–20	20,1–25	Более 25
Трамвайные вагоны	11	8	12	5	5	59
Троллейбусы	11	25	27	10	5	22
Вагоны метрополитена	25	19	10	4	6	36
Автобусы	28,6	25,5	45,9			

URL: <https://rosstat.gov.ru/folder/23455>.

средств состоит из таких основных этапов, как проектирование, производство, эксплуатация и утилизация.

Заключительный этап жизненного цикла транспортных средств не входит в действующие контракты. Причина заключается в отсутствии достаточного количества предприятий по утилизации транспортных средств в России [7].

Для максимальной эффективности транспортной системы такой огромной страны, как Россия, необходимо использовать широкий спектр транспортных средств с высоким уровнем эксплуатационного состояния. Создать эти условия можно при внедрении КЖЦ на закупку не только наземных транспортных средств, но и воздушных, и водных судов. Парк этих судов, как и наземный, находится в изношенном состоянии (таблица 6).

С учетом анализа и сопоставления данных таблиц 5 и 6 следует вывод: в ближайшее время будет вынужденно происходить выход из эксплуатации большого количества транспортных средств, которые необходимо утилизировать. Вопрос утилизации – проблемный для России, потому что нет общей системы по осуществлению заключительного этапа жизненного цикла транспортных средств [8, 9].

Применение КЖЦ на закупку разных видов транспортных средств способно обозначить для производителей важность заключительного этапа. Для этого необходимо ввести обязательное исполнение процесса утилизации после выхода транспортного средства из эксплуатации, т.к. в действующих КЖЦ отсутствуют работы по заключительному этапу жизненного цикла. Для того

Таблица 6

Возрастная структура воздушных и водных судов

Наименование	До 5 лет	5,1–15	15,1–30	Более 30
Воздушные судна на конец 2020 г.				
Воздушные	16,2	13,3	15,1	55,5
Морские суда на конец 2019 г.				
Суда	7,6	12,8	33,1	46,5
Нефтеналивные	10,6	26,9	30,5	32,0
Суда для генеральных грузов	8,3	11,7	31	50,1
Грузопассажирские, пассажирские и пассажирские бескочные	20,4	18,3	22,5	38,8
Речные и озерные суда на конец 2019 г.				
Пассажирские и грузопассажирские	9,5	23,8	16,3	50,4
Сухогрузные грузовые	0,7	1,9	5,2	92,2
Наливные грузовые	1,8	1,5	4,4	92,3

URL: <https://rosstat.gov.ru/folder/23455>.

чтобы в дальнейшем исполнитель выполнил все обязательства по КЖЦ, нужна единая система рециклинга транспортных средств.

Первая модель организации предприятий по утилизации транспортных средств подразумевает, что отдельно взятое предприятие занимается утилизацией конкретного вида транспортных средств. Вторая модель имеет привязку к материалам и технологиям утилизации, т.е. разделение предприятий будет происходить по утилизации деталей, узлов и агрегатов, схожих по свойствам материала и технологии рециклинга.

Отсутствие выбора единой модели препятствует определению рационального расположения утилизационных предприятий. Например, переработка и рециклинг уже отсортированных материалов самолетов при выборе первой модели будет происходить в Московской области, т.к. скопление авиатехники, вышедшей из эксплуатации, происходит в специально отведенных местах на крупных аэродромах (Внуково, Домодедово и Шереметьево). При реализации второй модели производственные мощности по рециклингу некоторых компонентов могут быть построены в других регионах в зависимости от скопления материала и с учетом всех видов транспортных средств [8].

Технологический вопрос заключается в качественной и безопасной переработке материалов – от качества утилизации зависит дальнейшее использование переработанных материалов. Для исключения удешевления дорогостоящих материалов необходима максимально тщательная сортировка. Качество переработанного материала в большинстве случаев ухудшится из-за различных включений в продукт первоначального производства. Например, в самолетный лом добавляются неметаллические включения и краска, что в дальнейшем сказывается на качестве и стоимости после переработки [9].

В первую очередь целесообразно создать утилизационные предприятия

для городского транспорта, для производства которого используются разнообразные материалы. А так как городской транспорт габаритный, то будущие производственные мощности проще адаптировать для утилизации других видов транспортных средств.

Одна из важных задач по созданию утилизационной системы для транспортных средств будет заключаться в разработке комплексной системы размещения этих предприятий [10].

На стадии утвержденного проекта или строительства утилизационных мощностей производители транспортных средств уже смогут заключить КЖЦ, в котором присутствует заключительный этап жизненного цикла. Утилизация не начнется ранее срока окончания полезного использования ТС. Таким образом, можно заблаговременно получить КЖЦ, по которым через несколько лет производитель должен будет утилизировать ранее произведенное ТС.

По КЖЦ, согласно практике его применения, закупается низкопольные автобусы как новые машины (по ч.16 ст.34 ФЗ №44), но поставка автобусов в классическом исполнении в рамках КЖЦ не подразумевается. Перед созданием утилизационной системы важно внести изменения в Постановление правительства РФ №1087 от 28.11.2013 «Об определении случаев заключения контракта жизненного цикла»: необходимо внести дополнения о расширении перечня видов транспортных средств, которые могут закупаться в рамках КЖЦ, добавив туда, в частности, автобусы.

КЖЦ используется чаще всего при заключении государственных контрактов по 44-ФЗ. Предлагается адаптировать аналогичные долгосрочные взаимоотношения между заказчиком и исполнителем в сегментах B2B и B2C. Правительству РФ необходимо ввести новое понятие для этих рынков и описать основные регламентирующие положения. Распространение аналогичных условий взаимодействия на другие сегменты рынка позволит обязать

большинство производителей нести ответственность за транспортное средство не только в период гарантийного обслуживания, но и за весь период эксплуатации. Стоимость эксплуатации ТС будет прозрачной для покупателя. Покупатель будет понимать и планировать возможные максимальные вложения на сервисное обслуживание и ремонт транспорта.

Система КЖЦ в России сегодня лишь переходит от теории к практике, и уже действует ряд нормативных документов, регулирующих КЖЦ. КЖЦ можно заключить только для некоторых видов транспортных средств, что естественно сдерживает потенциал такой формы государство-частного партнерства. Нужно расширить зону применения КЖЦ законодательно, дать возможность заключать долгосрочные контракты на разные виды транспорта.

Реализуются первые КЖЦ на поставку городского транспорта. Анализ действующего контракта показал, что в КЖЦ отсутствует заключительный этап жизненного цикла. Основная причина отсутствия этапа утилизации заключается в недостатке производственных мощностей коммерческих

организаций, занимающихся утилизацией отходов ТС, и отсутствии технического оснащения у самих производителей для самостоятельной утилизации.

Выводы

1. Для достижения максимальной эффективности транспортной системы России рекомендуется закупать ТС по КЖЦ.

2. Предложены изменения в Постановление правительства РФ №1087 от 28.11.2013 «Об определении случаев заключения контракта жизненного цикла» для расширения перечня видов транспортных средств, которые могут закупаться в рамках КЖЦ.

3. В КЖЦ отсутствует заключительный этап из-за недостаточного количества утилизационных мощностей.

4. В первую очередь целесообразно создать предприятия для утилизации городского транспорта.

5. Предложено внедрение новой формы договорных взаимоотношений между заказчиком и исполнителем в сегментах B2B и B2C для переноса принципов КЖЦ на другие рынки с внедрением нового понятия для данных рынков. ■

Литература

1. О контрактной системе в сфере закупок товаров, работ, услуг для обеспечения государственных и муниципальных нужд : Федер. закон / Собрание законодательства РФ. 2013. № 14. Ст. 1652.
2. Никитин Ю. А. Особенности контракта жизненного цикла / Ю. А. Никитин, Н. И. Васильев, Г. Б. Детков // Теория и практика сервиса: экономика, социальная сфера, технологии. 2019. № 2 (40). С. 33–41. ISSN 2078-5852.
3. Ракута Н. В. Использование контрактов жизненного цикла при госзакупках. Опыт развитых стран // Вопросы государственного и муниципального управления. 2015. № 2. С. 53–78. ISSN 1999-5431.
4. Татаревич А. Ю. Контракты жизненного цикла как механизм реализации социальной политики в городе Москве // Вестник Академии. – 2012. – № 2. – С. 60–61. ISSN 2073-9621.
5. Тургенева В. В., Секерин В. Д. «Контракт жизненного цикла» в сфере транспортной инфраструктуры как новый механизм государственно-частного партнерства // Модернизация. Инновации. Развитие. 2017. № 8 (4). С. 536–543. ISSN 2079-4665.
6. Московский транспорт. URL : https://transport.mos.ru/mostrans/all_news/1505 (дата обращения: 25.09.2021).
7. Amosov N. A., Kuznetsova E. Y., Prilutskaya M. A., & Kukushkina G. R. Utilization aspects in a life cycle contract (the example of public transport in Russia) // IOP Conference Series: Materials Science and Engineering. Nizhny Tagil. 2020.
8. Насырова И. И. Особенности утилизации отработанных воздушных судов как пример рационального природопользования / И. И. Насырова, Э. Р. Мубинова, О. А. Лукашевич //

Поколение будущего : сб. избранных статей Международн. студ. научн. конф., Санкт-Петербург, 31.06.2020. – СПб : Частное научно-образовательное учреждение дополнительного профессионального образования Гуманитарный национальный исследовательский институт «Нацразвитие», 2020. – С. 91–93.

9. Кириченко А. С. Перспективы и проблемы утилизации воздушного флота России / А. С. Кириченко, А. Н. Серегин // Молодой ученый. – 2016. – № 24 (128). – С. 76–81. ISSN 2072-0297.
10. Пухов Е. В. Совершенствование системы утилизации отходов предприятий технического сервиса транспортных и технологических машин АПК / Е. В. Пухов, В. К. Астанин // Технология колесных и гусеничных машин. – 2014. – № 2. – С. 41–50. ISSN 2227-9393.

References

1. On the contract system in the field of procurement of goods, works, services for state and municipal needs : Feder. law / Collection of legislation of the Russian Federation. [O kontraktnoj sisteme v sfere zakupok tovarov, rabot, uslug dlya obespecheniya gosudarstvennykh i munitsipal'nykh nuzhd : Feder. zakon / Sobranie zakonodatel'stva RF.] 2013. № 14. Art. 1652.
2. Nikitin Yu. A. Features of the life cycle contract / Yu. A. Nikitin, N. I. Vasil'ev, G. B. Detkov // Theory and practice of service: economy, social sphere, technology. [Osobennosti kontrakta zhiznennogo tsikla / YU. A. Nikitin, N. I. Vasil'ev, G. B. Detkov // Teoriya i praktika servisa: ehkonomika, sotsial'naya sfera, tekhnologii.] 2019. № 2 (40). Pp. 33–41. ISSN 2078-5852.
3. Rakuta N. V. The use of life cycle contracts in public procurement. Experience of developed countries // Issues of state and municipal administration. [Ispol'zovanie kontraktov zhiznennogo tsikla pri goszakupkakh. Opyt razvitykh stran // Voprosy gosudarstvennogo i munitsipal'nogo upravleniya.] 2015. № 2. Pp. 53–78. ISSN 1999-5431.
4. Tatarevich A. Yu. Life cycle contracts as a mechanism for implementing social policy in the city of Moscow // Bulletin of the Academy. [Kontrakty zhiznennogo tsikla kak mekhanizm realizatsii sotsial'noj politiki v gorode Moskve // Vestnik Akademii.] – 2012. – № 2. – Pp. 60–61. ISSN 2073-9621.
5. Turgeneva V. V., Sekerin V. D. «Life cycle contract» in the field of transport infrastructure as a new mechanism of public-private partnership // Modernization. Innovation. Development. [«Kontrakt zhiznennogo tsikla» v sfere transportnoj infrastruktury kak novyj mekhanizm gosudarstvenno-chastnogo partnerstva // Modernizatsiya. Innovatsii. Razvitie.] 2017. № 8 (4). Pp. 536–543. ISSN 2079-4665.
6. Moscow transport. [Moskovskij transport.] URL : https://transport.mos.ru/mostrans/all_news/1505 (accessed on: 25.09.2021).
7. Amosov N. A., Kuznetsova E. Y., Prilutskaya M. A., & Kukushkina G. R. Utilization aspects in a life cycle contract (the example of public transport in Russia) // IOP Conference Series: Materials Science and Engineering. Nizhny Tagil. 2020.
8. Nasyrova I. I. Features of utilization of used aircraft as an example of rational nature management / I. I. Nasyrova, E. R. Mubanova, O. A. Lukashevich // Generation of the future : collection of selected articles of the International stud. scient. conf., St. Petersburg, 31.06.2020. – St. Petersburg : Private scientific and educational institution of further vocational education Humanitarian National Research Institute «National Development», [Osobennosti utilizatsii otrabotannykh vozdushnykh sudov kak primer ratsional'nogo prirodopol'zovaniya / I. I. Nasyrova, E. R. Mubanova, O. A. Lukashevich // Pokolenie budushhego : sb. izbrannykh statej Mezhdunarodn. stud. nauchn. konf., Sankt-Peterburg] 2020. – Pp. 91–93.
9. Kirichenko A. S. Prospects and problems of utilization of the Russian air fleet / A. S. Kirichenko, A. N. Seregin // Young scientist. [Perspektivy i problemy utilizatsii vozdušnogo flota Rossii / A. S. Kirichenko, A. N. Seregin // Molodoj uchenyj.] – 2016. – № 24(128). – Pp. 76-81. ISSN 2072-0297.
10. Pukhov E. V. Improvement of the waste disposal system of enterprises of technical service of transport and technological machines of the agro-industrial complex / E. V. Pukhov, V. K. Astanin // Technology of wheeled and tracked vehicles. [Sovershenstvovanie sistemy utilizatsii otkhodov predpriyatij tekhnicheskogo servisa transportnykh i tekhnologicheskikh mashin APK / E. V. Pukhov, V. K. Astanin // Tekhnologiya kolesnykh i gusenichnykh mashin.] – 2014. – № 2. – Pp. 41–50. ISSN 2227-9393.

Статья сдана в редакцию 18 января 2022 года

УДК 378.14

Н. А. Друцко

Обучение второму иностранному языку в транспортном вузе

УДК 378.14

N. A. Drutsko

Teaching a second foreign language in transport higher education institution

Аннотация

В статье рассматривается вопрос о преподавании второго иностранного языка в транспортном вузе на примере опыта обучения студентов английскому языку после немецкого.

Всеобъемлющие процессы интеграции, формирования общего информационного пространства между странами, движение в сторону единой мировой экономики — всё это формулирует новый запрос к современному специалисту в любой сфере деятельности. Он должен не только обладать знаниями, умениями и навыками в своей области, но и уметь применять их в мультилингвальной коммуникации. В ситуации, когда количество контактов между разными этносами неуклонно растет, необходимость в знании иностранных языков увеличивается прямо пропорционально. В настоящее время студенты уже отдают себе отчет, что иностранные языки существенно увеличивают

уровень их компетенции не только в профессиональной деятельности, но и в личной жизни, открывают огромный спектр новых возможностей.

Говоря о специалистах-железнодорожниках, сложно переоценить важность знания иностранных языков. Во-первых, благодаря глобализации на порядок выросло количество иностранцев, которые не боятся путешествовать самостоятельно, зачастую используя в своих маршрутах железную дорогу. Если еще несколько десятилетий назад такой выбор был скорее исключением, то сейчас с уровнем развития технологий, туристы всё чаще предпочитают пакетным комфортным турам по популярным направлениям экзотическое и самостоятельное знакомство с другой страной. В этой ситуации железнодорожники без знания иностранного языка не смогут использовать свою компетенцию для выполнения работы.

Во-вторых, расширение профессионального сотруд-

ничества также предполагает тесные контакты со специалистами из других стран. Обмен опытом, международные конкурсы и конференции, научная деятельность — всё это требует мультилингвальной коммуникации. Кроме того, обладание высоким уровнем знания иностранного языка увеличивает ценность сотрудника для крупных международных компаний.

Говоря же об эпидемиологической обстановке последних лет, локдаунах и переходе на удаленную работу, мы склонны особенно подчеркнуть важность владения иностранным языком в этой ситуации. Ведь при телефонном и интернет-общении с клиентами и партнерами из других стран мы гораздо более ограничены в невербальной коммуникации, следовательно, еще больше полагаемся на свой уровень иностранного языка.

За последние несколько десятилетий вопросы обучения второму иностранному

Статья рекомендована к публикации С. В. Балакиным, д-ром филолог. наук, профессором Уральского государственного университета путей сообщения. E-mail: SBalakin@usurt.ru.

Наталья Анатольевна Друцко, ст. преподаватель; кафедра иностранных языков и межкультурных коммуникаций Уральского государственного университета путей сообщения; Екатеринбург, Россия. E-mail: drutsko@yandex.ru. ORCID 0000-0001-9859-2865. The article is recommended for publishing by S. V. Balakin, Doctor of Philology, Professor of the Ural State University of Railway Transport. E-mail: SBalakin@usurt.ru.

Natalia Anatol'evna Drutsko, Senior Lecturer; Department of Foreign Languages and Cross-cultural Communications of the Ural State University of Railway Transport; Yekaterinburg, Russia. E-mail: drutsko@yandex.ru. ORCID 0000-0001-9859-2865.

языку стали предметом исследования многих отечественных и зарубежных специалистов. Разработаны теоретические основы и концепция мультилингвального обучения в школе и вузе. Кафедра иностранных языков и межкультурных коммуникаций Уральского государственного университета путей сообщения активно занимается вопросами научно-методического обеспечения мультилингвального подхода к обучению. Преподавателями кафедры был разработан «Практический курс второго иностранного языка» и выпущено в печать пособие «Английский язык после немецкого: теория и практика английского языка как второго иностранного после немецкого». В статье обосновывается целесообразность использования зарубежных УМК, с одной стороны, и необходимость создания пособий, подготавливающих студентов к восприятию учебного материала аутентичных учебников. Основное внимание в работе автор акцентирует на теоретическом анализе основополагающих принципов обучения ИЯЗ: коммуникативно-когнитивного, принципа интенсификации, принципа обстоятельности, сопоставительного (контрастивного), принципа самостоятельности, принципа самоэффективности.

Ключевые слова: мультилингвальный подход, тригlossия, сопоставительное пособие, аутентичные учебники.

DOI: 10.20291/2079-0392-2022-1-102-111

Annotation

The article discusses the issue of teaching a second foreign language in a transport university on the example of the experience of teaching

students English after German.

Comprehensive integration processes, the formation of a common information space between countries, the movement towards a single world economy – all this formulates a new request to a modern specialist in any field of activity. He should not only have knowledge, skills and abilities in his field, but also be able to apply them in multilingual communication. In a situation where the number of contacts between different ethnic groups is steadily increasing, the need for knowledge of foreign languages increases in direct proportion. Currently, students are already aware that foreign languages significantly increase the level of their competence not only in professional activities, but also in personal life, and open up a huge range of new opportunities.

Speaking of railway specialists, it is difficult to overestimate the importance of knowledge of foreign languages. Firstly, thanks to globalization, the number of foreigners who are not afraid to travel independently and often use railway in their routes has increased greatly. If a few decades ago such a choice was rather an exception, now with the level of technology development, tourists increasingly prefer independent acquaintance with another country to package comfortable tours. In this situation, railway workers without knowledge of a foreign language will not be able to use their competence to perform work.

Secondly, the expansion of professional cooperation also involves close contacts with specialists from other countries. Exchange of experience, international competitions and conferences, scientific

activities – all this requires multilingual communication. In addition, having a high level of knowledge of a foreign language increases the value of an employee for large international companies.

Speaking about the epidemiological situation of recent years, lockdown and the transition to remote work, we tend to emphasize even more the importance of foreign language proficiency. After all, while communicating by phone and online with clients and partners from other countries, we are much more limited in non-verbal communication, and therefore we rely even more on our level of a foreign language.

Over the past few decades, the issues of teaching a second foreign language have become the subject of research by many domestic and foreign specialists. The theoretical foundations and the concept of multilingual education at school and university have been developed. The Department of Foreign Languages and Intercultural Communications of the Ural State University of Railways Transport is actively engaged in the issues of scientific and methodological support of a multilingual approach to learning. The teachers of the department developed a «Practical course of a second foreign language» and published a manual «English after German: theory and practice of English as a second foreign language after German». The article substantiates the expediency of using foreign teaching materials on the one hand and the need to create manuals that prepare students for the perception of the educational material of authentic textbooks. The author focuses on the theoretical analysis of the funda-

mental principles of FL2 learning: communicative-cognitive, the principle of intensification, the principle of thoroughness, comparative (con-

trastive) principle, the principle of independence, the principle of self-efficacy.

Keywords: multilingual approach, triglossia, compara-

tive manual, authentic textbooks.

DOI: 10.20291/2079-0392-2022-1-102-111

Nowadays a lot of universities are not confined to teaching a single foreign language, but practice triglossia. This situation, when students are taught their native language and two foreign languages (FL1 and FL2), is becoming increasingly popular in both linguistic and non-linguistic universities. This approach gives graduates a powerful start in life and advantages in their professional activities, preparing them for conditions of fierce competition and making it possible to develop a methodology for independent language learning in the future.

In doing so, the second foreign language acts here as a separate subject, and not as an elective or an aid for learning the first foreign language. It is necessary that it does not get lost against the background of other courses, so the teacher strives to make it practically and communicatively oriented. At the same time, teaching a second foreign language has its own specifics: it always relies on the first one as a base, which means it can be studied at a faster pace.

In addition, it is essential not to exclude or detract from the importance of learning your native language in triglossia. When processing foreign material, thinking in the native language will invariably be included. A good understanding of the native language is the best springboard for understanding linguistic phenomena and patterns.

According to O.V. Flerov, teaching a second foreign language to non-linguists should be: a) practically and communicatively oriented, b) accelerated, at least at the beginning of training c) based on the acquired foreign language [1].

Students have a fully developed apparatus of abstract thinking, which involves independent thinking and

creative problem solving. Therefore, the basis of adult education should be the principle of awareness in mastering educational material. Without sufficient understanding of all the laws in the field of foreign language speech formation and various linguistic phenomena, adults will not be able to learn a foreign language effectively [2]. As G. L. Vitlin points out, when processing foreign language material perceived or stored in memory, thinking in the native language is inevitably included in the psychological activity of an adult. This means that the native language cannot be excluded from the process of teaching a foreign language, especially in case of an adult audience [3].

Over the past decades, Russian researchers have developed major principles for teaching two or more new languages based on the previously studied one (I. L. Bim, N. V. Baryshnikov).

I. L. Bim, describing the approach to teaching a new FL, emphasizes the importance of the following principles: 1) communicative-cognitive; 2) differentiation of learning, 3) socio-cultural orientation, 4) strengthening of the activity-based nature of learning, 5) inter-related development of all types of speech activity, 6) comparative approach, 7) economy of learning [4].

For his part, N. V. Baryshnikov lists the following basic principles in teaching a second foreign language: 1) intercultural and cognitive-intellectual orientation, 2) thoroughness, 3) a reasonable combination of conscious and unconscious, 4) taking into account artificial subordinative trilingualism, 5) taking into account the linguistic and educational experience of students [5].

Teaching subsequent languages with an eye on the previous foreign language

linguistic baggage is a creative process that requires theoretical understanding and practical solutions of a number of problems [6].

The issue of developing a zero course is directly related to the issue of educational and methodological support for the discipline «Practical course of a second foreign language», i.e., the choice of a methodological manual adequate to the tasks of teaching a FL2.

The textbook serves as one of major components of the learning process organization, since the system of exercises presented in the textbook is aimed at forming targeted skills and abilities in all types of linguistic activity. It is the adequate choice and competent use of educational literature for teaching a foreign language that is the prerequisite for the training of a qualified FL teacher [7].

Due to the absence on the market of authentic specialized educational complexes intended for teaching the second language and the increased demand for methodological material of a multilingual nature, the appearance of comparative textbooks can fill the current gap and will significantly contribute to solving the practical goals of multilingual education.

In 2018, the Department of Foreign Languages and Intercultural Communications of the Ural State University of Railway Transport (USURT) developed the manual «English after German: theory and practice of English as the second foreign language after German». The basis of the practical part consists of tasks on teaching reading rules as well as lexical and grammatical exercises aimed at developing various linguistic skills at the Beginner level. The theoretical part contains material on basic phonetics and English and German grammar [8]. The 10 lessons are based on lexical and grammatical material recognized as necessary at the initial stage when learning a new language. There is also a supplement in the form of texts on the development of reading and speaking skills. This manual serves as a step

that will allow students to continue multilingual learning based on an authentic textbook.

It is worth noting that the communicative-cognitive principle retains a leading role in FL2 learning. The teacher strives to activate the students' cognitive potential, to use their abilities to compare speech phenomena and to find and analyze language similarities and differences.

From the initial stage, students are offered a functional language focused on modeling actual communication situations, while the accumulated speech skills and competencies allow students to learn communication patterns and models at a more conscious level. The very first units comprise the sections «Learning to say hello and get acquainted», «Learning to ask questions». At that, comprehension of the necessary linguistic material smoothly turns into teaching speech operations, which are aimed at solving specific communicative tasks.

The purpose of this phase is to prepare students in the shortest possible time for an authentic course of Beginner level. There are a number of objective circumstances that help to intensify the process of learning a new language. They are related to the existing competencies acquired in the process of FL1 learning.

The following prerequisites for intensification may be quoted as the major ones: recognition of the Latin alphabet, the ability to use a bilingual dictionary, a certain vocabulary in the first language, vocabulary memorization techniques developed in FL1 studying, the presence of grammatical competence that provides sensitivity to linguistic phenomena [9].

Intensification of teaching by no means disagrees with the principle of thoroughness. In order to bring the studied language phenomena to the level of skills and abilities, a rational pace of the lesson is necessary which means progressing with an individual speed adequate to the speed of students' mastering the

material. The introduction of new material is preceded by the consolidation of the previous one, so each new lesson begins with the rubrics «We revise what we have learnt», «Training exercises», «Rules for reading letters and letter combinations», «Reading check exercises». This is very important for mastering the rules of reading in English. Purposeful implementation of the principle of thoroughness significantly increases the effectiveness of FL2 teaching.

It should be noted that in learning English after German, the supporting language and the partner language is not Russian, but German, which gives the teachers the opportunity to practice a comparative approach. The application of the communicative-cognitive principle simultaneously with the comparative (contrastive) approach stimulates effective and conscious learning of a new language.

These two languages belong to the same language group, Germanic, and have intersections in the field of vocabulary, grammar and word formation, as well as in the need to overcome the Russian inertia associated with the absence of a linking verb in the native language. This allows the students to transport the acquired language experience into the development of new skills and abilities. Almost all grammatical material of the manual is presented in the form of comparative tables.

The principle of independence finds its expression in the format of a manual, which can be looked upon as a self-help textbook. The first lesson of the manual contains an extensive guide to the system of English vowels, consonants, transcription, the peculiarities of pronunciation of English sounds, types of syllables. Practice shows that students constantly use this material throughout the course.

Fragments of Lesson 6 clearly demonstrate how the following principles of

methodological support are implemented in practice: the communicative-cognitive principle, the principle of intensification, the principle of thoroughness, the comparative (contrastive) principle, the principle of independence.

Lesson 6

Повторяем пройденное. Правила чтения букв и буквосочетаний. Тренировочные упражнения. Определённый артикль «the». Предлоги места on, in. Учимся задавать вопросы: «Где находится (лежит, стоит)?» Лексика урока. Количественные числительные от 1 до 12. Учимся задавать вопросы: «Какой у тебя номер телефона?», «Какой у тебя адрес электронной почты?»

Повторяем пройденное

Упр. 1. Произнесите слова со звуком [θ]:

Tooth, depth, tenth, thin, thick, teeth.

Упр. 2. Произнесите слова со звуком [ð]:

That, this, these, then, with, the, those.

Упр. 3. Произнесите слова со звуком [ɑ:]:

Car, hard, cart, dark, part, star, smart.

Упр. 4. Произнесите слова со звуком [ɜ:]:

Person, herself, fur, nurse, bird, purse.

Упр. 5. Образуйте притяжательные местоимения от личных местоимений:

I – my	He – ...	It – ...	She – ...
We – ...	They – ...	You – ...	

Упр. 6. Переведите на немецкий и английский языки.

Моя новая квартира, их чистая комната, ее красная ручка, моя желтая сумка, их дверь, его урок, ваш стол, твоя книга.

Лексика урока

Таблица 15

Количественные числительные от 1 до 12

English	Deutsch
Английские цифры от нуля до двенадцати необходимо просто запомнить, так как при их формировании еще не используется никакая закономерность	Немецкие цифры от нуля до двенадцати необходимо запомнить. При их образовании, так же, как и в английском языке не используется никакая закономерность
0 zero ['ziərəʊ]	0 null
1 one [wʌn]	1 eins
2 two [tu:]	2 zwei
3 three [θri:]	3 drei
4 four [fɔ:]	4 vier
5 five [faiv]	5 fünf
6 six [siks]	6 sechs
7 seven ['sev(ə)n]	7 sieben
8 eight [eit]	8 acht
9 nine [nain]	9 neun
10 ten [ten]	10 zehn
11 eleven [i'lev(ə)n]	11 elf
12 twelve [twelv]	12 zwölf

Упр. 12. Прочитайте и переведите на русский язык.

Two big tables, four clean rooms, one new flat, eight red pencils, eleven students, twelve chairs, six easy lessons, ten green apples, two old films.

Two and three is (are) five. Six and four is ten. Five and one is six. Two and seven is nine. Four and four is eight. $10 + 9 = \dots$
 $10 + 2 = \dots$ $3 + 4 = \dots$ $7 + 4 = \dots$ $3 + 8 = \dots$

Учимся задавать вопросы: «Какой у тебя номер телефона?», «Какой у тебя адрес электронной почты?»

English	
What is your mobile number?	It is 8-902-112-95-11
What is your home phone number?	It is 210-18-94
What is your e-mail address?	It is msmith8@yandex.ru

Deutsch	
Wie ist deine Handynummer?	Sie ist 8- 902-112-95-11
Wie ist deine Telefonnummer?	Sie ist 210-18-94
Wie ist deine e-mail Adresse?	Sie ist msmith8@yandex.ru

Упр. 13. Ответьте на вопросы

What's his home phone number?	375-18-32
What's his mobile number?	7-962-047-18-64
What's her e-mail address?	g.hunt2@yohoo.com
What's her mobile number?	8-912-018-19-37
What's your home phone number?	
What's your mobile number?	
What's your e-mail address?	

The fundamental concept that underlies multilingual learning is the principle of self-efficacy. This basic principle from Albert Bandura's socio-cognitive theory of learning is understood as the student's belief in their capabilities and effectiveness, as well as the expectation of success from their own activities.

Learning a new language is quite an ambitious goal, and here the teacher expects that the student will mobilize all his potential, show an active intention to use the accumulated experience and the desire to acquire new knowledge.

Therefore, the most important duties of a teacher are to ensure the necessary psychological mood and favorable atmosphere [10].

It should be emphasized that such manuals are designed not to replace, but to complement the main domestic and foreign textbooks, according to which second foreign languages are taught in non-linguistic universities. First of all, we are talking about communicative authentic courses worked out by teams of foreign authors and representing solid teaching materials, which are difficult to refuse in modern conditions [11]. They also contain glossaries, collections of tests for students and methodological recommendations for teachers,

Most researchers recognize that the teaching of a new FL takes place in special conditions of the interaction of three languages (FL1, FL2 and the students' native language), but FL1 is considered mainly as a material for interlinguistic comparisons. The methodological requirement here is the need to take into account the nature of trilingualism, associated with overcoming negative phenomena of both linguistic and psychological nature. We are talking about the difficulties caused by the interference of FL1 with FL2. Interference here refers to the «process of conflict interaction of speech mechanisms» arising from natural differences, which in speech are expressed by deviations from the models of one language under the influence of the other [12]. On the contrary, the transfer implies a positive impact of FL1 or the native language on FL2 [13].

Thus, linguistic experience implies a positive impact on mastering of FL2. Despite the presence of the interfering action of FL1, it makes the comprehension of general grammatical concepts and terms faster and more conscious. It should be taken into account that the better the student knows FL1, the more effective the transfer to the studied FL2 will work.

The introductory stage of the practical course ends with the passage of ten lessons of the manual. The next

stage involves the use of multi-level authentic educational and methodical complex. As we know, the core of the vast majority of foreign textbooks is a communicative approach to teaching aimed at stimulating the linguistic activity of students and increasing their readiness for communication. Teachers around the world use the materials of Taxi, Headway, Market Leader textbooks published by Oxford, Macmillan, Cambridge, Hueber, Didier, Hachette for multilingual audiences in which the use of the native language for some reason is impossible. In this connection, at the initial level teachers regularly turn to their native language as a help.

To track the effectiveness of training and the level of understanding of the material, one of the types of educational translation is used. It is back translation. Besides, it should be borne in mind that at the initial stage, students will involuntarily strive to translate everything they hear, see and read into their native language. This is due to the fact that any foreign word first correlates with the word of the native language, and only then is transferred and associated with what it means [14]. E. A. Osintseva-Rayevskaya believes that the situation when some things remain understood by students incorrectly or not completely causes a false sense of confidence (or uncertainty), which will make it difficult to study the material in the future [15]. The teacher uses back translation as a means to learn new vocabulary, work on grammatical and lexical errors, interpret language idioms, as well as to evaluate acquired skills and abilities. Back translation becomes a useful tool of material revision for students, allowing them to better understand grammatical models, vocabulary and speech cliches. In addition, students learn to find patterns in languages, analyze their features and differences, and also improve their translation abilities, the importance of which in the modern world is difficult to overestimate. Back translation is recommended both at the initial (within

the framework of the manual «English after German») and at the «advanced» stage of training (on the basis of an authentic educational course). A fragment of lesson 10 is a demonstration of the use of back translation as a means of feedback in the formation of a communicative skill.

Учимся задавать вопросы: «Где?», «Когда?», «В какое время?», «Что?», «Как?», «Почему?»

Where? (Где, куда?)	Where do you live?
When? At what time? (Когда, в какое время?)	What time do you leave work?
What? (Что? Какой?)	What do you do? What subjects do you study?
How (Как?)	How do you spell that?
Why (Зачем? Почему?)	Why do you do it?
How much (Сколько?)	How much is your dress? How much are your jeans?

Упр. 17. Переведите на английский и немецкий языки.

В какое время ты приходишь на работу? 2. В какое время ты уходишь с работы? 3. Сколько стоит эта книга? 4. Сколько стоят эти джинсы? 5. Чем ты занимаешься? (Кто ты по профессии?) 6. Где вы работаете? 7. Как это пишется? 8. Как пишется твое имя? 9. Кто он по профессии? 10. Зачем ты это делаешь?

Литература

1. Флеров О. В. Особенности преподавания второго иностранного языка в нелингвистическом вузе // Современное образование. – 2015. – № 1. – С. 1–25. URL: https://nbpublish.com/library_read_article.php?id=14101 (дата обращения: 05.11.2021).
2. Жарикова Е. А. Особенности обучения второму иностранному языку в вузе // Lingua mobilis. – 2011. – № 4 (30). – С. 98. ISSN 1998-1546.
3. Витлин Ж. Л. Обучение взрослых иностранному языку. – М. : Педагогика, 1978. – 168 с.
4. Бим И. Л. Концепция обучения второму иностранному языку (немецкому на базе английского). – Обнинск : Титул, 2001. – 48 с. ISBN 5-86866-165-6.
5. Барышников Н. В. Методика обучения второму иностранному языку в школе. – М. : Просвещение, 2003. – 159 с. ISBN 5-09-010651-7.
6. Друцко Н. А. Обоснование применения принципов обучения второму иностранному языку в рамках мультилингвального подхода // Общество: социология, психология, педагогика. – 2017. – № 12. – С. 157. ISSN 2221-2795.
7. Ястребова Л. Н. Учебное пособие по второму иностранному языку: выбор за преподавателем? URL: <https://moluch.ru/archive/22/2333/> (дата обращения: 05.11.2021).

11. Сколько ему лет? 12. Как зовут ее сестру? 13. Что вы делаете в свободное время? 14. Когда вы ложитесь спать? 15. Когда вы встаете?

As a result, we can draw the following conclusions.

The study of a second foreign language is a didactic triglossia caused by the linguistic contact of three languages: native, FL1 and FL2.

The concept of multilingualism implies reliance on the students' accumulated linguistic experience, therefore, teaching a new foreign language can and should become an exciting, «self-effective» educational process.

In the process of teaching a second foreign language, the basic methodological approach is determined by the communicative orientation.

The use of educational material from authentic textbooks of foreign publishers seems to be quite realistic and effective, provided that the audience is prepared for its perception.

The development of an introductory course as a means of transition to an authentic course is a prerequisite for successful mastery of a second foreign language.

The study of these two languages pinned together – English after German – seems to be the best option if you need to master several foreign languages. ■

8. Вашенко И. В., Друцко Н. А. Теория и практика английского языка как второго иностранного после немецкого. Екатеринбург : УрГУПС. – 2018. – 70 с.
9. Архангельская Н. Н. Интенсификация процесса обучения второму иностранному в вузе // Филологические науки. Вопросы теории и практики. – 2017. – № 12. – С. 185. ISSN 1997-2911.
10. Bandura A. Social cognitive theory // Handbook of social psychological theories / Ed. by P. A. M. van Lange, A. W. Kruglanski, E. T. Higgins. London : Sage, 2011. Pp. 349–373.
11. Рыбкина С. Н. О подходах к созданию учебных пособий для мультилингвального обучения в неязыковых вузах. URL: <https://web.snauka.ru/issues/2016/09/71836> (дата обращения: 22.10.2021).
12. Киреева З. Р., Галимова Х. Х. Особенности обучения французскому языку как второму иностранному на языковом факультете // Филологические науки. Вопросы теории и практики. – 2015. – № 5 (47). – С. 103. ISSN 1997-2911.
13. Киселева Т. Н. Преодоление лексико-грамматической интерференции при обучении немецкому языку как второй специальности при первом английском: автореф. дис. ... канд. пед. наук / Киселева Татьяна Николаевна. – М., 1989. – 16 с.
14. Любанец И. И., Шилов Е. В. Место перевода в обучении иностранному языку // Актуальные вопросы переводоведения и практики перевода : сб. науч. тр. – Вып. 5. – Нижний Новгород : Бюро переводов «Альба», 2015. – С. 148–153.
15. Осинцева-Раевская Е. А. Роль и место родного языка при изучении русского языка как иностранного // Вестник Балтийского федерального университета им. И. Канта. – 2014. – Вып. 5. – С. 96–102. ISSN 2500-039X.

References

1. Flerov O. V. Features of teaching a second foreign language in a non-linguistic university // Modern education. [Osobennosti prepodavaniya второго иностранного языка v nelingvisticheskom vuze // Sovremennoe obrazovanie.] – 2015. – № 1. – P. 1–25. URL: https://nbpublish.com/library_read_article.php?id=14101 (accessed on: 05.11.2021).
2. Zharikov E. A. Peculiarities of teaching a second foreign language in high school // Lingua mobilis. sobennosti obucheniya второму иностранному языку v vuze // Lingua mobilis] – 2011. – № 4 (30). – p. 98. ISSN 1998-1546.
3. Witlin J. L. Adult Learning a foreign language. – M. : Pedagogika, [Obuchenie vzroslykh иностранному языку. – M. : Pedagogika] 1978. – 168 p.
4. Bim I. L. The concept of teaching a second foreign language (German based on English). – Obninsk : Titul, [Kontseptsiya obucheniya второму иностранному языку (nemetskому na baze anglijskogo). – Obninsk : Titul] 2001. – 48 p. ISBN 5-86866-165-6.
5. Baryshnikov N. V. Methods of teaching a second foreign language at school. – Moscow : Prosveshchenie, [Metodika obucheniya второму иностранному языку v shkole. – M. : Prosveshchenie] 2003. – 159 p. ISBN 5-09-010651-7.
6. Drutsko N. A. Substantiation of application of the principles of teaching a second foreign language within the framework of a multilingual approach // Society: sociology, psychology, pedagogy. [Obosnovanie primeneniya printsiptov obucheniya второму иностранному языку v ramkakh mul'tilingval'nogo podkhoda // Obshchestvo: sotsiologiya, psikhologiya, pedagogika.] – 2017. – № 12. – p. 157. ISSN 2221-2795.
7. Yastrebova L. N. Textbook on the second foreign language: the choice is for the teacher? [Uchebnoe posobie po второму иностранному языку: vybor za prepodavatelem?] URL: <https://moluch.ru/archive/22/2333/> (accessed on: 05.11.2021).
8. Vashhenko I. V., Drutsko N. A. Theory and practice of English as a second foreign language after German. Yekaterinburg : USURT. [Teoriya i praktika anglijskogo yazyka kak второго иностранного после немецкого. Ekaterinburg : UrGUPS.] – 2018. – 70 p.
9. Arkhangelskaya N. N. Intensification of the process of teaching a second foreign language at a university // Philological sciences. Issues of theory and practice. [Intensifikatsiya protsesssa obucheniya второму иностранному v vuze // Filologicheskie nauki. Voprosy teorii i praktiki] – 2017. – № 12. – p. 185. ISSN 1997-2911.
10. Bandura A. Social cognitive theory // Handbook of social psychological theories / Ed. by P. A. M. van Lange, A. W. Kruglanski, E. T. Higgins. London : Sage, 2011. Pp. 349–373.
11. Rybkina S. N. Approaches to the creation of textbooks for multilingual education in non-linguistic universities. [O podkhodakh k sozdaniyu uchebnykh posobij dlya mul'tilingval'nogo

- obucheniya v neyazykovykh vuzakh.] URL: <https://web.snauka.ru/issues/2016/09/71836> (access on: 10/22/2021).
12. Kireyeva Z. R., Galimova H. H. Features of teaching French as a second foreign language at the language faculty // Philological Sciences. Issues of theory and practice. [Osobennosti obucheniya frantsuzskomu yazyku kak vtoromu inostrannomu na yazykovom fakul'tete // Filologicheskie nauki. Voprosy teorii i praktiki.] – 2015. – № 5 (47). – P. 103. ISSN 1997-2911.
 13. Kiseleva T. N. Overcoming lexical and grammatical interference in teaching German as a second specialty in the first English: abstract. dis. ... Candidate of Pedagogical Sciences / Kiseleva Tatiana Nikolayevna. [Preodolenie leksiko-grammaticheskoy interferentsii pri obuchenii nemetskomu yazyku kak vtoroj spetsial'nosti pri pervom anglijskom: avtoref. dis. ... kand. ped. nauk / Kiseleva Tat'yana Nikolaevna]. – M., 1989. – 16 p.
 14. Lyubanets I. I., Shilo E. V. The place of translation in foreign language teaching // Topical issues of translation studies and translation practice : Collection of scientific papers. [Mesto perevoda v obuchenii inostrannomu yazyku // Aktual'nye voprosy perevodovedeniya i praktiki perevoda : sb. nauch. tr.] – Issue 5. – Nizhny Novgorod : Translation Agency "Alba", 2015. – Pp. 148–153.
 15. Osintseva-Rayevskaya E. A. The role and place of the native language in the study of Russian as a foreign language // Bulletin of the Baltic Federal University named after I. Kant. [Rol' i mesto rodnogo yazyka pri izuchenii russkogo yazyka kak inostrannogo // Vestnik Baltijskogo federal'nogo universiteta im. I. Kanta.] – 2014. – Issue 5. – Pp. 96–102. ISSN 2500-039X.

Статья сдана в редакцию 1 декабря 2021 года

Публикуется в авторской редакции

Кабинет Министров Республики Татарстан
под эгидой правительства Российской Федерации 21–24 сентября
2022 года в столице Республики Татарстан г. Казани проводит
Международный форум **Kazan digital week-2022**

Тематические направления KDW-2022

«Интеллектуальные транспортные системы»
«Цифровые технологии в сфере государственного и муниципального управления»
«Цифровая индустрия 4.0»
«Кибербезопасность нового времени»
«Экосистема “финтех”»
«Инновации, интегрированные в бизнес»
«Цифровые технологии в здравоохранении и медицине»
«Цифровые технологии в образовании»
«Цифровые технологии в культуре»
«Цифровые технологии в сфере сельского хозяйства»

Информация об условиях участия в различных мероприятиях форума, о презентациях и публикации научных статей, алгоритм регистрации, а также полный архив материалов KDW-2021 представлены на сайте kazandigitalweek.ru/kazandigitalweek.com.

Приглашаем к публикации статей

Статьи принимаются в строгом соответствии с тематическими направлениями. Автор должен указать тематическое направление статьи. Все статьи проходят проверку программой «Антиплагиат» и двустороннее «слепое» рецензирование. После отбора экспертной группой статьи будут опубликованы в сборнике материалов форума. Возможна публикация в журналах, включенных в международную реферативную базу данных Scopus и рецензируемых ВАК, индексируемых в РИНЦ. Статьи принимаются до 1 июня 2022 года на электронный адрес: org@kazandigitalweek.ru.

Приглашаем принять участие в хакатон-соревновании

В период подготовки KDW-2022 с мая по сентябрь 2022 года пройдет Всероссийская серия онлайн хакатон-соревнований Digital superhero.

К участию в соревнованиях приглашаются программисты, аналитики, data scientists. Финал состоится в дни проведения KDW-2022.

Информация о хакатон-соревнованиях – на сайтах dshkazan.ru,
kazandigitalweek.ru/kazandigitalweek.com
и в социальных сетях форума.

Приглашаем принять участие в выставке

В период проведения Международного форума Kazan digital week-2022 на экспозиционной площадке МВЦ «Казань-экспо» будет проходить выставка высокотехнологических разработок, программного обеспечения, программно-аппаратных комплексов, действующих образцов техники и оборудования. На площадке выставки предоставляется возможность проведения презентаций и участия в переговорах в очном и онлайн форматах.

Запрос об условиях участия в выставке направлять на электронный адрес:
Artem.Safin@tatar.ru

Уважаемые коллеги!

Информирую вас о требованиях, предъявляемых к оформлению статей.

При наборе используйте Word-2003 или Word-2007; шрифт (по всему тексту, в том числе в рисунках и таблицах) – тип Times, размер шрифта – 14, межстрочное расстояние – 1,5, абзацный отступ – 1,25 (1,27) см, поля – 2 см; расстановка переносов по всему тексту – автоматическая.

Набор формул: простые формулы и сочетания символов ($x^2 < y^2$; $E = mc^2$; $a^2 + b^2 = c^2$; Q_{i-1} ; ψ_j) – только в текстовом режиме, сложные

$$(s^2 = \frac{1}{n-1} \left[\sum_{j=1}^e x_j^2 n_j - \frac{1}{n} \left(\sum_{j=1}^e x_j n_j \right)^2 \right]; \left(\frac{\sigma_a}{[n]} \right)$$

или S_i^m) – только в редакторе формул

Equation или в MathType.

Написание букв: русские (а, б, в, А, Б, В), греческие (Θ, Σ, Ω, Ψ, α, β, δ, ε, λ, π), а также цифры и аббревиатуры (1, 2, 3; I, II, III; max, lg, sin и т. п.) пишутся только прямо; латинские (a, b, n, A, B, N и т. д.) – только курсивом. Исключение – курсив во вспомогательном тексте (слова «Таблица» и «Рис.», примечания в рисунках и ссылки в тексте на эти примечания).

Оформление текста: левый верхний край – инициалы, фамилия; заголовков – все буквы ПРОПИСНЫЕ, жирные, расположение – по центру набора; таблиц и рисунков: в таблицах размер шрифта – на полтора-два размера меньше, чем в основном тексте (11,5–12), расположение текста в «шапке» таблицы – по центру, в столбцах – по ширине; межстрочное расстояние – 1; слово «Таблица» – курсивное начертание, в правый край таблицы; название таблицы – начертание нормальное (прямое), расположение – по центру таблицы. В рисунках (графиках, диаграммах): размер подрисуночной

подписи – 14, расположение – по центру набора, слово «Рис.» – курсив, название рисунка – нормальное начертание, описание рисунка (экспликация) – нормальное начертание, условные обозначения – курсивное начертание, их расшифровка – нормальное. Расположение таблиц и рисунков – строго после ссылки на них.

Кроме того, рисунки обязательно прилагаются к материалу (один рисунок – один файл; формат – *.jpg).

Ссылки на литературу в тексте пишутся в квадратных скобках ([1], [1, 2] или [3–5]); нумерация сквозная. Список литературы/источников оформляется по ГОСТ 7.0.5–2008.

В конце статьи обязательно ставится дата отсылки материала в редакцию.

Объем статьи – не более 14-ти страниц.

Название файла: Фамилия. Первое слово заголовка. Подчеркивание. Последнее слово заголовка (Сидоров. Синтез_электроприводом).

К материалу (статье) обязательно прилагаются (отдельным файлом): УДК, сведения об авторе, аннотация, ключевые слова (название файла: УДК 000. Сидоров. Синтез_электроприводом).

Материалы для очередного номера журнала «Вестник УрГУПС» принимаются до 30 числа первого месяца квартала (до 30-го января, 30-го апреля, до 30-го июля, до 30-го октября). Материалы, поступившие в редакцию после 30-го числа, будут опубликованы только в следующем номере.

Успешной работы!

*Л. Барышникова,
литературный и выпускающий
редактор журнала «Вестник УрГУПС»*

Уважаемые читатели и авторы журнала «Вестник УрГУПС»!

Если вам нравится наш журнал, вы можете оказать содействие в его развитии, перечислив денежные средства по реквизитам:

Ассоциация выпускников УЭМИИТ-УрГУПС

ИНН-КПП 6670317893/667001001

ОГРН 1156600001470

620075, Свердловская обл., г. Екатеринбург, ул. Шевченко, д. 20, помещение 1

Р/с 40703810863010000192

в ПАО КБ «УБРИР» филиал ССБ

к/с 301018109000000000795

БИК 046577795

Назначение платежа: «Пожертвование для поддержки научных журналов УрГУПС».

Ваша финансовая поддержка позволит нам увеличить число публикаций, повысить индексы цитирования журнала и наших авторов.

Уважаемые руководители инновационных компаний и предприятий!

Предлагаем вам услуги по продвижению вашей продукции через сеть Ассоциации выпускников УЭМИИТ-УрГУПС.

Ассоциация выпускников УЭМИИТ-УрГУПС – это кооперация большого числа неравнодушных людей различных сфер деятельности, окончивших наш университет.

Кроме того, предлагаем услуги по подбору молодых специалистов, по организации поиска решений прикладных и научных задач в рамках диссертационных работ, выполняемых в УрГУПС.

Всю необходимую информацию вы можете получить по тел. (343) 221-25-60

или на сайте <http://www.usurt.ru/vypusknikam/assotsiatsiya-vypusknikov-urgups>

Извещение	<p>Получатель: <u>Ассоциация выпускников УЭМИИТ-УрГУПС</u></p> <p>КПП: <u>667001001</u> ИНН: <u>6670317893</u></p> <p>ОКТМО: <u>65701000</u> Р/сч.: <u>40703810863010000192</u></p> <p>в: <u>ПАО КБ «УБРИР» филиал ССБ</u></p> <p>БИК: <u>046577795</u> К/сч.: <u>301018109000000000795</u></p> <p>Код бюджетной классификации (КБК): _____</p> <p>Платеж: <u>Пожертвование для поддержки научных журналов УрГУПС</u></p> <p>Плательщик: _____</p> <p>Адрес плательщика: _____</p> <p>ИНН плательщика: _____ № л/сч. плательщика: _____</p> <p>Сумма: _____ руб. ____ коп.</p> <p>Подпись: _____ Дата: «____» _____ 2022 г.</p>
Квитанция	<p>Получатель: <u>Ассоциация выпускников УЭМИИТ-УрГУПС</u></p> <p>КПП: <u>667001001</u> ИНН: <u>6670317893</u></p> <p>ОКТМО: <u>65701000</u> Р/сч.: <u>40703810863010000192</u></p> <p>в: <u>ПАО КБ «УБРИР» филиал ССБ</u></p> <p>БИК: <u>046577795</u> К/сч.: <u>301018109000000000795</u></p> <p>Код бюджетной классификации (КБК): _____</p> <p>Платеж: <u>Пожертвование для поддержки научных журналов УрГУПС</u></p> <p>Плательщик: _____</p> <p>Адрес плательщика: _____</p> <p>ИНН плательщика: _____ № л/сч. плательщика: _____</p> <p>Сумма: _____ руб. ____ коп.</p> <p>Подпись: _____ Дата: «____» _____ 2022 г.</p>

ф. СП-1

АБОНЕМЕНТ

на ~~газету~~
журнал

70070

(индекс издания)

Вестник УргУПС

(наименование издания)

Количество
комплектов:

на 2022 год по месяцам:

1	2	3	4	5	6	7	8	9	10	11	12

Куда

(почтовый индекс)

(адрес)

Кому

(фамилия, инициалы)

ДОСТАВОЧНАЯ КАРТОЧКА

на ~~газету~~
журнал

70070

(индекс издания)

Вестник УргУПС

(наименование издания)

Стои- мость	подписки	руб. коп.	Количество комплектов:	
	переадресовки	руб. коп.		

на 2022 год по месяцам:

1	2	3	4	5	6	7	8	9	10	11	12

Куда

(почтовый индекс)

(адрес)

Кому

(фамилия, инициалы)